

T.C.
SAKARYA ÜNİVERSİTESİ
FEN BİLİMLERİ ENSTİTÜSÜ

**HELYUM BENZERİ Es, Fm, Md, No VE Lr İÇİN
SEVİYE ENERJİLERİNİN VE GEÇİŞ
PARAMETRELERİNİN HESAPLANMASI**

YÜKSEK LİSANS TEZİ

Eda BALKAYA

Enstitü Anabilim Dalı : FİZİK
Tez Danışmanı : Dr. Ögr. Üyesi Güldem ÜRER

Temmuz 2018

T.C.
SAKARYA ÜNİVERSİTESİ
FEN BİLİMLERİ ENSTİTÜSÜ

**HELYUM BENZERİ Es, Fm, Md, No VE Lr İÇİN SEVİYE
ENERJİLERİNİN VE GEÇİŞ PARAMETRELERİNİN
HESAPLANMASI**

YÜKSEK LİSANS TEZİ

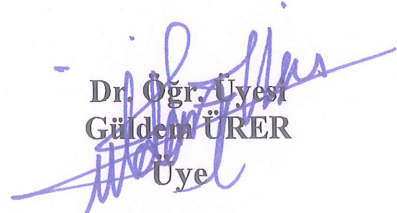
Eda BALKAYA

Enstitü Anabilim Dalı : FİZİK

Bu tez 20/07/2018 tarihinde aşağıdaki juri tarafından oybirliği/oyçokluğu ile kabul edilmiştir.


Prof. Dr.
Seda SAĞDINÇ
Jüri Başkanı


Prof. Dr.
Leyla ÖZDEMİR
Üye


Dr. Öğr. Uyesi
Güldem ÜRER
Üye

BEYAN

Tez içindeki tüm verilerin akademik kurallar çerçevesinde tarafimdan elde edildiğini, görsel ve yazılı tüm bilgi ve sonuçların akademik ve etik kurallara uygun şekilde sunulduğunu, kullanılan verilerde herhangi bir tahrifat yapılmadığını, başkalarının eserlerinden yararlanması durumunda bilimsel normlara uygun olarak atıfta bulunulduğunu, tezde yer alan verilerin bu üniversite veya başka bir üniversitede herhangi bir tez çalışmasında kullanılmadığını beyan ederim.

ÖNSÖZ

Bu çalışmada Breit-Pauli relativistik düzeltmelerini içeren çok konfigürasyonlu Hartree-Fock (MCHF) yöntemi kullanarak, helyum benzeri Es, Fm, Md, No ve Lr atomları için tek ve çift pariteli konfigürasyonlara ait enerji seviyeleri, elektrik dipol, elektrik quadrupol, manyetik dipol ve manyetik quadrupol geçişlerinin dalga boyları, ağırlıklı salınıcı şiddetleri hesaplanmıştır.

Yüksek lisans eğitimim boyunca bana her aşamada yardımcı olan değerli bilgilerini, tecrübesini ve zamanını esirgemeyen saygıdeğer hocam Dr. Öğr. Üyesi Güldem ÜRER'e, yoğun çalışmalarım esnasında kızımla ilgilenederek bana destek olan annem Fatma'ya ve babam Ali Osman'a bu aşamada sabır gösterdiği ve bana katlandığı için eşim Zafer'e, sürekli çalışmama izin verdiği için küçük kızım Zeynep Eylül'e ve çalışmam sırasında yardımını esirgemeyen herkese teşekkür ederim.

İÇİNDEKİLER

ÖNSÖZ	i
İÇİNDEKİLER	ii
SİMGELER VE KISALTMALAR LİSTESİ	iv
TABLOLAR LİSTESİ	v
ÖZET	iv
SUMMARY	vii

BÖLÜM 1.

GİRİŞ	1
-------------	---

BÖLÜM 2.

ÇOK KONFIGÜRASYONLU HARTREE-FOCK YÖNTEMİ.....	4
2.1. Çok elektronlu atomlar için relativistic olmayan hamiltonyen dalga fonksiyonunun özelliklerı.....	4
2.2. Çok elektronlu sistemler.....	6
2.3. Hartree-Fock yöntemi.....	8
2.4. Çok konfigürasyonlu Hartree-Fock (multiconfiguration Hartree- Fock-MCHF) yaklaşımı.....	10
2.4.1. Korelasyon enerjisi.....	10
2.4.2. Çok konfigürasyonlu Hartree-Fock yöntemi	11
2.5. Breit-Pauli hamiltonyen ve dalga fonksiyonu.....	14
2.6. Geçişler.....	17
2.6.1. Geçiş özelliklerı.....	17
2.7. Kesin ve yaklaşık seçim kuralları.....	18

BÖLÜM 3.

SONUÇLAR VE TARTIŞMALAR.....	20
3.1. Helyum benzeri Es, Fm, Md, No ve Lr'nin seviye enerjileri.....	21
3.2. Helyum benzeri Es, Fm, Md, No ve Lr'nin elektrik dipol geçişleri...	56
3.3. Tartışma.....	81
 KAYNAKLAR	82
ÖZGEÇMİŞ	84

KISALTMALAR LİSTESİ

MCHF : Çok konfigürasyonlu Hartree-Fock (Multiconfiguration Hartree-Fock)

NIST : National Institute of Standards and Technology

CSF : Konfigürasyon Hal fonksiyonu (Configuration State Function)

TABLOLAR LİSTESİ

Tablo 3.1. Helyum benzeri Es, Fm, Md, No ve Lr için çift parite seviyelerinin enerjileri.....	23
Tablo 3.2. Helyum benzeri Es, Fm, Md, No ve Lr için tek parite seviyelerinin enerjileri	37
Tablo 3.3. Helyum benzeri Es, Fm, Md, No, Lr'nin taban hale yapılan geçişlerinin dalga boyları (Å).....	57
Tablo 3.4. Helyum benzeri Es, Fm, Md, No, Lr'nin taban hale yapılan geçişlerinin salınıcı şiddeti (birimsiz).....	65
Tablo 3.5. Helyum benzeri Es, Fm, Md, No ve Lr'nin taban hale yapılan geçişlerinin geçiş olasılıkları.....	73

ÖZET

Anahtar kelimeler: Enerji seviyeleri, geçiş parametreleri, dalga boyları, ağırlıklı salınıcı şiddetleri, geçiş olasılıkları, MCHF yöntemi

Bu çalışmada, Es^{97+} , Fm^{98+} , Md^{99+} , No^{100+} ve Lr^{101+} iyonlarının enerjileri seviyeleri ve bu seviyeler arasındaki elektrik dipol (E1), elektrik kuadrupol (E2), manyetik dipol (M1), manyetik kuadrupol (M2) geçiş parametreleri (dalga boyları, ağırlıklı salınıcı şiddetleri ve geçiş olasılıkları) hesaplanmıştır. Hesaplamalar için Breit-Pauli düzeltmelerini de içeren çok konfigürasyonlu Hartree-Fock (Multiconfiguration Hartree-Fock, MCHF) yaklaşlığını kullanan Multiconfiguration Hartree-Fock Atomic Structure Package (Çok konfigürasyonlu Hartree-Fock atomik yapı paketi) kullanılmıştır.

Bu çalışma çerçevesinde incelenen helyum benzeri aktinit atomlarıyla ilgili ulaşılabilir kaynaklardaki çalışmalar ilk bölümde özetlenmiştir. Yapılan kaynak taramasında bu iyonlarla ilgili yalnızca iki teorik çalışmaya ulaşılabilmiştir, deneysel çalışma mevcut değildir. Diğer bölümlerde ise sırasıyla hesaplamada kullanılan MCHF yöntemi özetlenmiş ve elde edilen sonuçlar diğer çalışma sonuçlarıyla karşılaştırılarak yorumlanmıştır. Son bölümde verilen seviye enerjilerinin ve geçiş parametrelerinin hemen hemen hepsi ilk defa sunulmaktadır.

ATOMIC STRUCTURE AND TRANSITION PARAMETERS CALCULATIONS OF HELIUM LIKE Es, Fm, Md, No, AND Lr

SUMMARY

Keywords: Energy levels, transition parameters, wavelengths, weighted oscillator, strengths transition probabilities

In this work, energy levels and transition parameters (wavelengths, weighted oscillator and strengths transition probabilities) for electric dipole (E1), electric quadrupole (E2), magnetic dipole (M1) and magnetic quadrupole transitions (M2) for have been calculated for Es^{97+} , Fm^{98+} , Md^{99+} , No^{100+} and Lr^{101+} . The calculations have been performed by using multiconfiguration Hartee-Fock, MCHF, approximation within the Breit-Pauli framework.

It is summarized works which has been performed before about heliumlike actinides mentioned in this work in available literature, in first chapter. There is just two theoretical works and no experimental work about helium like Es, Fm, No and Lr. In the second chapter the MCHF method is briefly given. Almost all of it is new are given data for energy levels and transition parameters in the third chapter.

BÖLÜM 1. GİRİŞ

Aktinitler, elektron diziliminde 5f yörüngelerinin dolması ile oluşan atomlardır ve periyodik sistemde yedinci sırada yer alırlar. Elektron diziliminde 5f elektronu bulunmayan Aktinyum (Ac) bazı hallerde aktinit olarak ele alınırken bazı kaynaklarda alınmamıştır. Bu sebeple aktinitler bazı kaynaklara göre on dört ($Z=90-103$), bazı kaynaklara göre ise on beş ($Z=89-103$) elementten oluşmaktadır. Aktinitler radyoaktif elementlerdir. Aktinitler grubunun ilk dört üyesi (aktinyum, toryum uranyum, protaktinyum) tabiatta doğal halde bulunmaktadır. Diğerleri laboratuvar şartlarında üretilmektedir. Nükleer enerji santrallerinde, nükleer reaksiyonlara kolaylıkla girebilen bu elementler, hızlı bir şekilde enerji ortaya çıkarmaktadır. Ortaya çıkan enerji, kontrol altında tutularak elektrik enerjisine dönüştürülebilmektedir.

Uranyum ve toryum doğada bulunduğu için sanayide değerlendirilebilmektedir. Plütonyum ve sonrasında iyonlar nükleer tıp ve kanser tedavisinde kullanılmaktadır. Radyoaktif özellikleri nedeniyle, nükleer enerji santrallerinde elektrik enerjisi üretmede, denizaltı ve benzeri askeri araçların reaktörlerinde güç üretiminde ve termonükleer ısı üretimi ile nötron oluşturulması araştırmalarında da sıkça kullanılmaktadır.

Helyum atomu $+2e$ yüklü çekirdek etrafında dolanan iki elektrondan oluşan bir yapıdır. Helyum benzeri iyonlar ise $+Ze$ yüklü çekirdek etrafında dolanan iki elektronlu yapılardır ve hidrojen benzeri yapıdan sonra gelen en basit hallerdir. Bu çalışmada aktinitlerin son beş elemanı olan helyum benzeri aynşaynyum (Es^{97+} , $Z=99$), fermiyum (Fm^{98+} , $Z=100$), mendelevyum (Md^{99+} , $Z=101$), nobelyum (No^{100+} , $Z=102$) ve lavrensiyum (Lr^{101+} , $Z=103$) iyonlarını incelenmiştir. İnceleme Breit-Pauli relativistik düzeltmelerini içeren çok konfigurasyonlu Hartree-Fock (MCHF)

yaklaşıklığı ile gerçekleştirilmiştir. Hesaplamlarda tüm iyonlar için çift pariteli nsns' ($n=1-5$, $n'=1-9$, 5s9s hariç), 1snd ($n=3-7$), npnp' ($n=2-4$, $n'=1-9$), 5p6p, 6p², 2p4f, 1s5g, 2s5g seviyeleri ve tek pariteli nsnp' ($n=1-9$, $n'=2-9$, 9s9p hariç), 2pnd ($n=3-6$)ndnp' ($n=3-5$, $n'=4-9$ $n'>n$), nsn'f ($n=1,2$, $n'=4-9$), 2p5g, 4p4d, 4p5d seviyeleri ve bu seviyeler arasındaki elektrik dipol (E1), elektrik kuadrupol (E2), manyetik dipol (M1) ve manyetik kuadrupol (M2) geçişleri için dalga boyları, salınıcı şiddetleri ve geçiş olasılıkları hesaplanmıştır.

Büyük Z'li ağır atom ve iyonların fiziksel özellikleri hala tam olarak bilinmemektedir. Geçmişten günümüze güncellliğini koruyan ve hesaplama yöntemleri için de bir test niteliği taşıyan helyum benzeri iyonlar için yapılan çalışmalarda aktinit atomları çok az yer almıştır. Mevcut çalışmalarındaki incelemeler, $n=1$ ve 2 seviyeleri ile sınırlı kalmıştır. Seviye enerjileri için yapılan çalışmalarda günümüzden geçmişe tarih sırasına göre çok konfigürasyonlu Dirac-Fock, (MCDF) (Nahar, 1988; Zhang ve arkadaşları, 2006; Natarajan, 2014), konfigürasyon etkileşimi (CI) (Drake, 1988; Nahar, 1988), iki kez Green Fonksiyonu (TTGF) (Artemyev ve arkadaşları, 1994) yöntemleri, relativistik tüm mertebelerden çok parçacık yaklaşımı (MBPT) (Plate ve arkadaşları, 2005) varyasyonel yöntemin Dirac denklemine bir uygulaması (Krause, 1986) ve relativistik rasgele faz yaklaşımı (RRPA) (Johnson ve arkadaşı, 1976) yöntemi kullanılmıştır. Enerji seviyeleri içeren deneysel çalışmalarda ise sadece U⁹⁰⁺ iyonunun 1s2p ¹P₁ (Briand ve arkadaşları, 1990; Lupton ve arkadaşları, 1994) seviyesi ile 1s2p ³P₁ seviyesi (Briand ve arkadaşları, 1990) yer almaktadır.

Yapılmış teorik (Johnson ve arkadaşı, 1976; Natarajan, 2014) ve deneysel (Briand ve arkadaşları, 1990; Lupton ve arkadaşı, 1994) çalışmalarda, sadece 1snl ($n=1, 2$ ve $l=0, 1$) seviyelerinin bilgiler bulunmaktadır. Enerji seviyeleri verilerine göre daha az sayıda olan teorik geçiş verileri çalışmalarında (Ivanov ve arkadaşları, 1975; Krause, 1986; Andreev ve arkadaşları, 2008; Natarajan, 2014) yine aynı seviler hakkında kısıtlı bilgi mevcuttur. Ulaşılabılır kaynaklarda geçiş verilerine ait deneysel çalışma mevcut değildir.

Çok ağır atomlar (SHE: Super Heavy Elements) sınıfına giren aktinitler ile hem teorik hem de deneysel olarak çalışmak çok zordur. Nötral hallerine göre nispeten daha basit yapıda olan helyum benzeri halleri çalışmak daha kolay olmasına rağmen mevcut çalışmalarla konuya ilgili sadece iki çalışma mevcuttur. Bunların ilkinde $Z=2-90$ ve $Z=100$ aralığındaki iki elektronlu iyonların relativistik varyasyon yöntemi kullanılarak $1s$, $1s2s$ ve $1s2p$ hallerinin enerjileri Krause tarafından hesaplanmıştır (Krause, 1989). Bir diğer kaynakta ise Nd, Hg, Fm ve $Z=120$ iyonlarının korelasyon enerjileri hesaplanmıştır (Watanabe ve arkadaşı, 2005).

BÖLÜM 3. SONUÇLAR VE TARTIŞMA

Aktinitlerin son beş üyesinin (Es, Fm, No, Md ve Lr) helyum benzeri hallerini konu alan bu çalışmada adı geçen iyonların seviye yapıları ve bu seviyeler arasındaki izinli elektrik dipol (E1), yasaklı elektrik kuadrupol (E2), manyetik dipol (M1) ve manyetik kuadrupol (M2) geçişlerine ait atomik yapı parametreleri (enerji seviyeleri, dalga boyları, geçiş olasılıkları ve ağırlıklı osilator şiddeti) hesaplanmıştır. Çok konfigürasyonlu Hartree-Fock yaklaşımı kullanılarak yapılan hesaplamalarda Breit-Pauli katkıları da dikkate alınmıştır.

Hesaplamalarda, tüm iyonların (Es^{97+} , Fm^{98+} , Md^{99+} , No^{100+} ve Lr^{101+}) çift pariteli halleri için nsns' ($n=1-5$, $n'=1-9$, 5s9s hariç), 1snd ($n=3-7$), npnp' ($n=2-4$, $n'=1-9$), 5p6p, $6p^2$, 2p4f, 1s5g, 2s5g konfigürasyonları ve tek pariteli halleri için nsnp' ($n=1-9$, $n'=2-9$, 9s9p hariç), 2pnd ($n=3-6$)ndnp' ($n=3-5$, $n'=4-9$ $n'>n$), nsn'f ($n=1,2$, $n'=4-9$), 2p5g, 4p4d, 4p5d konfigürasyonları dikkate alınmıştır. Seçilen konfigürasyon takımında helyum benzeri bir yapının taban hali olan $1s^2$ özünden tekli ve çiftli uyarılmaları dikkate alınmıştır. Ulaşılabilir kaynaklarda çok az sayıda eser ve bu eserlerde çok az sayıda karşılaştırma değeri vardır. Bu yüzden mümkün olduğunca çok seviye hakkında bilgi edinebilmek adına kullanılan programın elverdiğince seviye (konfigürasyon) dikkate alınmaya çalışılmıştır.

Süper ağır atomlar (SHE: Super Heavy Atoms) sınıfına giren aktinitler büyük atom numaraları ve radyoaktiviteleri nedeniyle teorik olarak çalışılması zor yapılardır hatta deneysel olarak çalışmak neredeyse imkansızdır. Bu sebeple özellikleri bile hala tam olarak bilinmemektedir. Nötral atomlarına göre çalışılması nispeten daha kolay olan helyum benzeri iyon halleri için yapılan çalışmalar da oldukça az sayıdadır.

Ulaşılabilir kaynaklarda, bu çalışmanın konusu olan seviye yapıları ve geçiş parametreleri hakkında veri bulunan yalnızca iki teorik çalışma mevcuttur. Çalışmalardan birinde Fm^{98+} temel hal enerjisi (Hakozaki, 2005), diğerinde ise $1s2p\ ^3P_1, ^1P_1 - 1s^2\ ^1S_0$ elektrik dipol geçişine ait geçiş olasılığı verilmektedir (Krause, 1989).

3.1. Helyum Benzeri Es, Fm, Md, No ve Lr'nin Seviye Enerjileri

Es^{97+} , Fm^{98+} , Md^{99+} , No^{100+} ve Lr^{101+} iyonları için MCHF yöntemiyle yapılan hesaplamalarda ilk adım seviye yapılarının belirlenmesidir. Hesaplamalarda elde edilen çift pariteli seviyelerin enerjileri Tablo 3.1.'de, tek pariteli seviyelerin enerjileri ise Tablo 3.2.'de verilmektedir. Her iki tablodaki enerji değerleri helyum benzeri yapıların temel hali olan $1s^2\ ^1S_0$ seviyesine göre cm^{-1} biriminde sunulmaktadır. Tablolardaki ilk seviyenin ait olduğu konfigürasyonu ve terimini göstermektedir. Diğer sütunlarda ise atom numarası sırasıyla helyum benzeri aynşaynyum (Es^{97+} , $Z=99$), fermiyum (Fm^{98+} , $Z=100$), mendelevyum (Md^{99+} , $Z=101$), nobelyum (No^{100+} , $Z=102$) ve lavrensiyum (Lr^{101+} , $Z=103$) seviye enerjileri yer almaktadır. Tablolar yukarıdan aşağıya doğru artan enerji değerlerine göre dizilmiştir.

Seviye yapılarının düzgün belirlenebilmesi için öncelikle temel halin iyi belirlenmesi gereklidir. MCHF yöntemiyle yapılan hesaplamalarda Es^{97+} , Fm^{98+} , Md^{99+} , No^{100+} ve Lr^{101+} iyonları için temel haller ($1s^2\ ^1S_0$) sırasıyla $2194755111\ cm^{-1}$, $2495157186\ cm^{-1}$, $2552377928\ cm^{-1}$, $2610464182\ cm^{-1}$, $2610464182\ cm^{-1}$ ve $2669426141\ cm^{-1}$ olarak elde edilmiştir. Temel haller ile ilgili tek karşılaştırma değeri Fm^{98+} 'ye ait teorik bir çalışma sonucudur, ($2581841568\ cm^{-1}$ (Krause, 1989)). Temel haller ile ilgili deneysel bir çalışma ulaşılabilir kaynaklarda bulunmamaktadır. Fm^{98+} 'nin taban hali için bu çalışma sonucu elde edilen değer ile diğer çalışma sonucunu karşılaştırmak için yüzde hata hesabı ($(|E_{BuÇalışma} - E_{DiğerÇalışma}| / E_{DiğerÇalışma}) \times 100$) ifadesi ile hesaplandığında %3,35 fark olduğu bulunmaktadır. Tablo 3.1'de verilen enerji değerleri için ne teorik ne de deneysel bir karşılaştırma değeri bulunmamaktadır. Ancak benzer konfigürasyon takımı ve MCHF yöntemiyle daha küçük atom numaralı helyum benzeri aktinit atomları için yapılan çalışmadaki (Arslan, 2017) yorumların bu çalışma konusu olan

iyonlar için de geçerli olduğu düşünülmektedir. Yani düşük seviyeler için oldukça iyi sonuçlar elde edildiği, atom numarası arttıkça ve üst seviyelere gidildikçe hassasiyetin bir miktar azalacağı ancak yine de sonuçların seviye yapılarını tahmin etmek için oldukça iyi veriler olduğu düşünülmektedir.

Tablo 3.1. Helyum benzeri Aynştaynium, Fermiyum, Mendelevyum, Nobelyum, Lavrensiyum için çift pariteli seviyelerinin enerjileri (cm^{-1})

Seviye		$\text{Es}^{97+}(Z=99)$	$\text{Fm}^{98+}(Z=100)$	$\text{Md}^{99+}(Z=101)$	$\text{No}^{100+}(Z=102)$	$\text{Lr}^{101+}(Z=103)$
1s ²	¹ S ₀	0,00	0,00	0,00	0,00	0,00
1s2s	³ S ₁	905426450,42	926470795,44	947843448,23	969548575,45	991590414,67
	¹ S ₀	906145643,49	927191167,17	948564813,72	970270750,30	992313215,24
1s3s	³ S ₁	1081523399,89	1106749279,17	1132367669,10	1158383245,63	1184800751,21
	¹ S ₀	1081650055,55	1106875274,78	1132492981,18	1158507852,08	1184924631,22
1s3d	³ D ₂	1100357715,42	1126495157,43	1153061392,09	1180062218,63	1207503526,73
	³ D ₁	1100450750,74	1126591351,45	1153160820,12	1180164957,11	1207609653,26
	³ D ₃	1104018647,42	1130313475,52	1157042288,24	1184211007,78	1211825648,68
	¹ D ₂	1104087104,59	1130383981,20	1157114886,15	1184285742,17	1211902564,42
1s4s	³ S ₁	1140276299,92	1166827604,48	1193788672,52	1221164232,96	1248959079,49
	¹ S ₀	1140316568,64	1166867575,23	1193828347,06	1221203614,08	1248998170,97
1s4d	³ D ₂	1154310053,31	1181618731,71	1209371069,80	1237572978,57	1266230461,71
	³ D ₁	1154344328,08	1181654063,30	1209407477,23	1237610480,90	1266269078,05
	³ D ₃	1155744925,84	1183111963,34	1210924376,37	1239188105,58	1267909184,31
	¹ D ₂	1155773975,46	1183141834,26	1210955084,28	1239219666,31	1267941613,89
1s5s	³ S ₁	1166628783,64	1193758242,44	1221304407,40	1249272019,02	1277665882,03
	¹ S ₀	1166647723,83	1193777271,10	1221323552,10	1249291309,73	1277685351,43
1s5g	³ G ₄	1173134159,15	1200595400,97	1228487613,77	1256816030,76	1285585961,57
	³ G ₃	1173139276,65	1200600675,06	1228493047,59	1256821627,52	1285591724,52
	³ G ₅	1173356831,71	1200827226,99	1228728872,56	1257067007,31	1285846946,58
	¹ G ₄	1173360908,43	1200831428,55	1228733201,51	1257071466,19	1285851537,93
1s5d	³ D ₂	1179267554,50	1207115994,15	1235414769,90	1264169831,48	1292931917,38

Tablo 3.1. (Devamı)

Seviye		Es ⁹⁷⁺ (Z=99)	Fm ⁹⁸⁺ (Z=100)	Md ⁹⁹⁺ (Z=101)	No ¹⁰⁰⁺ (Z=102)	Lr ¹⁰¹⁺ (Z=103)
1s5d	³ D ₁	1179282947,84	1207131814,04	1235431021,28	1264186516,47	1292943021,45
	³ D ₃	1179939439,33	1207813471,50	1235945854,43	1264223976,66	1293387221,82
	¹ D ₂	1179953723,93	1207828130,79	1235956809,00	1264235006,84	1293404335,54
1s6s	³ S ₁	1180659853,16	1208092730,44	1236138494,93	1264920466,27	1294165435,13
	¹ S ₀	1180670673,71	1208103614,34	1236153534,89	1264935892,92	1294181254,50
1s7s	³ S ₁	1188981814,16	1216591243,85	1244622775,53	1273081149,80	1301971171,18
	¹ S ₀	1188990251,44	1216599989,44	1244631860,42	1273090607,08	1301981036,17
1s6d	³ D ₂	1192760334,15	1220898529,70	1249490528,26	1278542294,34	1307789660,66
	³ D ₁	1192768151,03	1220906538,78	1249498730,96	1278550691,98	1307796228,73
	³ D ₃	1193113486,58	1221264152,11	1249868891,40	1278782134,55	1308059885,65
	¹ D ₂	1193121293,24	1221272145,08	1249877072,99	1278788453,66	1308068479,09
1s8s	³ S ₁	1194337895,32	1222061027,63	1250207526,20	1278933669,88	1308464546,15
	¹ S ₀	1194343553,73	1222066891,84	1250213610,57	1278942042,39	1308473111,82
1s9s	¹ S ₀	1197989898,87	1225790340,04	1254014995,84	1282668609,90	1311755989,86
	³ S ₁	1197991123,61	1225791929,00	1254016981,72	1282671028,01	1311758878,28
1s7d	³ D ₂	1200858287,59	1229169496,56	1257936533,42	1287165369,16	1316862068,05
	³ D ₁	1200862485,47	1229173780,54	1257940903,56	1287169825,60	1316866610,81
	³ D ₃	1201055586,88	1229373002,54	1258146350,68	1287381601,81	1317084819,48
	¹ D ₂	1201060144,00	1229377652,38	1258151093,93	1287386439,15	1317089751,57
2p ²	³ P ₀	1805528013,50	1846706030,18	1888485947,34	1930873869,71	1973875983,85
2s ²	¹ S ₀	1821709389,79	1863951601,94	1906851827,90	1950418407,66	1994659823,45
2p ²	³ P ₁	1845649225,59	1888585641,67	1932183247,07	1976449548,27	2021392152,42

Tablo 3.1. (Devamı)

Seviye		Es ⁹⁷⁺ (Z=99)	Fm ⁹⁸⁺ (Z=100)	Md ⁹⁹⁺ (Z=101)	No ¹⁰⁰⁺ (Z=102)	Lr ¹⁰¹⁺ (Z=103)
2p ²	¹ D ₂	1845828836,73	1888764089,81	1932360422,37	1976625339,19	2021566445,66
	³ P ₂	1886192973,48	1930891773,58	1976310904,66	2022459277,31	2069345921,50
	¹ S ₀	1886993640,99	1931703943,61	1977134712,55	2023294859,94	2070193417,24
2p3p	³ D ₁	1988163078,37	2033957452,22	2080442022,19	2127624431,31	2175512430,41
	³ P ₀	1988438388,12	2034232956,07	2080717655,38	2127900134,05	2175788147,98
	³ P ₁	1997175709,66	2043304822,40	2090129488,36	2137658117,78	2185898909,07
2p3p	³ D ₂	1997216988,06	2043338140,39	2090156874,25	2137680856,05	2185917856,19
2s3s	³ S ₁	1998411253,04	2044836786,45	2091986547,65	2139868644,26	2188491637,01
	¹ S ₀	1998582546,85	2045015179,31	2092169974,91	2140055785,30	2188681599,43
2p3p	³ D ₂	2028902850,68	2076463993,87	2124774539,94	2173843536,89	2223680159,19
	³ P ₁	2028904283,29	2076466227,56	2124777598,65	2173847444,84	2223684940,87
	³ D ₃	2037664494,14	2085551661,89	2134195671,22	2183605592,98	2233790620,57
	¹ P ₁	2037673032,60	2085560380,80	2134204575,61	2183614687,58	2233799909,89
	³ P ₂	2037951018,78	2085840153,11	2134486093,30	2183897909,12	2234084792,92
	¹ S ₀	2038260350,51	2086153341,63	2134803152,02	2184218847,52	2234409614,20
2p4p	³ D ₁	2048211110,21	2095399282,24	2143297778,13	2191914366,61	2241256922,51
	³ P ₀	2048287029,80	2095475909,90	2143375204,36	2191992694,20	2241336269,26
	³ P ₁	2051271635,49	2098557917,98	2146556116,46	2195273982,41	2244719372,57
	³ D ₂	2051273179,46	2098559137,47	2146557013,17	2195274557,94	2244719628,55
2s4s	³ S ₁	2057302143,20	2105060755,33	2153558775,34	2202805107,58	2252808792,06
	¹ S ₀	2057353471,09	2105112047,36	2153610030,45	2202856325,89	2252859974,88
2p4f	³ G ₃	58897986,09	2106602511,04	2155037616,81	2204211668,93	2254133149,75

Tablo 3.1. (Devamı)

Seviye		$Es^{97+}(Z=99)$	$Fm^{98+}(Z=100)$	$Md^{99+}(Z=101)$	$No^{100+}(Z=102)$	$Lr^{101+}(Z=103)$
2p4f	3F_2	2058909829,09	2106614387,36	2155049524,01	2204223604,51	2254145111,25
	3D_3	2059625279,82	2107359497,46	2155825201,53	2205030775,84	2254984721,20
	3G_4	2059634126,64	2107368538,49	2155834439,76	2205040214,25	2254994362,85
2p5p	3D_1	2074955278,24	2122742508,59	2171247895,83	2220479246,18	2270444471,97
	3P_0	2075051885,60	2122844421,24	2171355447,16	2220592784,94	270564362,65
	3P_1	2076283420,75	2124108932,03	2172652949,30	2221923322,13	2271927945,70
	3D_2	2076283480,67	2124108994,66	2172653135,70	2221923633,52	2271928383,25
2s5s	3S_1	2083693549,05	2132030328,24	2181113434,18	2230951784,13	2281554430,09
	1S_0	2083715162,51	2132052117,52	2181135419,59	2230973987,01	2281576873,07
2p4p	3D_2	2088878060,26	2137180030,49	2185995172,56	2235539700,48	2285821533,03
	3P_1	2088879865,20	2137234750,72	2186053123,75	2235601146,02	2285886706,17
2p6p	3D_1	2089086489,89	2137832918,71	2186732402,25	2236478226,43	2286602488,33
	3P_0	2089138367,77	2137835279,75	2186734815,18	2236521556,86	2286603500,57
	3P_1	2089779001,60	2137892976,18	2187552162,54	2237832260,70	2289347333,76
	3D_2	2089779268,13	2137893436,99	2187556790,56	2237878494,62	2289351197,47
2s5g	3G_4	2090627916,31	2139280866,48	2188690754,98	2238866714,59	2289818006,50
	3G_3	2090634861,02	2139287737,72	2188697599,75	2238873568,22	2289824896,44
	3G_5	2090850564,23	2139512590,10	2188931851,59	2239117481,43	2290078742,93
	1G_4	2090857062,63	2139519054,93	2188938314,60	2239123967,18	2290085270,98
2p4p	3D_3	2091863564,68	2140916888,35	2190741364,19	2241346146,05	2292740511,53
	1P_1	2091866812,58	2140920255,84	2190744781,24	2241349606,47	2292744012,13
	3P_2	2091936068,58	2140989751,46	2190814428,91	2241419383,21	2292813902,61

Tablo 3.1. (Devamı)

Seviye		$Es^{97+}(Z=99)$	$Fm^{98+}(Z=100)$	$Md^{99+}(Z=101)$	$No^{100+}(Z=102)$	$Lr^{101+}(Z=103)$
2p4p	1S_0	2092042719,40	2141097464,70	2190923160,95	2241529106,18	2292924592,98
2p4f	3F_3	2093964444,35	2143107839,37	2193025657,94	2243727142,38	2294964869,56
	3F_2	2093990462,67	2143134246,25	2193052439,71	2243754289,49	2294999211,52
	3G_4	2093998624,07	2143141964,64	2193059766,29	2243761259,77	2295221662,05
	3D_1	2094033584,79	2143178050,98	2193096934,38	2243799481,36	2295249167,64
	3F_4	2094697679,57	2143870904,37	2193819460,26	2244495126,67	2295255806,69
	1F_3	2094702997,23	2143876384,79	2193825090,43	2244527481,58	2295295063,31
	3G_5	2094710598,11	2143883667,14	2193832090,65	2244552608,51	2295392486,35
2p7p	1D_2	2094757133,68	2143931197,42	2193880581,41	2244558378,75	2295956662,16
	3D_1	2097490185,47	2145765444,61	2194765251,91	2244565123,08	2296079737,22
2s6s	3P_0	2097519229,61	2145871980,78	2194796016,14	2244614548,44	2296085640,20
	3S_1	2097738722,69	2146161061,99	2195170513,90	2244911679,33	2296092147,76
2s6s	1S_0	2097757728,00	2146161511,96	2195171364,63	2244914401,70	2296142474,15
2p7p	3D_2	2097875514,61	2146322013,85	2195767021,32	2245914367,04	2296266362,13
	3P_1	2097875793,89	2146378463,22	2195789292,37	2245939342,93	2296856570,48
2p8p	3D_1	2102949531,00	2151343915,74	2200463544,63	2250316230,42	2300909891,42
	3P_0	2103006247,66	2151404557,78	2200528342,89	2250385425,23	2300983732,67
	3D_2	2103201226,18	2151603102,51	2200730404,70	2250590951,34	2301192666,88
	3P_1	2103201238,91	2151603135,89	2200730458,54	2250591025,39	2301192760,86
2s7s	3S_1	2106069553,03	2154886403,76	2204393696,63	2254333585,17	2305017073,14
	1S_0	2106083610,54	2154901083,30	2204454991,49	2254507553,36	2305198195,08
2p9p	3D_1	2106709096,29	2155188145,82	2204470301,46	2254555486,99	2305244638,78

Tablo 3.1. (Devamı)

Seviye		Es ⁹⁷⁺ (Z=99)	Fm ⁹⁸⁺ (Z=100)	Md ⁹⁹⁺ (Z=101)	No ¹⁰⁰⁺ (Z=102)	Lr ¹⁰¹⁺ (Z=103)
2p9p	³ P ₀	2106856803,67	2155343980,73	2204558056,60	2254555671,15	2305245416,62
	³ D ₂	2106911064,34	2155396586,47	2204608782,85	2254784195,74	2305881267,01
	³ P ₁	2106911111,02	2155396656,09	2204608887,12	2254799503,29	2305899972,49
2s8s	³ S ₁	2111430059,79	2160360690,55	2210044334,28	2260489912,10	2311706479,97
	¹ S ₀	2111439147,37	2160370180,89	2210054247,44	2260500268,53	2311717300,53
2s9s	³ S ₁	2115095309,83	2164107051,98	2213866615,80	2264392146,43	2315689624,73
	¹ S ₀	2115098329,58	2164128000,23	2213869765,95	2264395323,51	2315692768,67
2p5p	³ D ₂	2115571247,95	2165099200,46	2215451495,94	2266566514,42	2318477181,38
	³ P ₁	2115571592,33	2165122805,92	2215452295,31	2266567474,01	2318478247,35
	³ D ₃	2116868935,30	2166458979,71	2216826626,25	2267981058,23	2319931582,80
	¹ P ₁	2116870439,56	2166460539,23	2216828215,62	2267982674,67	2319933226,80
	³ P ₂	2116899096,59	2166489285,76	2216857082,77	2268011671,83	2319962360,96
	¹ S ₀	2116946020,50	2166536686,48	2216904870,54	2268059827,33	2320010877,86
	³ D ₂	2129723560,31	2179584064,28	2230225389,74	2281656737,90	2333887433,84
2p6p	³ P ₁	2129723852,43	2179584402,89	2230225775,40	2281657171,14	2333887915,17
	³ D ₃	2130375400,53	2180253629,24	2230912825,54	2282362183,97	2334611022,81
	¹ P ₁	2130376152,89	2180254396,00	2230913606,98	2282362980,35	2334611834,45
2p6p	³ P ₂	2130390634,14	2180268950,28	2230928240,32	2282377699,42	2334626646,60
	¹ S ₀	2130414610,88	2180293074,69	2230952510,20	2282402112,55	2334651200,74
	³ D ₂	2138115892,85	2188157086,09	2238981168,76	2290597344,32	2343014940,04
2p7p	³ P ₁	2138116042,05	2188157259,72	2238981366,97	2290597567,26	2343015187,91
	³ D ₃	2138476651,72	2188526847,08	2239359976,42	2290985239,47	2343411959,80

Tablo 3.1. (Devamı)

Seviye		$E_{\text{S}}^{97+}(Z=99)$	$F_{\text{m}}^{98+}(Z=100)$	$M_{\text{d}}^{99+}(Z=101)$	$N_{\text{o}}^{100+}(Z=102)$	$L_{\text{r}}^{101+}(Z=103)$
2p7p	1P_1	138477070,37	2188527273,46	2239360410,63	2290985681,63	2343412410,03
	3P_2	2138485226,37	2188535471,00	2239368654,37	2290993976,64	2343420761,84
	1S_0	2138498750,44	2188549052,20	2239382291,19	2291007667,54	2343434505,33
2p8p	3D_2	2143508738,46	2193665369,67	2244606200,86	2296340437,64	2348877409,41
	3P_1	2143508816,18	2193665460,89	2244606305,61	2296340555,98	2348877541,38
	3D_3	2143719131,87	2193880450,65	2244825970,13	2296564893,49	2349106547,81
	1P_1	2143719382,10	2193880705,15	2244826228,96	2296565156,71	2349106815,46
	3P_2	2143726496,03	2193888044,68	2244833812,24	2296573002,94	2349114945,01
	1S_0	2143734587,85	2193896151,56	2244841933,21	2296581137,06	2349123091,33
2p9p	3D_2	2147184134,43	2197419372,08	2248439708,97	2300254352,87	2352872635,56
	3P_1	2147184174,42	2197419419,51	2248439763,84	2300254415,18	2352872705,27
	3D_3	2147301596,44	2197538829,03	2248561134,96	2300377720,49	2352997915,78
	1P_1	2147301747,33	2197538982,01	2248561290,04	2300377877,68	2352998075,07
	3P_2	2147320392,33	2197558540,76	2248581807,09	2300399399,18	2353020648,82
	1S_0	2147325438,21	2197563582,08	2248586843,54	2300404430,42	2353025674,60
3p ²	3P_0	2172958713,75	2223401017,48	2274621862,59	2326630436,34	2379436059,23
3s ²	1S_0	2176596878,42	2227235903,56	2278661405,82	2330882742,23	2383909402,57
3p ²	3P_1	2181722761,75	2232488035,47	2284039285,10	2336385718,75	2389536674,25
3p ²	1D_2	2181851152,45	2232617828,18	2284170481,07	2336518319,25	2389670680,57
	3P_2	2190695585,48	2241787795,50	2293673388,87	2346361596,70	2399861776,16
	1S_0	2190993338,06	2242088813,90	2293977697,74	2346669220,71	2400172739,86
3p4p	3D_1	2233189721,39	2285027697,66	2337664394,41	2391109121,13	2445371318,98

Tablo 3.1. (Devamı)

Seviye		$Es^{97+}(Z=99)$	$Fm^{98+}(Z=100)$	$Md^{99+}(Z=101)$	$No^{100+}(Z=102)$	$Lr^{101+}(Z=103)$
3p4p	3P_0	2233311702,24	2285151164,81	2337789360,76	2391235603,80	2445499339,40
3s4s	3S_1	2235584554,74	2287549980,03	2340318642,52	2393899829,99	2448302912,59
	1S_0	2235745708,19	2287713600,45	2340485180,96	2394069860,96	2448477182,70
3p4p	3D_2	2236245672,33	2288180876,00	2340916387,97	2394461500,00	2448825634,73
	3P_1	2236264210,77	2288201675,40	2340939889,18	2394488267,97	2448856407,21
	3P_1	2242166033,17	2294330688,49	2347301474,24	2401087723,70	2455698898,10
	3D_2	242176714,18	2294341395,27	2347312203,45	2401098471,87	2455709661,77
	3D_3	2245100868,82	2297362146,72	2350431143,10	2404317172,43	2459029676,21
	1P_1	2245105545,59	2297366812,89	2350435800,86	2404321823,92	2459034323,50
	3P_2	2245205927,93	2297467759,80	2350537295,32	2404423848,91	2459136862,13
	1S_0	2245373345,57	2297636794,34	2350707951,40	2404596131,00	2459310774,47
3p5p	3D_1	2260019547,52	2312455322,20	2365697457,12	2419755285,84	2474638272,96
	3P_0	2260175459,42	2312617316,70	2365865843,41	2419930378,85	2474820392,94
	3D_2	2261364337,94	2313840550,84	2367123700,74	2421223113,26	2476148244,85
	3P_1	2261560886,14	2314090761,93	2367446798,08	2421643470,35	2476629239,74
3s5s	3S_1	2261893721,36	2314385755,43	2367669036,20	2421747900,15	2476693048,61
	1S_0	2262115061,20	2314662163,80	2368019850,18	2422197543,24	2477204796,78
3p5p	3P_1	2268940616,30	2321701688,31	2375276468,36	2429674311,85	2484904701,52
	3D_2	2268943676,29	2321704723,89	2375279477,03	2429677291,05	2484907648,57
	3D_3	2270216128,49	2323015161,80	2376628358,77	2431065063,19	2486334746,06
	1P_1	2270217852,75	2323016879,63	2376630071,03	2431066770,71	2486336449,60
3p5p	3P_2	2270245319,94	2323044755,08	2376658378,56	2431095535,89	2486365699,91

Tablo 3.1. (Devamı)

Seviye		$Es^{97+}(Z=99)$	$Fm^{98+}(Z=100)$	$Md^{99+}(Z=101)$	$No^{100+}(Z=102)$	$Lr^{101+}(Z=103)$
3p5p	1S_0	2270315594,89	2323115629,07	2376729850,05	2431167603,27	2486438361,46
3p6p	3D_1	2274205631,72	2326950269,31	2380504917,54	2434878913,93	2490081726,81
	3P_0	2274270030,41	2327017866,50	2380575855,70	2434953339,22	2490159788,93
	3P_1	2274883524,62	2327646947,60	2381220648,21	2435613952,19	2490836317,52
	3D_2	2274883871,32	2327647591,67	2381221547,79	2435615072,76	2490837630,53
3s6s	3S_1	2276161913,25	2329011400,41	2382674912,10	2437161882,19	2492481873,65
	1S_0	2276192372,78	2329042244,62	2382706204,49	2437193678,15	2492514221,76
3p7p	3D_1	2282623303,93	2335549508,62	2389287884,46	2443847631,09	2499238380,29
	3P_0	2282657587,20	2335584940,49	2389324734,00	2443886164,14	2499278653,58
	3D_2	2283009396,16	2335940186,22	2389692170,16	2444276880,97	2499720213,62
	3P_1	2283018918,57	2335942533,90	2389698236,52	2444286404,45	2499736202,69
3p6p	3D_2	2283114920,71	2336181006,28	2390060245,27	2444755600,43	2500256276,42
	3P_1	2283115143,02	2336182197,74	2390063142,96	2444761921,80	2500269120,12
	1P_1	2283736306,58	2336841589,57	2390749080,34	2445481117,32	2501049277,91
	3D_3	2283757130,59	2336844568,44	2390749528,85	2445481366,55	2501049563,38
	3P_2	2283763018,27	2336857638,75	2390763543,63	2445495925,93	2501064600,89
	1S_0	2283803180,92	2336891479,03	2390797042,98	2445529370,15	2501097984,99
3s7s	3S_1	2284512874,78	2337539716,04	2391382593,47	2446050937,43	2501554310,12
	1S_0	2284531841,26	2337559440,24	2391403123,19	2446072325,62	2501576616,44
3p8p	3D_1	2288061190,88	2341104602,66	2394961507,53	2449641249,88	2505153304,78
	3P_0	2288104490,23	2341150365,62	2395009844,53	2449692274,00	2505207131,73
	3P_1	2288293539,91	2341343099,12	2395206226,22	2449892265,28	2505410691,04

Tablo 3.1. (Devamı)

Seviye		$Es^{97+}(Z=99)$	$Fm^{98+}(Z=100)$	$Md^{99+}(Z=101)$	$No^{100+}(Z=102)$	$Lr^{101+}(Z=103)$
3p8p	3D_2	2288294400,45	2341343952,86	2395207073,68	2449893106,90	2505411527,26
3s8s	3S_1	2289877789,91	2343018325,07	2396976138,53	2451760658,21	2507381442,51
3s8s	1S_0	2289888897,72	2343029862,21	2396988122,50	2451773106,86	2507394373,84
3p7p	3P_1	2291520373,67	2344771002,35	2398841029,15	2453613805,23	2509210376,73
	3D_2	2291520887,74	2344771478,79	2398841450,27	2453719252,35	2509322904,92
3p9p	3D_1	2291786648,18	2344911403,01	2398850668,62	2453739777,38	2509397805,95
3p7p	3D_3	2291874185,87	2345007652,96	2398951310,59	2453740114,48	2509398702,52
	1P_1	2291874676,22	2345084432,19	2399028353,12	2453796285,20	2509476653,75
3p9p	3P_0	2291878712,39	2345085027,60	2399029001,78	2453797020,63	2509476856,43
3p7p	3P_2	2291881312,93	2345133748,57	2399212803,75	2454120711,78	2509866960,12
	1S_0	2291900972,90	2345134219,67	2399213247,27	2454121103,13	2509867174,00
3p9p	3P_1	2291955129,06	2345141071,90	2399220332,89	2454128448,62	2509874872,96
	3D_2	2291955689,95	2345160755,76	2399239957,51	2454147719,52	2509891559,91
3s9s	3S_1	2293549848,57	2346768583,72	2400805473,14	2455669944,96	2511371557,57
	1S_0	2293561939,20	2346781163,17	2400818559,38	2455683556,25	2511385712,50
4p ²	3P_0	2293927947,76	2347169916,54	2401230750,62	2456119885,41	2511846886,21
4s ²	1S_0	2295162319,30	2348462553,97	2402583719,64	2457535279,86	2513326827,62
4p ²	3P_1	2296854053,69	2350191128,23	2404348617,10	2459335956,97	2515162704,74
3p8p	3P_1	2296922754,50	2350264520,18	2404423132,94	2459411503,86	2515239231,24
	3D_2	2296924652,57	2350288840,27	2404475746,81	2459492820,08	2515349541,88
4p ²	1D_2	2296926138,72	2350290293,92	2404476940,38	2459493847,99	2515350457,33
3p8p	3D_3	2297126755,42	2350497607,92	2404689223,53	2459710966,11	2515572326,72

Tablo 3.1. (Devamı)

Seviye		Es ⁹⁷⁺ (Z=99)	Fm ⁹⁸⁺ (Z=100)	Md ⁹⁹⁺ (Z=101)	No ¹⁰⁰⁺ (Z=102)	Lr ¹⁰¹⁺ (Z=103)
3p8p	¹ P ₁	2297127033,14	2350497884,07	2404689498,23	2459711239,53	2515572599,00
	³ P ₂	2297133702,44	2350504930,05	2404696947,25	2459719119,21	2515580938,30
	¹ S ₀	2297145314,05	2350516586,52	2404708647,53	2459730862,33	2515592723,30
4p ²	³ P ₂	2299884915,19	2353319125,91	2407575392,25	2462663111,96	2518591810,87
	¹ S ₀	2300048611,91	2353484538,12	2407742530,79	2462831987,61	2518762434,34
3p9p	³ P ₁	2300603799,30	2354048863,74	2408315597,72	2463413369,86	2519351675,99
	³ D ₂	2300604083,12	2354049145,22	2408315876,87	2463413646,69	2519351950,49
	³ D ₃	2300716134,44	2354163078,38	2408431664,40	2463531259,61	2519471358,30
	¹ P ₁	2300716273,48	2354163216,82	2408431802,34	2463531397,06	2519471495,36
	³ P ₂	2300738312,34	2354186392,42	2408456165,09	2463556999,00	2519498389,93
	¹ S ₀	2300745851,33	2354193939,81	2408463721,07	2463564563,71	2519505963,56
	³ D ₁	2320805290,63	2374644226,53	2429309635,42	2484810973,05	2541157824,63
4p5p	³ P ₀	2321164156,85	2375011999,42	2429686610,03	2485197448,32	2541554102,50
	¹ S ₀	2321606317,93	2375488036,27	2430197604,03	2485744492,65	2542138302,83
4s5s	³ S ₁	2321628339,70	2375508383,03	2430216258,29	2485761440,95	2542153535,36
	³ D ₂	2322257803,24	2376143515,41	2430856574,43	2486406434,63	2542802679,12
4p5p	³ S ₁	2322258840,15	2376144627,90	2430857783,01	2486407760,50	2542804144,18
	³ P ₁	2323748592,66	2377678227,44	2432435561,20	2488030019,55	2544471156,53
	¹ D ₂	2323752084,27	2377681832,21	2432439292,19	2488033890,39	2544475181,44
	³ D ₃	2325069560,52	2379042600,60	2433844147,29	2489483627,21	2545970595,14
	¹ P ₁	2325074937,48	2379047950,57	2433849472,35	2489488929,40	2545975876,41
	³ P ₂	2325126293,22	2379099893,59	2433902005,91	2489542056,46	2546029599,57

Tablo 3.1. (Devamı)

Seviye		Es ⁹⁷⁺ (Z=99)	Fm ⁹⁸⁺ (Z=100)	Md ⁹⁹⁺ (Z=101)	No ¹⁰⁰⁺ (Z=102)	Lr ¹⁰¹⁺ (Z=103)
4p5p	¹ S ₀	2325241869,86	2379216472,34	2434019590,49	2489660650,41	2546149206,31
4p6p	³ D ₁	2335076018,94	2389225192,85	2444204525,66	2500023475,77	2556691630,52
	³ P ₀	2335165697,83	2389318778,86	2444302118,36	2500125178,93	2556797551,74
4s6s	³ S ₁	2335733568,90	2389916869,57	2444919494,42	2500758486,44	2557446897,90
4p6p	³ D ₂	2335751565,23	2389920338,74	2444928352,39	2500767425,46	2557455922,09
	³ P ₁	2335760273,32	2389929119,76	2444931452,87	2500786797,97	2557492512,79
4s6s	¹ S ₀	2335785742,91	2389969659,27	2444984881,53	2500840883,61	2557547268,33
4p6p	³ P ₁	2338032584,47	2392277043,97	2447353199,65	2503270493,90	2560038497,19
4p6p	³ D ₂	2338034271,15	2392278736,39	2447354896,85	2503272194,90	2560040201,02
	³ D ₃	2338661755,12	2392923462,99	2448017012,04	2503951838,21	2560737505,58
	¹ P ₁	2338664427,60	2392926119,41	2448019653,44	2503954465,63	2560740120,01
	³ P ₂	2338681293,13	2392943752,82	2448038099,11	2503973769,87	2560760331,15
	¹ S ₀	2338737549,38	2393000478,92	2448095295,94	2504031438,28	2560818471,92
4p7p	³ D ₁	2343514164,98	2397845516,95	2453009153,38	2509014536,97	2565871259,30
	³ P ₀	2343558819,94	2397891113,08	2453055704,25	2509062058,64	2565919770,11
	³ D ₂	2343880754,91	2398221766,87	2453395130,55	2509410305,84	2566276881,59
	³ P ₁	2343896617,84	2398238137,16	2453412039,73	2509427787,88	2566294973,02
4s7s	³ S ₁	2344100966,01	2398461495,73	2453655235,20	2509691660,83	2566580377,39
	¹ S ₀	2344131833,21	2398493932,00	2453689319,64	2509727472,96	2566617997,73
4p7p	³ P ₁	2346449489,83	2400874640,78	2456133542,77	2512235639,51	2569190502,75
	³ D ₂	2346450435,13	2400875586,30	2456134488,16	2512236584,44	2569191446,82
	³ D ₃	2346800633,45	2401234875,52	2456502943,86	2512614280,88	2569578457,09

Tablo 3.1. (Devamı)

Seviye		Es ⁹⁷⁺ (Z=99)	Fm ⁹⁸⁺ (Z=100)	Md ⁹⁹⁺ (Z=101)	No ¹⁰⁰⁺ (Z=102)	Lr ¹⁰¹⁺ (Z=103)
4p7p	¹ P ₁	2346801832,03	2401236064,44	2456504123,63	2512615451,97	2569579619,98
	³ P ₂	2346803692,43	2401237869,11	2456505855,82	2512617093,30	2569581150,78
	¹ S ₀	346833732,30	2401268128,79	2456536334,86	2512647791,22	2569612066,95
5s ²	¹ S ₀	2348286496,35	2402747757,96	2458045646,35	2514191078,38	2571196787,10
4p8p	³ D ₁	2348945203,04	2403393118,66	2458674649,30	2514799259,76	2571776543,75
	³ P ₀	2349037299,25	2403488522,43	2458773401,41	2514901400,29	2571882112,17
	³ D ₂	2349176853,07	2403630898,47	2458918609,83	2515049450,46	2572033012,56
4s8s	³ P ₁	2349207053,20	2403663507,91	2458953944,12	2515087879,90	2572074974,09
	³ S ₁	2349463816,87	2403936204,39	2459242768,06	2515392930,73	2572396231,43
	¹ S ₀	2349505640,97	2403981190,05	2459291261,70	2515445335,34	2572453019,19
4p8p	³ P ₁	2351862548,14	2406403705,78	2461779960,73	2518000761,19	2575075683,39
4p8p	³ D ₂	2351863265,69	2406404420,64	2461780672,42	2518001469,21	2575076387,27
	³ D ₃	2352062421,85	2406608043,33	2461988761,90	2518214023,51	2575293402,28
	¹ P ₁	2352062965,32	2406608580,87	2461989293,81	2518214550,14	2575293923,93
4p9p	³ P ₂	2352070673,78	2406616822,90	2461998100,80	2518223954,66	2575303959,84
	¹ S ₀	2352088725,16	2406634988,54	2462016380,45	2518242348,05	2575322466,72
	³ D ₁	2352654660,87	2407182627,32	2462545143,99	2518751678,17	2575811825,89
4s9s	³ P ₀	2352717495,47	2407247960,66	2462613033,34	2518822180,70	2575884998,66
	³ P ₁	2352805019,73	2407336688,76	2462702936,84	2518913230,65	2575977165,74
	³ D ₂	2352806537,55	2407338189,03	2462704421,89	2518914702,73	2575978626,96
4s9s	³ S ₁	2353179199,52	2407731917,22	2463119966,95	2519352824,98	2576440096,10
	¹ S ₀	2353188540,72	2407741490,19	2463129772,32	2519362863,22	2576450367,51

Tablo 3.1. (Devamı)

Seviye		$Es^{97+}(Z=99)$	$Fm^{98+}(Z=100)$	$Md^{99+}(Z=101)$	$No^{100+}(Z=102)$	$Lr^{101+}(Z=103)$
4p9p	3P_1	2355546747,56	2410166558,50	2465622362,34	2521923609,12	2579079876,96
	3D_2	2355547279,61	2410167094,75	2465622902,82	2521924153,88	2579080426,03
	3D_3	2355657278,86	2410279029,19	2465736751,79	2522039895,53	2579198037,39
	1P_1	2355657638,95	2410279385,27	2465737104,00	2522040244,04	2579198382,34
	3P_2	2355676511,80	2410299250,46	2465757999,93	2522062209,88	2579221458,05
	1S_0	2355687555,70	2410310340,68	2465769136,34	2522073392,36	2579232686,48
5p6p	3S_1	2362628324,38	2417409950,55	2473004646,31	2529440404,29	2586725956,12
5s6s	1S_0	2362670493,93	2417417294,01	2473007992,05	2529441599,22	2586737397,90
5s7s	3S_1	2370911081,70	2425841489,98	2481614009,08	2538237614,94	2595721547,07
	1S_0	2370952765,67	2425886305,41	2481661311,32	2538286973,77	2595772677,85
5s8s	3S_1	2376238974,35	2431288968,91	2487180815,60	2543923886,47	2601527738,81
6p ²	1S_0	2376524978,52	2431413312,23	2487247055,94	2543981698,53	2601583828,11

Tablo 3.2. Helyum benzeri Aynşaynium, Fermiyum, Mendelevyum, Nobelyum, Lavrensiyum için tek pariteli seviyelerinin enerjileri (cm^{-1})

Seviye		$\text{Es}^{97+}(\text{Z}=99)$	$\text{Fm}^{98+}(\text{Z}=100)$	$\text{Md}^{99+}(\text{Z}=101)$	$\text{No}^{100+}(\text{Z}=102)$	$\text{Lr}^{101+}(\text{Z}=103)$
1s2p	$^3\text{P}^o_1$	898312098,31	918840198,81	939669065,27	2610466315,92	982241415,49
	$^3\text{P}^o_0$	899200932,22	919764969,92	940630692,02	2610466315,92	983279553,66
	$^3\text{P}^o_2$	937926830,99	960195081,02	982822665,37	2610466315,92	1029173697,90
	$^1\text{P}^o_1$	938980703,64	961272326,41	983923708,22	2610466315,92	1030323632,58
1s3p	$^3\text{P}^o_1$	1081952667,20	1107199703,65	1132840867,58	2610466315,92	1185324740,14
	$^3\text{P}^o_0$	1082105784,85	1107357469,92	1133003324,31	2610466315,92	1185496697,75
	$^3\text{P}^o_2$	1090891189,99	1116473611,54	1142458331,08	2610466315,92	1195654109,41
	$^1\text{P}^o_1$	1091171715,52	1116759915,91	1142750500,02	2610466315,92	1195958267,02
1s4p	$^3\text{P}^o_1$	1139803637,86	1166330148,53	1193265836,36	2610466315,92	1248383786,84
	$^3\text{P}^o_0$	1139849750,24	1166377328,74	1193314076,35	2610466315,92	1248434119,10
	$^3\text{P}^o_2$	1142769750,35	1169389605,18	1196419864,66	2610466315,92	1251730470,31
	$^1\text{P}^o_1$	1142870540,49	1169492062,08	1196523995,26	2610466315,92	1251837966,21
1s4f	$^3\text{F}^o_3$	1148565378,74	1175503700,71	1202866859,87	2610466315,92	1258888582,28
	$^3\text{F}^o_2$	1148583503,60	1175522409,53	1202886165,81	2610466315,92	1258909122,61
	$^3\text{F}^o_4$	1149313661,52	1176283772,17	1203679748,22	2610466315,92	1259770283,45
	$^1\text{F}^o_3$	1149326803,53	1176297330,72	1203693732,39	2610466315,92	1259785146,59
1s5p	$^3\text{P}^o_1$	1166414785,38	1193532905,57	1221067414,70	2610466315,92	1277404618,92
	$^3\text{P}^o_0$	1166433837,45	1193552353,62	1221087254,91	2610466315,92	1277425231,44
	$^3\text{P}^o_2$	1167714560,59	1194870402,31	1222443036,66	2610466315,92	1278857645,02
	$^1\text{P}^o_1$	1167760762,23	1194917265,90	1222490562,61	2610466315,92	1278906495,87
1s5f	$^3\text{F}^o_3$	1172752841,23	1200198092,31	1228073807,24	2610466315,92	1285137589,81
	$^3\text{F}^o_2$	1172761806,74	1200207335,48	1228083333,70	2610466315,92	1285147700,02

Tablo 3.2. (Devamı)

Seviye		$Es^{97+}(Z=99)$	$Fm^{98+}(Z=100)$	$Md^{99+}(Z=101)$	$No^{100+}(Z=102)$	$Lr^{101+}(Z=103)$
1s5f	$^3F^o_4$	1173128735,95	1200589621,25	1228481455,10	2610466315,92	1285578969,47
	$^1F^o_3$	1173135447,47	1200596541,84	1228488589,13	2610466315,92	1285586543,75
1s6p	$^3P^o_1$	1180544210,81	1207970711,03	1235817236,07	2610466315,92	1292789392,42
	$^3F^o_0$	1180553427,01	1207980097,29	1235826790,08	2610466315,92	1292799274,70
	$^3F^o_2$	1181200493,56	1208644493,66	1236508649,83	2610466315,92	1293516433,97
	$^1P^o_1$	1181224694,11	1208668987,86	1236533436,52	2610466315,92	1293541801,70
1s6f	$^3F^o_3$	1185925923,05	1213647934,52	1241803506,04	2610466315,92	1299436329,64
	$^3F^o_2$	1185930880,68	1213653038,02	1241808757,97	2610466315,92	1299441886,19
	$^3F^o_4$	1186136666,48	1213867177,65	1242031496,69	2610466315,92	1299682576,13
	$^1F^o_3$	1186140484,64	1213871111,06	1242035547,61	2610466315,92	1299686868,89
1s7p	$^3P^o_1$	1188928328,21	1216535382,10	1244564517,04	2610466315,92	1301908067,49
	$^3P^o_0$	1188933264,80	1216540399,32	1244569613,42	2610466315,92	1301913317,86
	$^3P^o_2$	1189292418,63	1216908378,37	1244946458,56	2610466315,92	1302308003,06
	$^1P^o_1$	1189306288,35	1217712496,43	1244960603,72	2610466315,92	1302322418,44
1s7f	$^3F^o_3$	1193868071,83	1221756855,16	1250081056,96	2610466315,92	1307755776,49
	$^3F^o_2$	1193871042,60	1221759908,15	1250084193,37	2610466315,92	1307758725,70
	$^3F^o_4$	1193996028,41	1221889780,08	1250176064,17	2610466315,92	1307988082,30
	$^1F^o_3$	1193998379,19	1221892198,92	1250178939,34	2610466315,92	1307996740,06
1s8p	$^3P^o_1$	1194308837,70	1222030770,30	1250219084,59	2610466315,92	1308056737,94
	$^3P^o_0$	1194311635,13	1222033607,06	1250221572,64	2610466315,92	1308060044,97
	$^3P^o_2$	1194522310,30	1222248946,69	1250398948,70	2610466315,92	1308205381,29
	$^1P^o_1$	1194530721,86	1222257421,34	1250407485,42	2610466315,92	1308208011,50

Tablo 3.2. (Devamı)

Seviye		$Es^{97+}(Z=99)$	$Fm^{98+}(Z=100)$	$Md^{99+}(Z=101)$	$No^{100+}(Z=102)$	$Lr^{101+}(Z=103)$
1s9p	$^3P^o_1$	1198052509,16	1225857294,95	1254086547,50	2610466315,92	1311837532,61
	$^3P^o_0$	1198054115,00	1225858919,75	1254088190,73	2610466315,92	1311839211,33
	$^3P^o_2$	1198180289,31	1225987550,42	1254219276,67	2610466315,92	1311975201,97
	$^1P^o_1$	1198185546,13	1225992830,71	1254224579,94	2610466315,92	1311980549,66
1s8f	$^3F^o_3$	1199017683,90	1227014459,77	1255447850,54	2610466315,92	1313645511,08
	$^3F^o_2$	1199019568,75	1227016392,75	1255449832,22	2610466315,92	1313647591,79
	$^3F^o_4$	1199100042,91	1227099858,90	1255536364,12	2610466315,92	1313740479,47
	$^1F^o_3$	1199101579,17	1227101437,08	1255537984,90	2610466315,92	1313742187,30
1s9f	$^3F^o_3$	1202543558,80	1230614190,66	1259122255,05	2610466315,92	1317471723,56
	$^3F^o_2$	1202544800,24	1230615459,45	1259123551,36	2610466315,92	1317473075,46
	$^3F^o_4$	1202598986,29	1230671481,14	1259181446,71	2610466315,92	1317534832,69
	$^1F^o_3$	1202600044,16	1230672564,71	1259182556,27	2610466315,92	1317535995,08
2s2p	$^3P^o_0$	1812834529,30	1854539289,07	1896874415,19	2610466315,92	1983464872,52
	$^3P^o_1$	1813251658,61	1854961004,71	1897300705,55	2610466315,92	1983900276,09
	$^3P^o_2$	1853249880,78	1896712791,22	1940864856,49	2610466315,92	2031271101,60
	$^1P^o_1$	1854287919,09	1897764270,79	1941929864,15	2610466315,92	2032363426,72
2p3s	$^3P^o_0$	1990035124,67	2035935294,91	2082530107,21	2610466315,92	2177834796,25
	$^3P^o_1$	1990038362,21	2035938141,98	2082532561,02	2610466315,92	2177836456,43
2s3p	$^3P^o_0$	1998639222,67	2045069632,66	2092221394,97	2610466315,92	2188724210,66
	$^3P^o_1$	1998655433,18	2045085487,11	2092236855,58	2610466315,92	2188738767,23
	$^3P^o_2$	2007706949,16	2054479270,85	2101981568,69	2610466315,92	2199211733,50
	$^1P^o_1$	2007784971,74	2054557861,62	2102060727,22	2610466315,92	2199292026,04

Tablo 3.2. (Devamı)

Seviye		$E_{\text{S}}^{97+}(Z=99)$	$F_{\text{m}}^{98+}(Z=100)$	$M_{\text{d}}^{99+}(Z=101)$	$N_{\text{o}}^{100+}(Z=102)$	$L_{\text{r}}^{101+}(Z=103)$
2p3d	$^1\text{P}^o_1$	2020448868,69	2067594815,11	2115474011,22	2610466315,92	2213466500,26
	$^3\text{P}^o_2$	2023173145,87	2070443380,74	2118451030,03	2610466315,92	2216713313,15
2p3s	$^3\text{P}^o_2$	2030566594,29	2078226965,55	2126640767,16	2610466315,92	2225765342,73
	$^1\text{P}^o_1$	2030651200,72	2078312267,80	2126726765,08	2610466315,92	2225852732,12
2p3d	$^3\text{P}^o_0$	2038377673,11	2086280053,46	2134939624,45	2610466315,92	2234566767,96
	$^3\text{P}^o_1$	2041422763,72	2089451688,13	2138241918,64	2610466315,92	2238143108,85
2p4s	$^3\text{P}^o_0$	2052479860,14	2099917306,93	2148076499,26	2610466315,92	2246592834,02
	$^3\text{P}^o_1$	2052501122,02	2099938965,95	2148098566,55	2610466315,92	2246615752,98
2s4p	$^3\text{P}^o_1$	2056826190,70	2104560658,13	2153033892,29	2610466315,92	2252232427,84
	$^3\text{P}^o_0$	2056837292,49	2104572029,46	2153045538,23	2610466315,92	2252244637,33
	$^3\text{P}^o_2$	2059777620,29	2107604759,35	2156171928,66	2610466315,92	2255561991,92
	$^1\text{P}^o_1$	2059807781,20	2107635156,72	2156202565,55	2610466315,92	2255593117,32
2s4f	$^3\text{F}^o_3$	2066051928,51	2114181563,96	2163062063,67	2610466315,92	2263112139,81
	$^3\text{F}^o_2$	2066057856,55	2114187896,52	2163068812,55	2610466315,92	2263119757,52
	$^3\text{F}^o_4$	2066789208,37	2114950493,18	2163863669,94	2610466315,92	2263982277,86
	$^1\text{F}^o_3$	2066817101,93	2114978963,76	2163892727,01	2610466315,92	2264012536,74
2p4d	$^1\text{P}^o_1$	2074132571,15	2122441035,93	2171497363,29	2610466315,92	2271888381,36
	$^3\text{P}^o_2$	2075184433,60	2123537320,32	2172639346,32	2610466315,92	2273125665,42
2p5s	$^3\text{P}^o_0$	2078919481,34	2126938814,91	2175686999,31	2610466315,92	2275402672,60
	$^3\text{P}^o_1$	2078923112,07	2126942450,08	2175690638,71	2610466315,92	2275406320,32
2s5p	$^3\text{P}^o_1$	2083472895,08	2131798265,98	2180869634,22	2610466315,92	2281286148,83
	$^3\text{P}^o_0$	2083473268,05	2131798695,86	2180870121,59	2610466315,92	2281286751,95

Tablo 3.2. (Devamı)

Seviye		$Es^{97+}(Z=99)$	$Fm^{98+}(Z=100)$	$Md^{99+}(Z=101)$	$No^{100+}(Z=102)$	$Lr^{101+}(Z=103)$
2s5p	$^3P^o_2$	2084769774,08	2133132988,72	2182242626,54	2610466315,92	2282736908,73
	$^1P^o_1$	2084782805,78	2133146130,84	2182255877,01	2610466315,92	2282750370,98
2p4s	$^3P^o_2$	2089745010,45	2138750478,32	2188272795,44	2610466315,92	2289365018,22
	$^1P^o_1$	2089767748,09	2138773322,42	2188274704,98	2610466315,92	2289367307,98
2s5f	$^3F^o_3$	2090243090,16	2138879697,21	2188527570,69	2610466315,92	2289799286,25
	$^3F^o_2$	2090244648,72	2138881436,64	2188550505,94	2610466315,92	2289815854,37
	$^3F^o_4$	2090612213,81	2139264370,30	2188673502,43	2610466315,92	2290433589,57
	$^1F^o_3$	2090627586,70	2139280035,48	2188689464,21	2610466315,92	2290456588,64
2p4d	$^3P^o_0$	2092316531,58	2141278109,26	2190334277,92	2610466315,92	2290673023,62
2p6s	$^3P^o_0$	2092958280,17	2141281271,48	2190335722,41	2610466315,92	2290674453,55
	$^3P^o_1$	2092959096,27	2141390599,81	2191232630,62	2610466315,92	2293272801,02
2p4d	$^3P^o_1$	2093463603,63	2142579073,29	2192467533,24	2610466315,92	2294599831,80
2s6p	$^3P^o_1$	2097619692,93	2146253515,86	2195636968,82	2610466315,92	2296688587,01
	$^3P^o_0$	2097620410,81	2146254201,19	2195637641,66	2610466315,92	2296689285,45
2p5g	$^1F^o_3$	2098080627,39	2146905479,51	2196326195,95	2610466315,92	2297413683,03
2s6p	$^3P^o_2$	2098273587,99	2146925007,61	2196333670,41	2610466315,92	2297421256,19
	$^1P^o_1$	2098281037,30	2146932461,88	2196485151,59	2610466315,92	2297944085,98
2p5g	$^3F^o_4$	2098291628,02	2147125173,22	2196713804,01	2610466315,92	2298191474,20
2p5d	$^1P^o_1$	2099008094,30	2147854517,92	2197455732,11	2610466315,92	2298957826,01
	$^3P^o_2$	2099479105,94	2148342632,96	2197961061,73	2610466315,92	2299497527,51
2p7s	$^3P^o_0$	2101299899,77	2149800088,52	2199034576,40	2610466315,92	2299739211,82
	$^3P^o_1$	2101300449,31	2149800624,30	2199035097,78	2610466315,92	2299739705,42

Tablo 3.2. (Devamı)

Seviye		$Es^{97+}(Z=99)$	$Fm^{98+}(Z=100)$	$Md^{99+}(Z=101)$	$No^{100+}(Z=102)$	$Lr^{101+}(Z=103)$
2s6f	$^3F^o_3$	2103418672,40	2152332066,62	2202005048,23	2610466315,92	2303666365,61
	$^3F^o_2$	2103419253,87	2152332739,53	202005815,10	2610466315,92	2303667328,05
	$^3F^o_4$	2103625280,56	2152547125,12	2202228804,88	2610466315,92	2303908279,23
	$^1F^o_3$	2103634198,76	2152556200,63	2202238039,75	2610466315,92	2303917838,99
2s7p	$^3P^o_0$	2106011967,88	2154826068,54	2204391422,80	2610466315,92	2305558370,85
	$^3F^o_1$	2106012275,52	2154826483,74	2204392196,45	2610466315,92	2305559237,31
	$^3F^o_2$	2106374560,51	2155197816,72	2204621946,35	2610466315,92	2305816339,99
	$^1P^o_1$	2106378158,78	2155200480,07	2204622997,74	2610466315,92	2305817073,93
2p8s	$^3P^o_0$	2106658983,01	2155272993,98	2204772824,46	2610466315,92	2306213892,68
	$^3P^o_1$	2106659375,50	2155274208,33	2204777388,83	2610466315,92	2306218031,91
2p9s	$^3P^o_0$	2110390926,15	2159086855,21	2208519404,73	2610466315,92	2309627158,68
	$^3P^o_1$	2110390941,97	2159086871,91	2208519421,56	2610466315,92	2309627174,44
2s7f	$^3F^o_3$	2111362303,62	2160325942,30	2210008106,92	2610466315,92	2311667213,66
	$^3F^o_2$	2111362567,98	2160325958,63	2210008117,90	2610466315,92	2311667216,45
2s8p	$^3P^o_0$	2111396765,85	2161430120,98	2210229584,85	2610466315,92	2311898191,45
	$^3P^o_1$	2111396786,04	2161430438,14	2210232022,28	2610466315,92	2311900632,19
2s7f	$^3F^o_4$	2111487600,30	2160542678,01	2210284109,11	2610466315,92	2312288311,07
	$^1F^o_3$	2111493123,96	2160545114,60	2210284480,82	2610466315,92	2312288794,91
2s8p	$^3P^o_2$	2111608764,83	2160572719,24	2210419418,31	2610466315,92	2312434177,74
	$^1P^o_1$	2111611202,45	2160578332,49	2210425122,13	2610466315,92	2312440065,61
2p6d	$^1P^o_1$	2113492337,91	2162688924,80	2212646416,69	2610466315,92	2314879548,46
	$^3P^o_2$	2113745915,20	2162951298,74	2212917803,67	2610466315,92	2315169596,56

Tablo 3.2. (Devamı)

Seviye		$Es^{97+}(Z=99)$	$Fm^{98+}(Z=100)$	$Md^{99+}(Z=101)$	$No^{100+}(Z=102)$	$Lr^{101+}(Z=103)$
2s9p	$^3P_0^o$	2115137533,11	2164148705,31	2213913884,13	2610466315,92	2315742099,93
	$^3P_1^o$	2115137798,91	2164148969,64	2213914147,44	2610466315,92	2315742373,49
	$^3P_2^o$	2115263092,60	2164276698,85	2214044306,82	2610466315,92	2315877385,40
	$^1P_1^o$	2115264482,76	2164278094,75	2214045701,52	2610466315,92	2315878753,06
2p5s	$^3P_2^o$	2116131356,88	2165700981,36	2215651803,31	2610466315,92	2317877999,31
	$^1P_1^o$	2116140070,13	2165701144,51	2215652005,51	2610466315,92	2317878270,52
2s8f	$^3F_3^o$	2116512801,47	2165715419,23	2215738478,92	2610466315,92	2317971095,56
	$^3F_2^o$	2116512937,92	2165724124,27	2215742199,77	2610466315,92	2317974923,40
	$^3F_4^o$	2116593357,11	2165784559,74	2216078051,61	2610466315,92	2319176145,43
	$^1F_3^o$	2116596972,53	2165788227,69	2216086766,70	2610466315,92	2319184875,86
2p5d	$^3P_0^o$	2117273146,60	2166884286,88	2217274090,83	2610466315,92	2320426711,64
	$^3P_1^o$	2117807682,97	2167437858,22	2217847181,05	2610466315,92	2321040290,67
2p5g	$^3F_2^o$	2118546947,19	2168211291,24	2218656019,60	2610466315,92	2321704784,82
	$^3F_3^o$	2118757451,68	2168430459,50	2218884115,62	2610466315,92	2321704945,47
2s9f	$^3F_3^o$	2120039229,95	2169301271,01	2219326771,76	2610466315,92	2321766560,93
	$^3F_2^o$	2120039306,41	2169301368,50	2219326890,63	2610466315,92	2321769161,24
	$^3F_4^o$	2120093358,45	2169357253,61	2219384646,71	2610466315,92	2321923823,17
	$^1F_3^o$	2120095849,80	2169359774,00	2219387197,27	2610466315,92	2322170600,25
2p6s	$^3P_2^o$	2130165225,37	2180051931,01	2230720681,41	2610466315,92	2334441421,51
	$^1P_1^o$	2130169326,81	2180056029,47	2230724776,84	2610466315,92	2334445510,92
2p6d	$^3P_0^o$	2131003188,49	2180918656,27	2231616982,02	2610466315,92	2335399407,08
	$^3P_1^o$	2131270312,81	2181194460,78	2231901637,58	2610466315,92	2335702279,00

Tablo 3.2. (Devamı)

Seviye		$Es^{97+}(Z=99)$	$Fm^{98+}(Z=100)$	$Md^{99+}(Z=101)$	$No^{100+}(Z=102)$	$Lr^{101+}(Z=103)$
2p7s	$^3P^o_2$	2138505823,04	2188570518,35	2239419243,23	2610466315,92	2343505892,38
	$^1P^o_1$	2138508004,23	2188572693,81	2239421412,98	2610466315,92	2343508050,92
2p8s	$^3P^o_2$	2143863797,06	2194042059,42	2245005595,52	2610466315,92	2349325602,40
	$^1P^o_1$	2143865032,00	2194043288,83	2245006819,51	2610466315,92	2349326815,72
2p9s	$^3P^o_2$	2147520019,98	2197775870,35	2248817858,49	2610466315,92	2353297367,14
	$^1P^o_1$	2147520740,91	2197776586,78	2248818570,49	2610466315,92	2353298070,67
3s3p	$^3P^o_0$	2176039852,75	2226653109,84	2278051305,53	2610466315,92	2383239843,29
	$^3P^o_1$	2176240860,71	2226856425,29	2278256921,67	2610466315,92	2383450040,27
	$^3P^o_2$	2184944597,86	2235884428,61	2287616647,69	2610466315,92	2393495682,67
	$^1P^o_1$	2185393804,69	2236338336,27	2288075266,78	2610466315,92	2393963755,42
3s4p	$^3P^o_0$	2235077160,01	2287015257,31	2339756015,48	2610466315,92	2447683228,29
	$^3P^o_1$	2235098540,87	2287036983,65	2339778091,59	2610466315,92	2447706017,06
	$^3P^o_2$	2238067188,15	2290102208,83	2342941479,28	2610466315,92	2451070411,60
	$^1P^o_1$	2238108888,11	2290144515,36	2342984399,08	2610466315,92	2451114578,57
3d4p	$^3P^o_1$	2242763626,92	2294911595,45	2347863134,23	2610466315,92	2456213856,55
	$^3P^o_0$	2244823856,85	2297057835,75	2350097946,03	2610466315,92	2458633661,42
	$^3P^o_2$	2245895940,49	2298177994,01	2351267982,22	2610466315,92	2459909101,40
	$^1P^o_1$	2248047639,99	2300417094,99	2353597059,73	2610466315,92	2462426023,83
3s5p	$^3P^o_0$	2261863375,52	2314397627,80	2367742095,81	2610466315,92	2476899479,00
	$^3P^o_1$	2261869255,82	2314403554,48	2367748068,47	2610466315,92	2476905542,42
	$^3P^o_2$	2263154949,11	2315727408,01	2369110552,39	2610466315,92	2478346653,37
	$^1P^o_1$	2263169624,39	2315742249,70	2369125561,36	2610466315,92	2478361999,32

Tablo 3.2. (Devami)

Seviye		$Es^{97+}(Z=99)$	$Fm^{98+}(Z=100)$	$Md^{99+}(Z=101)$	$No^{100+}(Z=102)$	$Lr^{101+}(Z=103)$
3d5p	$^3P^o_1$	2269215602,06	2321970293,95	2375537699,24	2610466315,92	2485148003,87
	$^3P^o_0$	2270006295,44	2322788467,32	2376383871,13	2610466315,92	2486051711,12
	$^3P^o_2$	2272463812,00	2325357024,18	2379067463,50	2610466315,92	2488977797,49
	$^1P^o_1$	2273280209,48	2326201058,09	2379939647,60	2610466315,92	2489907805,49
3s6p	$^3P^o_0$	2276044672,73	2328887951,08	2382545124,08	2610466315,92	2492338979,73
	$^3P^o_1$	2276047192,81	2328890484,87	2382547671,62	2610466315,92	2492341555,27
	$^3P^o_2$	2276692483,42	2329553414,31	2383228397,28	2610466315,92	2493058320,88
	$^1P^o_1$	2276699521,32	2329560518,19	2383235567,24	2610466315,92	2493065623,36
3d6p	$^3P^o_1$	2283175135,65	2337026226,76	2390113662,20	2610466315,92	2500355862,63
	$^3P^o_0$	2283560435,38	2336633497,38	2390523291,65	2610466315,92	2500790478,17
3s7p	$^3P^o_0$	2284449949,47	2337473934,21	2391313881,38	2610466315,92	2501479498,45
	$^3P^o_1$	2284451093,07	2337475079,05	2391315026,67	2610466315,92	2501480641,91
	$^3P^o_2$	2284807531,29	2337840508,62	2391689500,99	2610466315,92	2501873353,14
	$^1P^o_1$	2284811421,20	2337844427,80	2391693449,57	2610466315,92	2501877360,69
3d6p	$^3P^o_2$	286467126,88	2339668176,91	2393690345,12	2610466315,92	2504235873,85
	$^1P^o_1$	2286863311,41	2340076453,90	2394110879,23	2610466315,92	2504681400,46
3s8p	$^3P^o_0$	2289840433,62	2342979310,84	2396935431,93	2610466315,92	2507337244,10
	$^3P^o_1$	2289841132,43	2342980011,56	2396936134,73	2610466315,92	2507337951,62
	$^3P^o_2$	2290049374,70	2343193044,20	2397153972,45	2610466315,92	2507565437,51
	$^1P^o_1$	2290051599,47	2343195282,69	2397156224,37	2610466315,92	2507567715,57
3d7p	$^3P^o_1$	2291469590,31	2344709537,04	2398768165,71	2610466315,92	2509378905,94
	$^3P^o_0$	2291680230,06	2344926207,66	2398990926,20	2610466315,92	2509614012,31

Tablo 3.2. (Devamı)

Seviye		$Es^{97+}(Z=99)$	$Fm^{98+}(Z=100)$	$Md^{99+}(Z=101)$	$No^{100+}(Z=102)$	$Lr^{101+}(Z=103)$
4s4p	$^3P_0^o$	2292644698,49	2345816277,37	2399803580,98	2610466315,92	2510262836,33
	$^3P_1^o$	2292758829,22	2345932001,69	2399920893,27	2610466315,92	2510383306,95
3s9p	$^3P_0^o$	2293556954,25	2347961262,33	2400813424,98	2610466315,92	2511380479,69
	$^3P_1^o$	2293557303,85	2347961612,05	2400813774,67	2610466315,92	2511380829,07
	$^3P_2^o$	2293680597,79	2346902208,48	2400942001,17	2610466315,92	2511513975,42
	$^1P_1^o$	2293682016,46	2346903631,29	2400943428,17	2610466315,92	2511515410,73
3d7p	$^3P_2^o$	2294782343,53	2348163048,13	2402367001,62	2610466315,92	2513282513,18
	$^1P_1^o$	2294998158,06	2348384832,43	2402594805,13	2610466315,92	2513522485,96
3d8p	$^3P_1^o$	2296800878,72	2350154798,13	2404328710,15	2610466315,92	2515173963,59
	$^3P_0^o$	2296923622,35	2350280684,23	2404457749,79	2610466315,92	2515309331,47
4s4p	$^3P_2^o$	2297067750,68	2350416278,15	2404585398,32	2610466315,92	2515423122,34
	$^1P_1^o$	2297248036,82	2350593482,57	2404758495,00	2610466315,92	2515583971,60
4p4d	$^3P_1^o$	2297691966,73	2351025891,38	2405179247,45	2610466315,92	2515982583,96
	$^3P_2^o$	2298628347,07	2351999938,04	2406191196,86	2610466315,92	2517070169,17
	$^3P_0^o$	2299660889,75	2353077020,17	2407314213,49	2610466315,92	2518289336,68
3d8p	$^3P_2^o$	2300124906,41	2353619887,72	2407939427,95	2610466315,92	2519090050,92
	$^1P_1^o$	2300245892,24	2353740761,90	2408053683,76	2610466315,92	2519107475,13
3d9p	$^3P_1^o$	2300436386,38	2353870750,93	2408132488,13	2610466315,92	2519198119,45
	$^3P_0^o$	2300504696,72	2353937408,76	2408190975,54	2610466315,92	2519239591,42
4p4d	$^3P_1^o$	2300934778,29	2354397077,73	2408681721,55	2610466315,92	2519755672,80
3d9p	$^3P_2^o$	2303762562,57	2357334982,32	2411732831,97	2610466315,92	2523042691,10
	$^1P_1^o$	2303837769,39	2357411840,56	2411811345,88	2610466315,92	2523124526,50

Tablo 3.2. (Devami)

Seviye		$Es^{97+}(Z=99)$	$Fm^{98+}(Z=100)$	$Md^{99+}(Z=101)$	$No^{100+}(Z=102)$	$Lr^{101+}(Z=103)$
4p5s	$^3P_0^o$	2319303634,73	2373054520,62	2427627923,90	2610466315,92	2539279771,57
	$^3P_1^o$	2319315530,50	2373066536,94	2427640061,18	2610466315,92	2539292151,67
4s5p	$^3P_1^o$	2321035527,14	2374885876,58	2429563127,90	2610466315,92	2541436324,80
	$^3P_0^o$	2321040049,23	2374890344,65	2429567560,82	2610466315,92	2541440747,81
	$^3P_2^o$	2322581968,34	2376481864,15	2431209251,26	2610466315,92	2543162900,08
	$^1P_1^o$	2322613914,68	2376509390,35	2431228209,36	2610466315,92	2543184242,35
4p5d	$^1P_1^o$	2322751413,29	2376626095,50	2431330173,63	2610466315,92	2543274960,21
	$^3P_2^o$	2323222469,69	2377109519,94	2431822181,60	2610466315,92	2543762075,12
4p5s	$^3P_2^o$	2323773066,25	2377702484,83	2432459431,10	2610466315,92	2544493639,73
	$^1P_1^o$	2323802572,01	2378719971,74	2432489605,36	2610466315,92	2544524418,20
4d5p	$^3P_1^o$	2324264174,44	2378203566,97	2432970626,74	2610466315,92	2545025549,13
4p5d	$^3P_0^o$	2324954886,26	2378914797,99	2433702464,64	2610466315,92	2545798760,63
4d5p	$^3P_0^o$	2325052380,19	2379019760,08	2433815335,49	2610466315,92	2545928858,02
	$^3P_2^o$	2325430073,99	2379416235,77	2434231386,31	2610466315,92	2546365921,17
4p5d	$^3P_1^o$	2325450433,20	2379427674,17	2434233051,29	2610466315,92	2546386537,84
4d5p	$^1P_1^o$	2326269345,63	2380283513,92	2435127208,24	2610466315,92	2547341040,78
4p6s	$^3P_0^o$	2333394324,57	2387447798,14	2442327241,66	2610466315,92	2554601538,69
	$^3P_1^o$	2333398678,62	2387452178,59	2442331648,63	2610466315,92	2554605998,97
4s6p	$^3P_0^o$	2335498455,12	2389669622,97	2444671766,60	2610466315,92	2557207014,99
	$^3P_1^o$	2335499227,69	2389670489,89	2444672724,61	2610466315,92	2557208146,12
	$^3P_2^o$	2336246353,49	2390439561,31	2445463988,57	2610466315,92	2558044504,73
	$^1P_1^o$	2336257904,70	2391833840,86	2445475612,64	2610466315,92	2558056206,28

Tablo 3.2. (Devami)

Seviye		$Es^{97+}(Z=99)$	$Fm^{98+}(Z=100)$	$Md^{99+}(Z=101)$	$No^{100+}(Z=102)$	$Lr^{101+}(Z=103)$
4p6s	$^3P^o_2$	2337864426,10	2392096943,76	2447160420,67	2610466315,92	2559818010,30
	$^1P^o_1$	2337874254,10	2392106816,77	2447170338,59	2610466315,92	2559828017,81
4d6p	$^3P^o_1$	2338260709,55	2392507250,64	2447585312,48	2610466315,92	2560273862,14
	$^3P^o_0$	2338643829,67	2392902546,85	2447992957,16	2610466315,92	2560706706,56
	$^3P^o_2$	2339462289,74	2393756624,88	2448883832,52	2610466315,92	2561674813,07
	$^1P^o_1$	2339861584,52	2394168181,08	2449307822,05	2610466315,92	2562124170,60
4p7s	$^3P^o_0$	2341757407,77	2395988821,31	2451048185,50	2610466315,92	2563688270,99
	$^3P^o_1$	2341759435,69	2395990859,66	2451050234,10	2610466315,92	2563690339,52
4s7p	$^3P^o_0$	2343994387,70	2398349907,83	2453538569,81	2610466315,92	2566453364,77
	$^3P^o_1$	2343995044,74	2398350604,09	2453539303,94	2610466315,92	2566454170,57
	$^3P^o_2$	2344397104,35	2398763487,99	2453963097,08	2610466315,92	2566900020,36
	$^1P^o_1$	2344402778,61	2398769171,06	2453968789,47	2610466315,92	2566905732,68
4p7s	$^3P^o_2$	2346229232,25	2400639740,59	2455883188,63	2610466315,92	2568906667,16
	$^1P^o_1$	2346233554,13	2400644080,05	2455887545,53	2610466315,92	2568911058,31
4d7p	$^3P^o_1$	2346568621,21	2400994129,05	2456253171,37	2610466315,92	2569309165,24
	$^3P^o_0$	2346776785,21	2401208029,29	2456472376,29	2610466315,92	2569504511,95
4p8s	$^3P^o_0$	2347127462,30	2401472971,09	2456647707,82	2610466315,92	2569522638,24
	$^3P^o_1$	2347128036,54	2401473225,96	2456648268,93	2610466315,92	2569559484,16
5s5p	$^3P^o_0$	2347601516,98	2402031542,47	2457295398,85	2610466315,92	2570362635,56
	$^3P^o_1$	2347667877,22	2402888998,70	2457363729,09	2610466315,92	2570432927,41
4d7p	$^3P^o_2$	2347787241,53	2402261315,65	2457570389,28	2610466315,92	2570731503,13
	$^1P^o_1$	2348003362,29	2402483529,06	2457798759,16	2610466315,92	2570972368,15

Tablo 3.2. (Devamı)

Seviye		$Es^{97+}(Z=99)$	$Fm^{98+}(Z=100)$	$Md^{99+}(Z=101)$	$No^{100+}(Z=102)$	$Lr^{101+}(Z=103)$
5s5p	$^3P^o_2$	349176354,09	2403657695,42	2458973678,89	2610466315,92	2572147554,58
	$^1P^o_1$	2349303378,21	2403785988,35	2459103210,05	2610466315,92	2572279462,17
4s8p	$^3P^o_0$	2349424703,55	2403896614,37	2459202986,42	2610466315,92	2572357163,96
	$^3P^o_1$	2349425200,64	2403897133,67	2459203527,16	2610466315,92	2572357746,62
	$^3P^o_2$	2349656035,27	2404133620,07	2459445690,96	2610466315,92	2572611331,99
	$^3P^1P^o_1$	2349658484,19	2404136199,45	2459448362,41	2610466315,92	2572614120,31
5p5d	$^3P^o_1$	2349698457,81	2404183753,56	2459503470,19	2610466315,92	2572684075,90
	$^3P^o_2$	350059571,35	2404560675,49	2459896532,93	2610466315,92	2573110469,28
	$^3P^o_0$	2350399734,56	2404912080,99	2460259329,38	2610466315,92	2573496467,33
4p9s	$^3P^o_0$	2350854560,90	2405280858,74	2460537371,92	2610466315,92	2573578576,84
	$^3P^o_1$	2350854685,38	2405281018,93	2460537558,28	2610466315,92	2573578812,80
5p5d	$^1P^o_1$	2350989005,88	2405519551,67	2460885422,11	2610466315,92	2574161057,69
4p8s	$^3P^o_2$	2351598733,99	2406122796,22	2461481040,74	2610466315,92	2574737842,49
	$^1P^o_1$	2351601065,72	2406125132,64	2461483381,90	2610466315,92	2574740193,38
4d8p	$^3P^o_1$	2351907902,65	2406447574,93	2461822188,69	2610466315,92	2575114130,87
	$^3P^o_0$	2352029140,40	2406572034,59	2461949892,02	2610466315,92	2575248382,47
	$^3P^o_2$	2353134135,88	2407701081,99	2463088639,22	2610466315,92	2576407965,18
4s9p	$^3P^o_0$	2353148910,69	2407701824,08	2463089441,11	2610466315,92	2576408841,92
	$^3P^o_1$	2353149558,28	2407722445,18	2463147003,61	2610466315,92	2576540990,32
4d8p	$^1P^o_1$	2353259548,57	2407838380,24	2463229142,74	2610466315,92	2576554889,43
4s9p	$^3P^o_2$	2353283537,98	2407838618,56	2463229711,51	2610466315,92	2576556424,70
	$^1P^o_1$	2353285374,15	2407853048,89	2463279973,29	2610466315,92	2576682515,08

Tablo 3.2. (Devamı)

Seviye		$Es^{97+}(Z=99)$	$Fm^{98+}(Z=100)$	$Md^{99+}(Z=101)$	$No^{100+}(Z=102)$	$Lr^{101+}(Z=103)$
4p9s	$^3P^o_2$	2355267032,51	2409869052,33	2465306138,26	2610466315,92	2578723283,79
	$^1P^o_1$	2355268940,45	2409870985,27	2465308097,12	2610466315,92	2578725297,30
4d9p	$^3P^o_1$	2355542096,82	2410159034,79	2465611778,97	2610466315,92	2579062582,73
	$^3P^o_0$	2355613654,80	2410232244,80	2465686645,54	2610466315,92	2579140773,38
	$^3P^o_2$	2356774727,64	2411440537,82	2466943525,55	2610466315,92	2580499013,90
	$^1P^o_1$	2356848759,74	2411516224,21	2467020871,09	2610466315,92	2580579689,71
5p6s	$^3P^o_0$	2361826647,28	2416561404,98	2472133447,37	2610466315,92	2585827433,46
	$^3P^o_1$	2361837096,68	2416571842,66	2472143876,14	2610466315,92	2585837852,66
5s6p	$^3P^o_1$	2362217380,88	2416970323,67	2472561161,25	2610466315,92	2586294597,32
	$^3P^o_0$	2362223951,70	2416976633,14	2472567216,37	2610466315,92	2586300164,29
	$^3P^o_2$	2362955693,18	2417730480,07	2473343412,95	2610466315,92	2587121762,78
	$^1P^o_1$	362974125,74	2417749060,67	2473362141,02	2610466315,92	2587140784,15
5p6s	$^3P^o_2$	2363417416,52	2418203528,63	2473827749,07	2610466315,92	2587628510,69
	$^1P^o_1$	2363439044,88	2418225259,46	2473849582,53	2610466315,92	2587650550,04
5d6p	$^3P^o_1$	2363737199,67	2418530025,28	2474161083,02	2610466315,92	2587975909,15
	$^3P^o_0$	2364109729,73	2418914860,58	2474558400,41	2610466315,92	2588398706,91
	$^3P^o_2$	2364222608,27	2419033201,92	2474682438,14	2610466315,92	2588534863,02
	$^1P^o_1$	2364631581,59	2419454745,24	2475116731,82	2610466315,92	2588995183,76
5p7s	$^3P^o_0$	2370219922,31	2425132878,60	2480885101,75	2610466315,92	2594945401,41
	$^3P^o_1$	2370223644,06	2425136577,89	2480888780,45	2610466315,92	2594949044,27
5s7p	$^3P^o_1$	2370736444,39	2425673905,06	2481451431,33	2610466315,92	2595564768,90
	$^3P^o_0$	2370740398,74	2425677733,27	2481455138,08	2610466315,92	2595568246,22

Tablo 3.2. (Devamı)

Seviye		$Es^{97+}(Z=99)$	$Fm^{98+}(Z=100)$	$Md^{99+}(Z=101)$	$No^{100+}(Z=102)$	$Lr^{101+}(Z=103)$
5s7p	$^3P^o_2$	2371133257,41	2426081505,07	2481869905,89	2610466315,92	2596005238,63
	$^1P^o_1$	2371143697,75	2426091953,64	2481880364,05	2610466315,92	2596015719,99
5p7s	$^3P^o_2$	2371808213,44	2426772567,08	2482577008,10	2610466315,92	2596744153,32
	$^1P^o_1$	2371815132,17	2426779506,81	2482583968,75	2610466315,92	2596751155,56
5d7p	$^3P^o_1$	2372058967,01	2427031295,45	2482843972,96	2610466315,92	2597028409,62
	$^3P^o_0$	2372264483,40	2427242927,60	2483061786,54	2610466315,92	2597258774,15
	$^3P^o_2$	2372563764,97	2427554288,00	2483385580,27	2610466315,92	2597608517,46
	$^1P^o_1$	2372781776,87	2427778500,46	2483616059,15	2610466315,92	2597851717,98
5p8s	$^3P^o_0$	2375602200,99	2431418873,64	2486495837,73	2610466315,92	2600789575,54
	$^3P^o_1$	2375603678,04	2431420344,58	2486497303,23	2610466315,92	2600791031,91
5s8p	$^3P^o_1$	2376176400,47	2431230307,13	2487125600,10	2610466315,92	2601478437,73
	$^3P^o_0$	2376178106,31	2431231954,18	2487127190,88	2610466315,92	2601479923,00
6s6p	$^3P^o_0$	2376336458,71	2431392624,10	2487290150,06	2610466315,92	2601647373,45
	$^3P^o_1$	2376385929,14	2431442797,11	2487341020,17	2610466315,92	2601699624,81
5s8p	$^3P^o_2$	2376403955,61	2431463505,28	2487364468,94	2610466315,92	2601728721,95
	$^1P^o_1$	2376409585,52	2431469099,31	2487370031,98	2610466315,92	2601734234,32
6s6p	$^3P^o_2$	2377084148,45	2433544949,82	2488081976,77	2610466315,92	2602484306,64
5p8s	$^1P^o_1$	2377184870,58	2432263097,63	2488182695,14	2610466315,92	2602583969,14
	$^3P^o_2$	2377189187,78	2432267161,65	2488186465,57	2610466315,92	2602587067,62
6s6p	$^1P^o_1$	2377215301,90	2432294405,59	2488215083,07	2610466315,92	2602619254,84
5d8p	$^3P^o_1$	2377403351,00	2432489780,57	2488417860,87	2610466315,92	2602837016,31
	$^3P^o_0$	2377522646,82	2432612308,21	2488543643,70	2610466315,92	2602969374,59

Tablo 3.2. (Devamı)

Seviye		$Es^{97+}(Z=99)$	$Fm^{98+}(Z=100)$	$Md^{99+}(Z=101)$	$No^{100+}(Z=102)$	$Lr^{101+}(Z=103)$
5d8p	$^3P^o_2$	2377915491,97	2433020383,02	2488967349,32	2610466315,92	2603425561,02
	$^1P^o_1$	2378040961,74	2433149106,27	2489099349,75	2610466315,92	2603564181,65
5p9s	$^3P^o_1$	2379308393,50	2434414153,41	2490361329,88	2610466315,92	2604817991,65
	$^3P^o_0$	379309647,10	2434415420,33	2490362609,82	2610466315,92	2604819296,89
5s9p	$^3P^o_0$	2379899486,66	2435033340,25	2491009495,46	2610466315,92	2605526806,57
	$^3P^o_1$	2379901048,62	2435034945,98	2491011143,74	2610466315,92	2605528536,36
	$^3P^o_2$	2380031726,85	2435168411,47	2491147395,95	2610466315,92	2605670355,67
	$^1P^o_1$	2380033243,18	2435169858,46	2491148772,60	2610466315,92	2605671588,13
5p9s	$^3P^o_2$	2380861014,56	2436016795,52	2492014776,57	2610466315,92	2606575348,65
	$^1P^o_1$	2380864241,02	2436020085,30	2492018131,62	2610466315,92	2606578840,56
5d9p	$^3P^o_1$	2381041416,45	2436205137,49	2492211376,16	2610466315,92	2606789453,07
	$^3P^o_0$	2381111593,43	2436276970,54	2492284870,50	2610466315,92	2606866283,21
	$^3P^o_2$	2381558158,95	2436740509,46	2492765804,81	2610466315,92	2607383287,30
	$^1P^o_1$	2381631533,54	2436815545,27	2492842507,07	2610466315,92	2607463335,54
6p7s	$^3P^o_0$	2384802394,90	2440038111,90	2496117166,95	2610466315,92	2610843385,96
	$^3P^o_1$	2384815655,31	2440051282,55	2496130249,70	2610466315,92	2610856299,08
6s7p	$^3P^o_1$	2384955698,10	2440197669,74	2496283171,48	2610466315,92	2611022866,80
	$^3P^o_0$	2384969488,54	2440211183,52	2496296414,53	2610466315,92	2611035586,34
	$^3P^o_2$	2385345003,14	2440597648,86	2496693912,09	2610466315,92	2611455375,93
	$^1P^o_1$	2385364305,04	2440617053,77	2496713421,11	2610466315,92	2611475096,44
6p7s	$^3P^o_2$	2385574362,17	2440831868,59	2496932971,64	2610466315,92	2611704032,59
	$^1P^o_1$	2385592521,14	2440850061,20	2496951199,71	2610466315,92	2611722336,76

Tablo 3.2. (Devamı)

Seviye		$Es^{97+}(Z=99)$	$Fm^{98+}(Z=100)$	$Md^{99+}(Z=101)$	$No^{100+}(Z=102)$	$Lr^{101+}(Z=103)$
6p8s	$^3P_0^o$	2390202127,39	2446736780,34	2501745682,51	2610466315,92	2616705652,91
	$^3P_1^o$	2390206906,24	2445556317,46	2501750310,89	2610466315,92	2616710142,31
6s8p	$^3P_1^o$	2390410184,55	2446756350,97	2501972093,38	2610466315,92	2616951512,31
	$^3P_0^o$	2390418134,77	2445776497,33	2501979716,74	2610466315,92	2616958831,59
	$^3P_2^o$	2390633055,23	2445997190,11	2502206203,85	2610466315,92	2617196965,06
	$^1P_1^o$	2390644650,90	2446008767,77	2502217765,69	2610466315,92	2617208501,58
6p8s	$^3P_2^o$	2390963204,67	2446334504,22	2502550640,70	2610466315,92	2617555491,80
	$^1P_1^o$	2390967855,34	2446339168,83	2502555319,27	2610466315,92	2617560198,49
7s7p	$^3P_0^o$	2393341177,66	2448761403,09	2505027141,82	2610466315,92	2620133265,99
	$^3P_1^o$	2393375513,61	2448796221,81	2505062441,94	2610466315,92	2620169525,00
	$^3P_2^o$	2393739627,77	2449170615,43	2505447204,41	2610466315,92	2620575276,86
	$^1P_1^o$	2393831660,11	2449263538,14	2505541018,61	2610466315,92	2620670875,67
6p9s	$^3P_1^o$	2393909812,17	2449337953,20	2505611559,01	2610466315,92	2620733267,38
	$^3P_0^o$	2393913701,14	2449341907,66	2505615575,41	2610466315,92	2620737396,06
6s9p	$^3P_0^o$	2394137760,93	2449576135,88	2505860276,34	2610466315,92	2621003961,97
	$^3P_1^o$	2394140121,71	2449578632,41	2505862904,70	2610466315,92	2621006843,10
	$^3P_2^o$	2394268012,01	2451091924,74	2505996210,64	2610466315,92	2621145545,84
	$^1P_1^o$	2394270331,64	2451094062,55	2505998163,57	2610466315,92	2621147118,95
6p9s	$^3P_2^o$	2394636999,22	2450086132,99	2506380969,56	2610466315,92	2621545824,08
	$^1P_1^o$	2394643624,31	2450092920,08	2506387923,71	2610466315,92	2621553128,05
7p8s	$^3P_0^o$	2398784626,66	2455504752,60	2510701306,05	2610466315,92	2626043123,59
	$^2P_1^o$	2398797552,31	2455517605,72	2510714083,95	2610466315,92	2626055744,50

Tablo 3.2. (Devamı)

Seviye		$Es^{97+}(Z=99)$	$Fm^{98+}(Z=100)$	$Md^{99+}(Z=101)$	$No^{100+}(Z=102)$	$Lr^{101+}(Z=103)$
7s8p	$^3P^o_1$	2398863266,90	2454400943,21	2510785452,13	2610466315,92	2626133079,29
	$^2P^o_0$	2398880898,25	2454418374,40	2510802684,06	2610466315,92	2626149916,29
	$^2P^o_2$	2399079920,66	2454623108,34	2511013156,65	2610466315,92	2626371937,53
	$^1P^o_1$	2399097309,80	2454640579,14	2511030709,80	2610466315,92	2626389657,35
7p8s	$^3P^o_2$	2399209105,84	2455544814,87	2511147150,97	2610466315,92	2626510677,46
	$^1P^o_1$	2399222967,60	2455558685,82	2511161033,05	2610466315,92	2626524587,44
7p9s	$^3P^o_1$	2402504419,04	2458117803,19	2514578808,98	2610466315,92	2630081797,42
	$^3P^o_0$	2402514673,29	2458128333,18	2514589606,22	2610466315,92	2630093105,71
7s9p	$^3P^o_0$	2402603004,16	2458220630,63	2514686016,72	2610466315,92	2630198179,72
	$^3P^o_1$	2402607869,05	2458225846,52	2514691572,66	2610466315,92	2630204385,20
	$^3P^o_2$	2402731114,57	2458351605,32	2514819554,42	2610466315,92	2630336389,51
	$^1P^o_1$	2402731730,55	2458351779,40	2514819832,23	2610466315,92	2630337602,55
7p9s	$^3P^o_2$	2402889312,88	2458512812,69	2514984027,23	2610466315,92	2630507699,30
	$^1P^o_1$	2402904283,51	2458528224,22	2514999891,98	2610466315,92	2630524508,67
8s8p	$^3P^o_0$	2404248487,14	2459899892,71	2516399375,98	2610466315,92	2631980689,52
	$^3P^o_1$	2404272987,26	2459924745,30	2516424579,90	2610466315,92	2632006592,88
	$^3P^o_2$	2404473234,32	2460130210,66	2516635292,80	2610466315,92	2632227879,65
	$^1P^o_1$	2404545632,15	2460203296,56	2516709068,66	2610466315,92	2632303040,88
8p9s	$^3P^o_1$	2407989661,30	2463719667,26	2520298600,11	2610466315,92	2636041362,09
	$^3P^o_0$	2408015848,12	2463746155,90	2520325382,05	2610466315,92	2636068710,60
8s9p	$^3P^o_0$	2408052541,33	2463785678,10	2520367844,12	2610466315,92	2636117375,34
	$^3P^o_1$	2408069857,51	2463803357,89	2520385876,14	2610466315,92	2636136083,70

Tablo 3.2. (Devamı)

Seviye		$Es^{97+}(Z=99)$	$Fm^{98+}(Z=100)$	$Md^{99+}(Z=101)$	$No^{100+}(Z=102)$	$Lr^{101+}(Z=103)$
8s9p	$^1P^o_1$	2408153841,53	2463887792,38	2520470694,80	2610466315,92	2636221463,10
	$^3P^o_2$	2408173152,76	2463908200,79	2520492198,33	2610466315,92	2636245143,33
8p9s	$^3P^o_2$	2408218112,04	2463953940,25	2520538788,22	2610466315,92	2636293663,39
	$^1P^o_1$	2408265829,99	2464002847,87	2520588885,80	2610466315,92	2636346134,47

3.2. Helyum Benzeri Ac, Th, Pa, U ve Np'nin Elektrik Dipol Geçişleri

Seviye yapılarının incelenmesinden sonra nsns' ($n=1-5$, $n'=1-9$, 5s9s hariç), 1snd ($n=3-7$), npnp' ($n=2-4$, $n'=1-9$), 5p6p, 6p², 2p4f, 1s5g, 2s5g çift pariteli ve nsnp' ($n=1-9$, $n'=2-9$, 9s9p hariç), 2pnd ($n=3-6$)ndnp' ($n=3-5$, $n'=4-9$ $n'>n$), nsn'f ($n=1,2$, $n'=4-9$), 2p5g, 4p4d, 4p5d tek pariteli konfigürasyonlar arasındaki E1, E2, M1 ve M2 geçişleri de incelenmiştir. Elde edilen verilerin çokluğu nedeniyle sadece Seviyelerden $1s^2 \ ^1S_0$ taban haline yapılan geçiş verileri sunulmaktadır. Bu geçişlere ait dalga boyları Tablo 3.3., ağırlıklı salınıcı şiddetleri Tablo 3.4. ve geçiş olasılıkları Tablo 3.5.'de sunulmaktadır.

Yapılan kaynak taramasında Fm^{98+} iyonunun $1s2p \ ^3P_1$, 1P_1 ve $1s3p \ ^3P_1 - 1s^2 \ ^1S_0$ geçişine ait geçiş olasılığı verisi bulunmaktadır. Diğer geçişler için herhangi bir teorik veya deneysel karşılaştıma değeri bulunmamaktadır.

Tablo 3.3. Helyum benzeri Aynşṭaynyum, Fermiyum, Mendelevyum, Nobelyum, Lavrensiyum'um taban hale yapılan geçişlerinin dalga boyları (\AA)

Seviye		$\text{Es}^{97+}(Z=99)$	$\text{Fm}^{98+}(Z=100)$	$\text{Md}^{99+}(Z=101)$	$\text{No}^{100+}(Z=102)$	$\text{Lr}^{101+}(Z=103)$
E1 Geçişleri						
1s2p	$^3\text{P}_1$	0,11	0,11	0,11	0,1	0,1
1s2p	$^1\text{P}_1$	0,11	0,1	0,1	0,1	0,1
1s3p	$^3\text{P}_1$	0,09	0,09	0,09	0,09	0,08
1s3p	$^1\text{P}_1$	0,09	0,09	0,09	0,09	0,08
1s4p	$^3\text{P}_1$	0,09	0,09	0,08	0,08	0,08
1s4p	$^1\text{P}_1$	0,09	0,09	0,08	0,08	0,08
1s5p	$^3\text{P}_1$	0,09	0,08	0,08	0,08	0,08
1s5p	$^1\text{P}_1$	0,09	0,08	0,08	0,08	0,08
1s6p	$^3\text{P}_1$	0,08	0,08	0,08	0,08	0,08
1s6p	$^1\text{P}_1$	0,08	0,08	0,08	0,08	0,08
1s7p	$^3\text{P}_1$	0,08	0,08	0,08	0,08	0,08
1s7p	$^1\text{P}_1$	0,08	0,08	0,08	0,08	0,08
1s8p	$^3\text{P}_1$	0,08	0,08	0,08	0,08	0,08
1s8p	$^1\text{P}_1$	0,08	0,08	0,08	0,08	0,08
1s9p	$^3\text{P}_1$	0,08	0,08	0,08	0,08	0,08
1s9p	$^1\text{P}_1$	0,08	0,08	0,08	0,08	0,08
2s2p	$^3\text{P}_1$	0,06	0,05	0,05	0,05	0,05
2s2p	$^1\text{P}_1$	0,05	0,05	0,05	0,05	0,05
2p3s	$^3\text{P}_1$	0,05	0,05	0,05	0,05	0,05
2s3p	$^3\text{P}_1$	0,05	0,05	0,05	0,05	0,05
2s3p	$^1\text{P}_1$	0,05	0,05	0,05	0,05	0,05
2p3d	$^1\text{P}_1$	0,05	0,05	0,05	0,05	0,05
2p3s	$^1\text{P}_1$	0,05	0,05	0,05	0,05	0,04
2p3d	$^3\text{P}_1$	0,05	0,05	0,05	0,05	0,04
2p4s	$^3\text{P}_1$	0,05	0,05	0,05	0,05	0,04
2s4p	$^3\text{P}_1$	0,05	0,05	0,05	0,05	0,04
2s4p	$^1\text{P}_1$	0,05	0,05	0,05	0,05	0,04
2p4d	$^1\text{P}_1$	0,05	0,05	0,05	0,05	0,04
2p5s	$^3\text{P}_1$	0,05	0,05	0,05	0,04	0,04
2s5p	$^3\text{P}_1$	0,05	0,05	0,05	0,04	0,04
2s5p	$^1\text{P}_1$	0,05	0,05	0,05	0,04	0,04
2p4s	$^1\text{P}_1$	0,05	0,05	0,05	0,04	0,04
2p6s	$^3\text{P}_1$	0,05	0,05	0,05	0,04	0,04
2p4d	$^3\text{P}_1$	0,05	0,05	0,05	0,04	0,04
2s6p	$^3\text{P}_1$	0,05	0,05	0,05	0,04	0,04
2s6p	$^1\text{P}_1$	0,05	0,05	0,05	0,04	0,04

Tablo 3.3. (Devami)

Seviye		$E_{\text{S}}^{97+}(Z=99)$	$F_{\text{m}}^{98+}(Z=100)$	$M_{\text{d}}^{99+}(Z=101)$	$N_{\text{o}}^{100+}(Z=102)$	$L_{\text{r}}^{101+}(Z=103)$
2p5d	$^1\text{P}_1$	0,05	0,05	0,05	0,04	0,04
2p7s	$^3\text{P}_1$	0,05	0,05	0,05	0,04	0,04
2s7p	$^3\text{P}_1$	0,05	0,05	0,05	0,04	0,04
2s7p	$^1\text{P}_1$	0,05	0,05	0,05	0,04	0,04
2p8s	$^3\text{P}_1$	0,05	0,05	0,05	0,04	0,04
2p9s	$^3\text{P}_1$	0,05	0,05	0,05	0,04	0,04
2s8p	$^3\text{P}_1$	0,05	0,05	0,05	0,04	0,04
2s8p	$^1\text{P}_1$	0,05	0,05	0,05	0,04	0,04
2p6d	$^1\text{P}_1$	0,05	0,05	0,05	0,04	0,04
2s9p	$^3\text{P}_1$	0,05	0,05	0,05	0,04	0,04
2s9p	$^1\text{P}_1$	0,05	0,05	0,05	0,04	0,04
2p5s	$^1\text{P}_1$	0,05	0,05	0,05	0,04	0,04
2p5d	$^3\text{P}_1$	0,05	0,05	0,05	0,04	0,04
2p6s	$^1\text{P}_1$	0,05	0,05	0,04	0,04	0,04
2p6d	$^3\text{P}_1$	0,05	0,05	0,04	0,04	0,04
2p7s	$^1\text{P}_1$	0,05	0,05	0,04	0,04	0,04
2p8s	$^1\text{P}_1$	0,05	0,05	0,04	0,04	0,04
2p9s	$^1\text{P}_1$	0,05	0,05	0,04	0,04	0,04
3s3p	$^3\text{P}_1$	0,05	0,04	0,04	0,04	0,04
3s3p	$^1\text{P}_1$	0,05	0,04	0,04	0,04	0,04
3s4p	$^3\text{P}_1$	0,04	0,04	0,04	0,04	0,04
3s4p	$^1\text{P}_1$	0,04	0,04	0,04	0,04	0,04
3d4p	$^3\text{P}_1$	0,04	0,04	0,04	0,04	0,04
3d4p	$^1\text{P}_1$	0,04	0,04	0,04	0,04	0,04
3s5p	$^3\text{P}_1$	0,04	0,04	0,04	0,04	0,04
3s5p	$^1\text{P}_1$	0,04	0,04	0,04	0,04	0,04
3d5p	$^1\text{P}_1$	0,04	0,04	0,04	0,04	0,04
3s6p	$^3\text{P}_1$	0,04	0,04	0,04	0,04	0,04
3s6p	$^1\text{P}_1$	0,04	0,04	0,04	0,04	0,04
3s7p	$^3\text{P}_1$	0,04	0,04	0,04	0,04	0,04
3s7p	$^1\text{P}_1$	0,04	0,04	0,04	0,04	0,04
3d6p	$^1\text{P}_1$	0,04	0,04	0,04	0,04	0,04
3s8p	$^3\text{P}_1$	0,04	0,04	0,04	0,04	0,04
3s8p	$^1\text{P}_1$	0,04	0,04	0,04	0,04	0,04
4s4p	$^3\text{P}_1$	0,04	0,04	0,04	0,04	0,04
3s9p	$^3\text{P}_1$	0,04	0,04	0,04	0,04	0,04
3s9p	$^1\text{P}_1$	0,04	0,04	0,04	0,04	0,04
3d7p	$^1\text{P}_1$	0,04	0,04	0,04	0,04	0,04

Tablo 3.3. (Devamı)

Seviye		$Es^{97+}(Z=99)$	$Fm^{98+}(Z=100)$	$Md^{99+}(Z=101)$	$No^{100+}(Z=102)$	$Lr^{101+}(Z=103)$
4s4p	1P_1	0,04	0,04	0,04	0,04	0,04
4p4d	3P_1	0,04	0,04	0,04	0,04	0,04
4p4d	3P_2	0,04	0,04	0,04	0,04	0,04
4p5s	3P_1	0,04	0,04	0,04	0,04	0,04
4s5p	3P_1	0,04	0,04	0,04	0,04	0,04
4s5p	1P_1	0,04	0,04	0,04	0,04	0,04
4p5d	1P_1	0,04	0,04	0,04	0,04	0,04
4p5s	1P_1	0,04	0,04	0,04	0,04	0,04
4d5p	3P_1	0,04	0,04	0,04	0,04	0,04
4p5d	3P_1	0,04	0,04	0,04	0,04	0,04
4d5p	1P_1	0,04	0,04	0,04	0,04	0,04
4p6s	3P_1	0,04	0,04	0,04	0,04	0,04
4s6p	3P_1	0,04	0,04	0,04	0,04	0,04
4s6p	1P_1	0,04	0,04	0,04	0,04	0,04
4p6s	1P_1	0,04	0,04	0,04	0,04	0,04
4d6p	3P_1	0,04	0,04	0,04	0,04	0,04
4d6p	1P_1	0,04	0,04	0,04	0,04	0,04
4p7s	3P_1	0,04	0,04	0,04	0,04	0,04
4s7p	3P_1	0,04	0,04	0,04	0,04	0,04
4s7p	1P_1	0,04	0,04	0,04	0,04	0,04
4p7s	1P_1	0,04	0,04	0,04	0,04	0,04
4p8s	3P_1	0,04	0,04	0,04	0,04	0,04
5s5p	3P_1	0,04	0,04	0,04	0,04	0,04
4d7p	1P_1	0,04	0,04	0,04	0,04	0,04
5s5p	1P_1	0,04	0,04	0,04	0,04	0,04
4s8p	3P_1	0,04	0,04	0,04	0,04	0,04
4s8p	1P_1	0,04	0,04	0,04	0,04	0,04
5p5d	3P_1	0,04	0,04	0,04	0,04	0,04
4p9s	3P_1	0,04	0,04	0,04	0,04	0,04
5p5d	1P_1	0,04	0,04	0,04	0,04	0,04
4p8s	1P_1	0,04	0,04	0,04	0,04	0,04
4d8p	3P_1	0,04	0,04	0,04	0,04	0,04
4s9p	3P_1	0,04	0,04	0,04	0,04	0,04
4d8p	1P_1	0,04	0,04	0,04	0,04	0,04
4s9p	1P_1	0,04	0,04	0,04	0,04	0,04
4p9s	1P_1	0,04	0,04	0,04	0,04	0,04
4d9p	3P_1	0,04	0,04	0,04	0,04	0,04
4d9p	1P_1	0,04	0,04	0,04	0,04	0,04

Tablo 3.3. (Devami)

Seviye	$Es^{97+}(Z=99)$	$Fm^{98+}(Z=100)$	$Md^{99+}(Z=101)$	$No^{100+}(Z=102)$	$Lr^{101+}(Z=103)$
5p6s	3P_1	0,04	0,04	0,04	0,04
5s6p	3P_1	0,04	0,04	0,04	0,04
5s6p	1P_1	0,04	0,04	0,04	0,04
5p6s	1P_1	0,04	0,04	0,04	0,04
5d6p	3P_1	0,04	0,04	0,04	0,04
5d6p	1P_1	0,04	0,04	0,04	0,04
5p7s	3P_1	0,04	0,04	0,04	0,04
5s7p	3P_1	0,04	0,04	0,04	0,04
5s7p	1P_1	0,04	0,04	0,04	0,04
5p7s	1P_1	0,04	0,04	0,04	0,04
5d7p	3P_1	0,04	0,04	0,04	0,04
5d7p	1P_1	0,04	0,04	0,04	0,04
5p8s	3P_1	0,04	0,04	0,04	0,04
5s8p	3P_1	0,04	0,04	0,04	0,04
6s6p	3P_1	0,04	0,04	0,04	0,04
5s8p	1P_1	0,04	0,04	0,04	0,04
5p8s	1P_1	0,04	0,04	0,04	0,04
6s6p	1P_1	0,04	0,04	0,04	0,04
5d8p	3P_1	0,04	0,04	0,04	0,04
5d8p	1P_1	0,04	0,04	0,04	0,04
5p9s	3P_1	0,04	0,04	0,04	0,04
5s9p	3P_1	0,04	0,04	0,04	0,04
5s9p	1P_1	0,04	0,04	0,04	0,04
5p9s	1P_1	0,04	0,04	0,04	0,04
5d9p	3P_1	0,04	0,04	0,04	0,04
5d9p	1P_1	0,04	0,04	0,04	0,04
6p7s	3P_1	0,04	0,04	0,04	0,04
6s7p	3P_1	0,04	0,04	0,04	0,04
6s7p	1P_1	0,04	0,04	0,04	0,04
6p7s	1P_1	0,04	0,04	0,04	0,04
6p8s	3P_1	0,04	0,04	0,04	0,04
6s8p	3P_1	0,04	0,04	0,04	0,04
6s8p	1P_1	0,04	0,04	0,04	0,04
6p8s	1P_1	0,04	0,04	0,04	0,04
7s7p	3P_1	0,04	0,04	0,04	0,04
7s7p	1P_1	0,04	0,04	0,04	0,04
6p9s	3P_1	0,04	0,04	0,04	0,04
6s9p	3P_1	0,04	0,04	0,04	0,04

Tablo 3.3. (Devamı)

Seviye		$Es^{97+}(Z=99)$	$Fm^{98+}(Z=100)$	$Md^{99+}(Z=101)$	$No^{100+}(Z=102)$	$Lr^{101+}(Z=103)$
6s9p	1P_1	0,04	0,04	0,04	0,04	0,04
6p9s	1P_1	0,04	0,04	0,04	0,04	0,04
7p8s	3P_1	0,04	0,04	0,04	0,04	0,04
7s8p	3P_1	0,04	0,04	0,04	0,04	0,04
7s8p	1P_1	0,04	0,04	0,04	0,04	0,04
7p8s	1P_1	0,04	0,04	0,04	0,04	0,04
7p9s	3P_1	0,04	0,04	0,04	0,04	0,04
7s9p	3P_1	0,04	0,04	0,04	0,04	0,04
7s9p	1P_1	0,04	0,04	0,04	0,04	0,04
7p9s	1P_1	0,04	0,04	0,04	0,04	0,04
8s8p	3P_1	0,04	0,04	0,04	0,04	0,04
8s8p	1P_1	0,04	0,04	0,04	0,04	0,04
8p9s	3P_1	0,04	0,04	0,04	0,04	0,04
8s9p	3P_1	0,04	0,04	0,04	0,04	0,04
8s9p	1P_1	0,04	0,04	0,04	0,04	0,04
8p9s	1P_1	0,04	0,04	0,04	0,04	0,04
E2 Geçişleri						
1s3d	3D_2	0,09	0,09	0,09	0,08	0,08
1s3d	1D_2	0,09	0,09	0,09	0,08	0,08
1s4d	3D_2	0,09	0,08	0,08	0,08	0,08
1s4d	1D_2	0,09	0,08	0,08	0,08	0,08
1s5d	3D_2	0,08	0,08	0,08	0,08	0,08
1s5d	1D_2	0,08	0,08	0,08	0,08	0,08
1s6d	3D_2	0,08	0,08	0,08	0,08	0,08
1s6d	1D_2	0,08	0,08	0,08	0,08	0,08
1s7d	3D_2	0,08	0,08	0,08	0,08	0,08
1s7d	1D_2	0,08	0,08	0,08	0,08	0,08
2p ²	1D_2	0,05	0,05	0,05	0,05	0,05
2p ²	3P_2	0,05	0,05	0,05	0,05	0,05
2p3p	3D_2	0,05	0,05	0,05	0,05	0,05
2p3p	3D_2	0,05	0,05	0,05	0,05	0,04
2p3p	3P_2	0,05	0,05	0,05	0,05	0,04
2p4p	3D_2	0,05	0,05	0,05	0,05	0,04
2p4f	3F_2	0,05	0,05	0,05	0,05	0,04
2p5p	3D_2	0,05	0,05	0,05	0,05	0,04
2p4p	3D_2	0,05	0,05	0,05	0,04	0,04
2p6p	3D_2	0,05	0,05	0,05	0,04	0,04
2p4p	3P_2	0,05	0,05	0,05	0,04	0,04

Tablo 3.3. (Devami)

Seviye		$E_{\text{S}}^{97+}(Z=99)$	$F_{\text{m}}^{98+}(Z=100)$	$M_{\text{d}}^{99+}(Z=101)$	$N_{\text{o}}^{100+}(Z=102)$	$L_{\text{r}}^{101+}(Z=103)$
2p4f	3F_2	0,05	0,05	0,05	0,04	0,04
2p4f	1D_2	0,05	0,05	0,05	0,04	0,04
2p7p	3D_2	0,05	0,05	0,05	0,04	0,04
2p8p	3D_2	0,05	0,05	0,05	0,04	0,04
2p9p	3D_2	0,05	0,05	0,05	0,04	0,04
2p5p	3D_2	0,05	0,05	0,05	0,04	0,04
2p5p	3P_2	0,05	0,05	0,05	0,04	0,04
2p6p	3D_2	0,05	0,05	0,04	0,04	0,04
2p6p	3P_2	0,05	0,05	0,04	0,04	0,04
2p7p	3D_2	0,05	0,05	0,04	0,04	0,04
2p7p	3P_2	0,05	0,05	0,04	0,04	0,04
2p8p	3D_2	0,05	0,05	0,04	0,04	0,04
2p8p	3P_2	0,05	0,05	0,04	0,04	0,04
2p9p	3D_2	0,05	0,05	0,04	0,04	0,04
3p ²	1D_2	0,05	0,04	0,04	0,04	0,04
3p ²	3P_2	0,05	0,04	0,04	0,04	0,04
3p4p	3D_2	0,04	0,04	0,04	0,04	0,04
3p4p	3D_2	0,04	0,04	0,04	0,04	0,04
3p4p	3P_2	0,04	0,04	0,04	0,04	0,04
3p5p	3D_2	0,04	0,04	0,04	0,04	0,04
3p5p	3D_2	0,04	0,04	0,04	0,04	0,04
3p5p	3P_2	0,04	0,04	0,04	0,04	0,04
3p6p	3D_2	0,04	0,04	0,04	0,04	0,04
3p6p	3D_2	0,04	0,04	0,04	0,04	0,04
3p7p	3D_2	0,04	0,04	0,04	0,04	0,04
3p6p	3P_2	0,04	0,04	0,04	0,04	0,04
3p8p	3D_2	0,04	0,04	0,04	0,04	0,04
3p7p	3D_2	0,04	0,04	0,04	0,04	0,04
3p7p	3P_2	0,04	0,04	0,04	0,04	0,04
3p9p	3D_2	0,04	0,04	0,04	0,04	0,04
4p ²	1D_2	0,04	0,04	0,04	0,04	0,04
3p8p	3D_2	0,04	0,04	0,04	0,04	0,04
3p8p	3P_2	0,04	0,04	0,04	0,04	0,04
4p ²	3P_2	0,04	0,04	0,04	0,04	0,04
3p9p	3D_2	0,04	0,04	0,04	0,04	0,04
3p9p	3P_2	0,04	0,04	0,04	0,04	0,04
4p5p	3D_2	0,04	0,04	0,04	0,04	0,04

Tablo 3.3. (Devamı)

Seviyeler		Es ⁹⁷⁺ (Z=99)	Fm ⁹⁸⁺ (Z=100)	Md ⁹⁹⁺ (Z=101)	No ¹⁰⁰⁺ (Z=102)	Lr ¹⁰¹⁺ (Z=103)
4p5p	¹ D ₂	0,04	0,04	0,04	0,04	0,04
4p5p	³ P ₂	0,04	0,04	0,04	0,04	0,04
4p6p	³ D ₂	0,04	0,04	0,04	0,04	0,04
4p6p	³ D ₂	0,04	0,04	0,04	0,04	0,04
4p6p	³ P ₂	0,04	0,04	0,04	0,04	0,04
4p7p	³ D ₂	0,04	0,04	0,04	0,04	0,04
4p7p	³ D ₂	0,04	0,04	0,04	0,04	0,04
4p7p	³ P ₂	0,04	0,04	0,04	0,04	0,04
4p8p	³ D ₂	0,04	0,04	0,04	0,04	0,04
4p8p	³ D ₂	0,04	0,04	0,04	0,04	0,04
4p8p	³ P ₂	0,04	0,04	0,04	0,04	0,04
4p9p	³ D ₂	0,04	0,04	0,04	0,04	0,04
4p9p	³ D ₂	0,04	0,04	0,04	0,04	0,04
4p9p	³ P ₂	0,04	0,04	0,04	0,04	0,04
M1 Geçişleri						
2p ²	³ P ₁	0,05	0,05	0,05	0,05	0,05
2p3p	³ P ₁	0,05	0,05	0,05	0,05	0,05
2p3p	³ P ₁	0,05	0,05	0,05	0,05	0,04
2p4p	³ P ₁	0,05	0,05	0,05	0,05	0,04
M2 Geçişleri						
1s2p	³ P ₂	0,11	0,1	0,1	0,1	0,1
1s3p	³ P ₂	0,09	0,09	0,09	0,09	0,08
1s4p	³ P ₂	0,09	0,09	0,08	0,08	0,08
1s5p	³ P ₂	0,09	0,08	0,08	0,08	0,08
1s6p	³ P ₂	0,08	0,08	0,08	0,08	0,08
1s7p	³ P ₂	0,08	0,08	0,08	0,08	0,08
1s8p	³ P ₂	0,08	0,08	0,08	0,08	0,08
1s7f	³ F ₂	0,08	----	---	----	----
1s9p	³ P ₂	0,08	0,08	0,08	0,08	0,08
2s2p	³ P ₂	0,05	0,05	0,05	0,05	0,05
2s3p	³ P ₂	0,05	0,05	0,05	0,05	0,05
2p3s	³ P ₂	0,05	0,05	0,05	0,05	0,04
2p4d	³ P ₂	0,05	0,05	0,05	0,04	0,04
2s5p	³ P ₂	0,05	0,05	0,05	0,04	0,04
2p4s	³ P ₂	0,05	0,05	0,05	0,04	0,04
2s6p	³ P ₂	0,05	0,05	0,05	0,04	0,04
2p5d	³ P ₂	0,05	0,05	0,05	0,04	0,04
2s7p	³ P ₂	0,05	0,05	0,05	0,04	0,04
2s8p	³ P ₂	0,05	0,05	0,05	0,04	0,04

Tablo 3.3. (Devamı)

Seviye		Es ⁹⁷⁺ (Z=99)	Fm ⁹⁸⁺ (Z=100)	Md ⁹⁹⁺ (Z=101)	No ¹⁰⁰⁺ (Z=102)	Lr ¹⁰¹⁺ (Z=103)
2p6d	³ P ₂	0,05	0,05	0,05	0,04	0,04
2s9p	³ P ₂	0,05	0,05	0,05	0,04	0,04
2p5s	³ P ₂	0,05	0,05	0,05	0,04	0,04
2p6s	³ P ₂	0,05	0,05	0,04	0,04	0,04
2p7s	³ P ₂	0,05	0,05	0,04	0,04	0,04
2p8s	³ P ₂	0,05	0,05	0,04	0,04	0,04
2p9s	³ P ₂	0,05	0,05	0,04	0,04	0,04
3s3p	³ P ₂	0,05	----	----	----	----
3s4p	³ P ₂	0,04	0,04	0,04	0,04	0,04
3s6p	³ P ₂	0,04	0,04	0,04	0,04	0,04
3s7p	³ P ₂	0,04	0,04	0,04	0,04	0,04
3s8p	³ P ₂	0,04	0,04	0,04	0,04	0,04
3s9p	³ P ₂	0,04	0,04	0,04	0,04	0,04
4s4p	³ P ₂	0,04	0,04	0,04	0,04	0,04
4p5s	³ P ₂	0,04	0,04	0,04	0,04	0,04
4s6p	³ P ₂	0,04	0,04	0,04	0,04	0,04
4p6s	³ P ₂	0,04	0,04	0,04	0,04	0,04
4s7p	³ P ₂	0,04	0,04	0,04	0,04	0,04
4p7s	³ P ₂	0,04	0,04	0,04	0,04	0,04
5s5p	³ P ₂	0,04	0,04	0,04	0,04	0,04
4s8p	³ P ₂	0,04	0,04	0,04	0,04	0,04
4p8s	³ P ₂	0,04	0,04	0,04	0,04	0,04
4d8p	³ P ₂	0,04	0,04	0,04	0,04	0,04
4s9p	³ P ₂	0,04	0,04	0,04	0,04	0,04
4p9s	³ P ₂	0,04	0,04	0,04	0,04	0,04
5p6s	³ P ₂	0,04	0,04	0,04	0,04	0,04
5p7s	³ P ₂	0,04	0,04	0,04	0,04	0,04
5s8p	³ P ₂	0,04	0,04	0,04	0,04	0,04
5p8s	³ P ₂	0,04	0,04	0,04	0,04	0,04
5s9p	³ P ₂	0,04	0,04	0,04	0,04	0,04
5p9s	³ P ₂	0,04	0,04	0,04	0,04	0,04
6p7s	³ P ₂	0,04	0,04	0,04	0,04	0,04
6p8s	³ P ₂	0,04	0,04	0,04	0,04	0,04
6s9p	³ P ₂	0,04	0,04	0,04	0,04	0,04
6p9s	³ P ₂	0,04	0,04	0,04	0,04	0,04
7s9p	³ P ₂	0,04	0,04	0,04	0,04	0,04
7p9s	³ P ₂	0,04	0,04	0,04	0,04	0,04
8s9p	³ P ₂	0,04	0,04	0,04	0,04	0,04
8p9s	³ P ₂	0,04	0,04	0,04	0,04	0,04

Tablo 3.4. Helyum benzeri Aynşṭaynium, Fermiyum, Mendelevium, Nobelyum, Lavrensiyum'um taban hale yapılan geçişlerinin salınıcı şiddeteleri

Seviye		Es ⁹⁷⁺ (Z=99)	Fm ⁹⁸⁺ (Z=100)	Md ⁹⁹⁺ (Z=101)	No ¹⁰⁰⁺ (Z=102)	Lr ¹⁰¹⁺ (Z=103)
E1 Geçişleri						
1s2p	³ P ₁	1,53366(-1)	1,50961(-1)	1,48532(-1)	1,46081(-1)	1,43610(-1)
1s2p	¹ P ₁	3,14096(-1)	3,09600(-1)	3,05093(-1)	3,00576(-1)	2,96050(-1)
1s3p	³ P ₁	7,51418(-3)	7,00466(-3)	6,50878(-3)	6,02701(-3)	5,55986(-3)
1s3p	¹ P ₁	3,75128(-2)	3,63052(-2)	3,51032(-2)	3,39073(-2)	3,27179(-2)
1s4p	³ P ₁	1,13118(-4)	6,59842(-5)	3,13319(-5)	9,37027(-6)	2,62703(-7)
1s4p	¹ P ₁	4,75677(-3)	4,34830(-3)	3,95390(-3)	3,57446(-3)	3,21024(-3)
1s5p	³ P ₁	5,45630(-4)	6,57834(-4)	7,81052(-4)	9,15537(-4)	1,06134(-3)
1s5p	¹ P ₁	4,01638(-5)	1,11890(-5)	1,05910(-7)	7,42379(-6)	3,36771(-5)
1s6p	³ P ₁	2,13457(-3)	2,34620(-3)	2,56878(-3)	2,80250(-3)	3,04750(-3)
1s6p	¹ P ₁	1,30547(-3)	1,53757(-3)	1,79076(-3)	2,06565(-3)	2,36270(-3)
1s7p	³ P ₁	4,68222(-3)	5,01004(-3)	5,35089(-3)	5,70464(-3)	6,07140(-3)
1s7p	¹ P ₁	5,70824(-3)	6,22819(-3)	6,77560(-3)	7,35050(-3)	7,95335(-3)
1s8p	³ P ₁	9,95493(-3)	1,05043(-2)	1,10706(-2)	1,16543(-2)	1,22564(-2)
1s8p	¹ P ₁	1,64575(-2)	1,75009(-2)	1,85826(-2)	1,97038(-2)	2,08665(-2)
1s9p	³ P ₁	3,15739(-2)	3,29737(-2)	3,44128(-2)	3,58890(-2)	3,74041(-2)
1s9p	¹ P ₁	6,59471(-2)	6,89966(-2)	7,21351(-2)	7,53580(-2)	7,86692(-2)
2s2p	³ P ₁	6,71820(-9)	1,00533(-8)	1,41136(-8)	1,87472(-8)	2,40757(-8)
2s2p	¹ P ₁	5,69276(-8)	4,88544(-8)	4,13618(-8)	3,47250(-8)	2,86312(-8)
2p3s	³ P ₁	1,75205(-7)	1,80430(-7)	1,85868(-7)	1,91519(-7)	1,96852(-7)
2s3p	³ P ₁	1,23778(-7)	1,29525(-7)	1,35268(-7)	1,41192(-7)	1,46763(-7)
2s3p	¹ P ₁	1,31875(-7)	1,41868(-7)	1,51644(-7)	1,62414(-7)	1,72504(-7)
2p3d	¹ P ₁	1,19854(-8)	1,14746(-8)	1,10463(-8)	1,06569(-8)	1,02091(-8)
2p3s	¹ P ₁	7,99327(-8)	8,19816(-8)	8,41435(-8)	8,64206(-8)	8,84341(-8)
2p3d	³ P ₁	5,25566(-9)	4,91839(-9)	4,64456(-9)	4,40208(-9)	4,11566(-9)
2p4s	³ P ₁	4,34303(-7)	4,44470(-7)	4,54924(-7)	4,64561(-7)	4,76521(-7)
2s4p	³ P ₁	5,29930(-8)	5,33000(-8)	5,41506(-8)	5,41335(-8)	5,48859(-8)
2s4p	¹ P ₁	7,02180(-8)	7,12115(-8)	7,29115(-8)	7,32439(-8)	7,49008(-8)
2p4d	¹ P ₁	2,33686(-8)	2,28982(-8)	2,21162(-8)	2,13761(-8)	2,10575(-8)
2p5s	³ P ₁	3,44863(-7)	3,49444(-7)	3,53009(-7)	3,56785(-7)	3,58914(-7)
2s5p	³ P ₁	1,04537(-7)	1,06109(-7)	1,05831(-7)	1,07316(-7)	1,07240(-7)
2s5p	¹ P ₁	1,39204(-7)	1,41645(-7)	1,40949(-7)	1,42987(-7)	1,42942(-7)
2p4s	¹ P ₁	1,80633(-7)	1,81176(-7)	1,80438(-7)	1,79226(-7)	1,67965(-7)
2p6s	³ P ₁	3,49766(-7)	3,50859(-7)	3,54234(-7)	3,55826(-7)	3,71132(-7)
2p4d	³ P ₁	7,84344(-9)	6,64303(-9)	5,78593(-9)	5,18824(-9)	4,59256(-9)
2s6p	³ P ₁	1,95383(-7)	1,96933(-7)	2,02030(-7)	2,04915(-7)	2,07947(-7)
2s6p	¹ P ₁	3,15941(-7)	3,18477(-7)	3,26805(-7)	3,31076(-7)	3,35101(-7)

Tablo 3.4. (Devami)

Seviye		Es ⁹⁷⁺ (Z=99)	Fm ⁹⁸⁺ (Z=100)	Md ⁹⁹⁺ (Z=101)	No ¹⁰⁰⁺ (Z=102)	Lr ¹⁰¹⁺ (Z=103)
2p5d	¹ P ₁	4,52543(-8)	4,34352(-8)	4,21331(-8)	4,08239(-8)	4,00326(-8)
2p7s	³ P ₁	4,02927(-7)	4,02552(-7)	3,98216(-7)	3,97510(-7)	3,97676(-7)
2s7p	³ P ₁	2,51576(-7)	2,57426(-7)	2,73666(-7)	6,72927(-9)	2,06207(-7)
2s7p	¹ P ₁	4,06155(-7)	3,15328(-7)	4,52927(-7)	4,61587(-7)	4,56073(-7)
2p8s	³ P ₁	5,72791(-7)	6,54121(-7)	4,96264(-7)	7,53097(-7)	5,59491(-7)
2p9s	³ P ₁	1,13970(-6)	1,12984(-6)	1,11831(-6)	1,10709(-6)	1,08674(-6)
2s8p	³ P ₁	3,78861(-7)	3,75207(-7)	3,72023(-7)	3,69384(-7)	3,63993(-7)
2s8p	¹ P ₁	7,62755(-7)	7,54896(-7)	7,47944(-7)	7,42425(-7)	7,32282(-7)
2p6d	¹ P ₁	5,38342(-8)	5,16773(-8)	5,00435(-8)	4,75837(-8)	4,58060(-8)
2s9p	³ P ₁	1,17467(-6)	1,16921(-6)	1,16741(-6)	1,16785(-6)	1,15382(-6)
2s9p	¹ P ₁	2,53720(-6)	2,52643(-6)	2,52178(-6)	2,52144(-6)	2,49204(-6)
2p5s	¹ P ₁	2,13923(-7)	2,05673(-7)	2,00932(-7)	1,96971(-7)	1,94945(-7)
2p5d	³ P ₁	1,84027(-8)	1,72191(-8)	1,64281(-8)	1,54759(-8)	1,50517(-8)
2p6s	¹ P ₁	2,23760(-7)	2,20754(-7)	2,17025(-7)	2,14024(-7)	2,10244(-7)
2p6d	³ P ₁	2,06756(-8)	2,01246(-8)	1,93558(-8)	1,88111(-8)	1,80303(-8)
2p7s	¹ P ₁	2,75017(-7)	2,70139(-7)	2,62356(-7)	2,57552(-7)	2,55048(-7)
2p8s	¹ P ₁	3,96554(-7)	3,85965(-7)	3,81428(-7)	3,70829(-7)	3,58592(-7)
2p9s	¹ P ₁	9,04806(-7)	8,76545(-7)	8,48262(-7)	8,21482(-7)	7,99267(-7)
3s3p	³ P ₁	7,84826(-8)	9,41363(11)	8,12195(-8)	8,26896(-8)	8,40452(-8)
3s3p	¹ P ₁	8,97780(-8)	9,09717(-8)	9,30072(-8)	9,45384(-8)	9,65037(-8)
3s4p	³ P ₁	3,97161(-8)	3,96859(-8)	3,94583(-8)	3,96879(-8)	3,91441(-8)
3s4p	¹ P ₁	4,38513(-8)	4,35596(-8)	4,31945(-8)	4,32402(-8)	4,25630(-8)
3d4p	³ P ₁	4,82254(-10)	4,52089(-10)	4,40782(-10)	4,53364(-10)	4,23986(-10)
3d4p	¹ P ₁	5,20409(-10)	4,71458(-10)	4,68066(-10)	4,64225(-10)	4,41742(-10)
3s5p	³ P ₁	3,44331(-8)	3,37497(-8)	3,38433(-8)	3,32333(-8)	3,31319(-8)
3s5p	¹ P ₁	4,61037(-8)	4,49886(-8)	4,50807(-8)	4,40369(-8)	4,37105(-8)
3d5p	¹ P ₁	1,41964(-10)	1,29079(-10)	1,30074(-10)	1,14691(-10)	1,07459(-10)
3s6p	³ P ₁	4,51917(-8)	4,55934(-8)	4,57970(-8)	4,53572(-8)	4,65280(-8)
3s6p	¹ P ₁	7,29363(-8)	7,40586(-8)	7,43487(-8)	7,34886(-8)	7,54840(-8)
3s7p	³ P ₁	4,69879(-8)	4,61410(-8)	4,60259(-8)	4,50273(-8)	4,38756(-8)
3s7p	¹ P ₁	8,40891(-8)	8,27514(-8)	8,26086(-8)	8,04401(-8)	7,86629(-8)
3d6p	¹ P ₁	1,13881(-10)	1,10260(-10)	1,06530(-10)	-----	-----
3s8p	³ P ₁	6,30701(-8)	6,24203(-8)	6,07030(-8)	6,00514(-8)	5,87476(-8)
3s8p	¹ P ₁	1,22517(-7)	1,20599(-7)	1,17708(-7)	1,15948(-7)	1,13341(-7)
4s4p	³ P ₁	6,86906(-8)	6,90808(-8)	6,95741(-8)	7,13290(-8)	7,18823(-8)
3s9p	³ P ₁	1,69633(-7)	1,69610(-7)	1,64875(-7)	1,63904(-7)	1,64798(-7)
3s9p	¹ P ₁	3,82580(-7)	3,81929(-7)	3,72041(-7)	3,70425(-7)	3,71373(-7)
3d7p	¹ P ₁	1,23178(-10)	1,07306(-10)	1,01398(-10)	-----	-----

Tablo 3.4. (Devami)

Seviye		$Es^{97+}(Z=99)$	$Fm^{98+}(Z=100)$	$Md^{99+}(Z=101)$	$No^{100+}(Z=102)$	$Lr^{101+}(Z=103)$
4s4p	1P_1	3,88877(-8)	3,65753(-8)	3,51889(-8)	3,36916(-9)	3,10773(-8)
4p4d	3P_1	2,20949(-8)	2,29841(-8)	2,46123(-8)	2,67115(-8)	2,82320(-8)
4p4d	3P_1	2,97373(-9)	2,79770(-9)	2,82640(-9)	2,76350(-9)	2,55058(-9)
4p5s	3P_1	4,75440(-8)	4,86195(-8)	4,88689(-8)	4,85225(-8)	4,91603(-8)
4s5p	3P_1	2,71852(-8)	2,79465(-8)	2,76309(-8)	2,76381(-8)	2,74011(-8)
4s5p	1P_1	2,07573(-8)	1,77158(-8)	1,21417(-8)	2,65234(-8)	3,06028(-8)
4p5d	1P_1	1,22303(-8)	1,63049(-8)	2,08944(-8)	6,58436(-9)	2,17318(-9)
4p5s	1P_1	4,88795(-8)	4,96243(-8)	4,82389(-8)	4,83960(-8)	4,77004(-8)
4d5p	3P_1	2,81930(-9)	2,83515(-9)	2,63060(-9)	2,58741(-9)	2,50795(-9)
4p5d	3P_1	2,39475(-9)	2,46308(-9)	2,22074(-9)	2,24631(-9)	2,24374(-9)
4d5p	1P_1	1,90434(-9)	1,89459(-9)	1,68410(-9)	1,70246(-9)	1,63472(-9)
4p6s	3P_1	4,65963(-8)	4,67081(-8)	4,60541(-8)	4,67867(-8)	4,61515(-8)
4s6p	3P_1	2,56034(-8)	2,57732(-8)	2,58634(-8)	2,61802(-8)	2,61388(-8)
4s6p	1P_1	3,94062(-8)	3,91350(-8)	3,93951(-8)	3,94431(-8)	3,96408(-8)
4p6s	1P_1	4,41391(-8)	4,33276(-8)	4,28630(-8)	4,24906(-8)	4,21400(-8)
4d6p	3P_1	6,07651(-10)	5,73956(-10)	5,10818(-10)	5,29572(-10)	4,65379(-10)
4d6p	1P_1	7,13464(-10)	6,30914(-10)	5,94261(-10)	6,02786(-10)	5,55934(-10)
4p7s	3P_1	4,72009(-8)	4,78618(-8)	4,79255(-8)	4,77915(-8)	4,78067(-8)
4s7p	3P_1	2,14509(-8)	2,10866(-8)	2,13461(-8)	2,04462(-8)	2,12698(-8)
4s7p	1P_1	3,73167(-8)	3,62063(-8)	3,69162(-8)	3,47091(-8)	3,64062(-8)
4p7s	1P_1	4,36989(-8)	4,28013(-8)	4,27732(-8)	4,11132(-8)	4,16048(-8)
4p8s	3P_1	5,93618(-8)	5,74447(-8)	5,76905(-8)	5,78214(-8)	5,59438(-8)
5s5p	3P_1	1,87078(-8)	1,85477(-8)	1,79708(-8)	1,75796(-8)	1,77283(-8)
4d7p	1P_1	2,81194(-10)	2,61094(-10)	2,53348(-10)	2,20419(-10)	2,60823(-10)
5s5p	1P_1	1,84963(-8)	1,77070(-8)	1,70691(-8)	1,65487(-8)	1,60301(-8)
4s8p	3P_1	2,54359(-8)	2,48549(-8)	2,39339(-8)	2,47490(-8)	2,31081(-8)
4s8p	1P_1	4,29730(-8)	4,307188(-8)	4,20393(-8)	4,35957(-8)	4,05811(-8)
5p5d	3P_1	1,39792(-8)	1,24418(-8)	1,16705(-8)	1,07977(-8)	9,93585(-9)
4p9s	3P_1	1,09421(-7)	1,09160(-7)	1,08024(-7)	1,03431(-7)	1,06772(-7)
5p5d	1P_1	2,93411(-9)	2,38488(-9)	2,42375(-9)	2,19598(-9)	1,88299(-9)
4p8s	1P_1	5,60659(-8)	5,53259(-8)	5,50506(-8)	5,30618(-8)	5,14243(-8)
4d8p	3P_1	3,07597(-10)	2,50221(-10)	2,45929(-10)	2,22660(-10)	1,90918(-10)
4s9p	3P_1	5,99584(-8)	5,92226(-8)	5,98897(-8)	5,62958(-8)	5,81140(-8)
4d8p	1P_1	7,74032(-10)	1,05166(-7)	1,19758(-7)	1,42407(-9)	9,49781(-10)
4s9p	1P_1	1,24122(-7)	1,63517(-8)	2,82120(-9)	1,13935(-7)	1,16731(-7)
4p9s	1P_1	1,18008(-7)	1,11709(-7)	1,10560(-7)	1,06370(-7)	1,03997(-7)
4d9p	3P_1	1,35702(-10)	1,22466(-10)	1,19748(-10)	1,00409(-10)	1,14674(-10)
4d9p	1P_1	3,21877(-10)	2,71152(-10)	2,69455(-10)	2,31939(-10)	2,36197(-10)

Tablo 3.4. (Devami)

Seviye		Es ⁹⁷⁺ (Z=99)	Fm ⁹⁸⁺ (Z=100)	Md ⁹⁹⁺ (Z=101)	No ¹⁰⁰⁺ (Z=102)	Lr ¹⁰¹⁺ (Z=103)
5p6s	³ P ₁	1,58532(-8)	1,56827(-8)	1,54553(-8)	1,52892(-8)	1,58778(-8)
5s6p	³ P ₁	1,28391(-8)	1,28091(-8)	1,29723(-8)	1,28309(-8)	1,34633(-8)
5s6p	¹ P ₁	1,95147(-8)	1,89680(-8)	1,93235(-8)	1,94271(-8)	1,99363(-8)
5p6s	¹ P ₁	2,87074(-8)	2,78765(-8)	2,75479(-8)	2,76249(-8)	2,79996(-8)
5d6p	³ P ₁	3,01959(-9)	2,94453(-9)	2,79889(-9)	2,60942(-9)	2,81895(-9)
5d6p	¹ P ₁	1,64471(-9)	1,53169(-9)	1,47032(-9)	1,40221(-9)	1,43875(-9)
5p7s	³ P ₁	1,58261(-8)	1,58768(-8)	1,60349(-8)	1,55497(-8)	1,51069(-8)
5s7p	³ P ₁	1,05028(-8)	1,01720(-8)	1,02844(-8)	9,95100(-9)	9,71251(-9)
5s7p	¹ P ₁	2,11917(-8)	1,98952(-8)	2,02853(-8)	1,98462(-8)	1,96593(-8)
5p7s	¹ P ₁	2,44314(-8)	2,33789(-8)	2,39173(-8)	2,32610(-8)	2,31464(-8)
5d7p	³ P ₁	8,24463(-10)	8,40779(-10)	8,37768(-10)	7,23184(-10)	6,96922(-10)
5d7p	¹ P ₁	8,20829(-10)	7,97936(-10)	8,16104(-10)	7,45818(-10)	7,51762(-10)
5p8s	³ P ₁	1,72287(-8)	1,69239(-8)	1,76182(-8)	1,65081(-8)	1,59896(-8)
5s8p	³ P ₁	1,04000(-8)	1,08241(-8)	1,09652(-8)	1,04131(-8)	1,00241(-8)
6s6p	³ P ₁	5,99898(-9)	5,66263(-9)	5,98822(-9)	5,86917(-9)	5,65418(-9)
5s8p	¹ P ₁	2,70932(-8)	2,78881(-8)	2,70974(-8)	2,56385(-8)	2,46669(-8)
5p8s	¹ P ₁	6,46486(-9)	7,50439(-9)	7,46831(-9)	7,62331(-9)	8,34744(-9)
6s6p	¹ P ₁	3,76849(-8)	3,58945(-8)	3,49688(-8)	3,25209(-8)	3,08442(-8)
5d8p	³ P ₁	5,85890(-10)	5,56132(-10)	5,59367(-10)	4,69822(-10)	4,35644(-10)
5d8p	¹ P ₁	6,94540(-10)	6,98366(-10)	6,16241(-10)	5,46954(-10)	5,21294(-10)
5p9s	³ P ₁	2,71970(-8)	2,56163(-8)	2,45952(-8)	2,41815(-8)	2,39038(-8)
5s9p	³ P ₁	2,26452(-8)	2,04138(-8)	2,05460(-8)	1,97532(-8)	1,81481(-8)
5s9p	¹ P ₁	4,45452(-8)	4,03666(-8)	4,08888(-8)	3,89677(-8)	3,47355(-8)
5p9s	¹ P ₁	4,74588(-8)	4,52590(-8)	4,45360(-8)	4,36623(-8)	3,95441(-8)
5d9p	³ P ₁	4,25841(-10)	3,91024(-10)	3,50101(-10)	3,51270(-10)	3,32260(-10)
5d9p	¹ P ₁	6,79313(-10)	6,75561(-10)	6,33522(-10)	6,29758(-10)	5,34539(-10)
6p7s	³ P ₁	7,37110(-9)	7,25776(-9)	7,49608(-9)	7,41828(-9)	7,24365(-9)
6s7p	³ P ₁	5,69233(-9)	5,86356(-9)	5,63751(-9)	5,79077(-9)	5,43939(-9)
6s7p	¹ P ₁	9,69708(-9)	1,02642(-8)	9,12043(-9)	5,79077(-9)	8,99411(-9)
6p7s	¹ P ₁	2,14226(-8)	2,17525(-8)	1,99212(-8)	1,99570(-8)	1,88150(-8)
6p8s	³ P ₁	8,32207(-9)	7,90318(-9)	7,49563(-9)	7,06420(-9)	7,56231(-9)
6s8p	³ P ₁	6,78249(-9)	6,24723(-9)	6,29553(-9)	5,94092(-9)	6,45370(-9)
6s8p	¹ P ₁	1,54733(-8)	1,41621(-8)	1,46056(-8)	1,38352(-8)	1,49650(-8)
6p8s	¹ P ₁	1,84805(-8)	1,71156(-8)	1,72938(-8)	1,62216(-8)	1,76205(-8)
7s7p	³ P ₁	4,84679(-9)	4,65255(-9)	4,34419(-9)	4,12728(-9)	5,02500(-9)
7s7p	¹ P ₁	1,15433(-8)	1,11008(-8)	1,08169(-8)	1,02309(-8)	1,04415(-8)
6p9s	³ P ₁	9,33413(-9)	8,87410(-9)	9,30176(-9)	8,75528(-9)	8,91890(-9)
6s9p	³ P ₁	2,04667(-8)	1,99833(-8)	2,07439(-8)	1,91307(-8)	2,01824(-8)

Tablo 3.4. (Devami)

Seviye		$E_{\text{S}}^{97+}(Z=99)$	$F_{\text{m}}^{98+}(Z=100)$	$M_{\text{d}}^{99+}(Z=101)$	$N_{\text{o}}^{100+}(Z=102)$	$L_{\text{r}}^{101+}(Z=103)$
6s9p	$^1\text{P}_1$	3,91160(-8)	3,79529(-8)	3,74049(-8)	3,40958(-8)	3,64046(-8)
6p9s	$^1\text{P}_1$	3,68066(-8)	3,54017(-8)	3,31137(-8)	3,05001(-8)	3,23425(-8)
7p8s	$^3\text{P}_1$	3,96905(-9)	4,15469(-9)	4,27153(-9)	4,27453(-9)	3,96945(-9)
7s8p	$^3\text{P}_1$	5,03461(-9)	5,08978(-9)	5,14840(-9)	5,20307(-9)	4,93299(-9)
7s8p	$^1\text{P}_1$	8,38674(-9)	8,58761(-9)	8,02103(-9)	8,16647(-9)	7,86100(-9)
7p8s	$^1\text{P}_1$	2,12871(-8)	2,19780(-8)	1,90738(-8)	1,91468(-8)	1,86568(-8)
7p9s	$^3\text{P}_1$	4,03484(-10)	3,40762(-10)	2,84190(-10)	2,63753(-10)	2,05526(-10)
7s9p	$^3\text{P}_1$	1,55394(-8)	1,51862(-8)	1,55900(-8)	1,50292(-8)	1,49170(-8)
7s9p	$^1\text{P}_1$	2,12783(-8)	2,07663(-8)	2,18726(-8)	2,08620(-8)	2,08975(-8)
7p9s	$^1\text{P}_1$	2,70085(-8)	2,59419(-8)	2,77846(-8)	2,65737(-8)	2,65280(-8)
8s8p	$^3\text{P}_1$	4,04243(-9)	3,74105(-9)	4,40508(-9)	4,05760(-9)	4,01760(-9)
8s8p	$^1\text{P}_1$	1,73012(-8)	1,59564(-8)	1,58755(-8)	1,45123(-8)	1,42168(-8)
8p9s	$^3\text{P}_1$	7,18360(-9)	6,94131(-9)	7,16656(-9)	6,97279(-9)	7,17244(-9)
8s9p	$^3\text{P}_1$	1,36241(-8)	1,35577(-8)	1,44041(-8)	1,39016(-8)	1,38656(-8)
8s9p	$^1\text{P}_1$	3,24253(-10)	3,13137(-10)	3,01393(-10)	3,40275(-10)	4,02144(-10)
8p9s	$^1\text{P}_1$	1,28234(-8)	1,22155(-8)	1,22656(-8)	1,09224(-8)	1,05321(-8)
E2 Geçişleri						
1s3d	$^3\text{D}_2$	7,31828(-3)	7,64431(-3)	7,98654(-3)	8,34603(-3)	8,72368(-3)
1s3d	$^1\text{D}_2$	8,63197(-3)	8,95309(-3)	9,28734(-3)	9,63556(-3)	9,99835(-3)
1s4d	$^3\text{D}_2$	1,12141(-2)	1,18846(-2)	1,25953(-2)	1,33475(-2)	1,41446(-2)
1s4d	$^1\text{D}_2$	1,40392(-2)	1,48146(-2)	1,56334(-2)	1,64964(-2)	1,74076(-2)
1s5d	$^3\text{D}_2$	2,15314(-2)	2,29618(-2)	2,44776(-2)	2,60871(-2)	2,77925(-2)
1s5d	$^1\text{D}_2$	2,89559(-2)	3,08194(-2)	3,27912(-2)	3,48821(-2)	3,70948(-2)
1s6d	$^3\text{D}_2$	4,73530(-2)	5,05309(-2)	5,38943(-2)	5,74531(-2)	6,12181(-2)
1s6d	$^1\text{D}_2$	6,88183(-2)	7,34073(-2)	7,82639(-2)	8,34031(-2)	8,88407(-2)
1s7d	$^3\text{D}_2$	1,24344(-1)	1,32348(-1)	1,40806(-1)	1,49728(-1)	1,59128(-1)
1s7d	$^1\text{D}_2$	1,99239(-1)	2,12187(-1)	2,25881(-1)	2,40335(-1)	2,55578(-1)
2p ²	$^1\text{D}_2$	7,50004(-7)	7,71307(-7)	7,93128(-7)	8,14728(-7)	8,37872(-7)
2p ²	$^3\text{P}_2$	6,56024(-8)	6,57840(-8)	6,60011(-8)	6,61257(-8)	6,63594(-8)
2p3p	$^3\text{D}_2$	1,36454(-6)	1,41510(-6)	1,46900(-6)	1,52580(-6)	1,57691(-6)
2p3p	$^3\text{D}_2$	1,15190(-6)	3,27192(10)	1,20272(-6)	1,22777(-6)	1,25417(-6)
2p3p	$^3\text{P}_2$	4,19257(-7)	4,26143(-7)	4,34698(-7)	7,69042(-8)	4,50161(-7)
2p4p	$^3\text{D}_2$	2,37119(-6)	2,45161(-6)	2,53624(-6)	2,62042(-6)	2,72047(-6)
2p4f	$^3\text{F}_2$	3,00356(-8)	3,03127(-8)	3,05023(-8)	3,00426(-8)	3,13865(-8)
2p5p	$^3\text{D}_2$	4,13340(-6)	4,30718(-6)	4,46628(-6)	4,63298(-6)	4,75558(-6)
2p4p	$^3\text{D}_2$	8,61112(-6)	1,39949(-6)	1,12286(-6)	5,43471(-6)	9,31151(-6)
2p6p	$^3\text{D}_2$	1,46856(-6)	8,97028(-6)	9,63815(-6)	5,61825(-6)	2,17821(-6)
2p4p	$^3\text{P}_2$	8,93385(-7)	8,67824(-7)	8,62436(-7)	8,69079(-7)	8,74791(-7)

Tablo 3.4. (Devami)

Seviye		$E_{\text{S}}^{97+}(Z=99)$	$F_{\text{m}}^{98+}(Z=100)$	$M_{\text{d}}^{99+}(Z=101)$	$N_{\text{o}}^{100+}(Z=102)$	$L_{\text{r}}^{101+}(Z=103)$
2p4f	3F_2	3,24683(-9)	3,41442(-9)	3,28586(-9)	3,30719(-9)	3,32674(-9)
2p4f	1D_2	1,94575(-8)	2,09103(-8)	2,07968(-8)	2,19969(-8)	2,49313(-8)
2p7p	3D_2	2,07656(-5)	2,13893(-5)	2,16492(-5)	2,23503(-5)	2,30834(-5)
2p8p	3D_2	7,09187(-5)	7,27117(-5)	7,54287(-5)	7,72303(-5)	7,90759(-5)
2p9p	3D_2	7,08839(-4)	7,21866(-4)	7,33358(-4)	7,45257(-4)	7,52522(-4)
2p5p	3D_2	4,25436(-6)	4,23268(-6)	4,24557(-6)	4,24032(-6)	4,28344(-6)
2p5p	3P_2	1,56800(-6)	1,58339(-6)	1,61279(-6)	1,62636(-6)	1,66638(-6)
2p6p	3D_2	5,33717(-6)	5,42958(-6)	5,48973(-6)	5,57299(-6)	5,61777(-6)
2p6p	3P_2	3,15699(-6)	3,21826(-6)	3,25487(-6)	3,31012(-6)	3,33321(-6)
2p7p	3D_2	1,07590(-5)	1,09024(-5)	1,08526(-5)	1,09871(-5)	1,12685(-5)
2p7p	3P_2	7,71540(-6)	7,83553(-6)	7,77341(-6)	7,88898(-6)	8,13271(-6)
2p8p	3D_2	3,11370(-5)	3,12237(-5)	3,20146(-5)	3,20033(-5)	3,17388(-5)
2p8p	3P_2	2,63349(-5)	2,64325(-5)	2,71719(-5)	2,71820(-5)	2,69478(-5)
2p9p	3D_2	2,51709(-4)	2,50849(-4)	2,49325(-4)	2,48355(-4)	2,48662(-4)
2p9p	3P_2	2,71797(-4)	2,70775(-4)	2,69129(-4)	2,67971(-4)	2,68171(-4)
3p ²	1D_2	8,34386(-7)	8,55051(-7)	8,77476(-7)	8,98130(-7)	9,17353(-7)
3p ²	3P_2	1,97358(-7)	2,00230(-7)	2,04783(-7)	2,07957(-7)	2,11422(-7)
3p4p	3D_2	8,04141(-7)	8,23744(-7)	8,40989(-7)	8,71831(-7)	8,87936(-7)
3p4p	3D_2	7,66860(-7)	7,754018(-7)	7,90833(-7)	8,11427(-7)	8,21769(-7)
3p4p	3P_2	4,21893(-7)	4,23589(-7)	4,31416(-7)	4,42410(-7)	4,48428(-7)
3p5p	3D_2	1,02835(-6)	1,05812(-6)	1,09210(-6)	1,09432(-6)	1,14025(-6)
3p5p	3D_2	9,34994(-7)	9,42541(-7)	9,63352(-7)	9,70553(-7)	9,85644(-7)
3p5p	3P_2	5,81752(-7)	5,87019(-7)	6,02408(-7)	6,08452(-7)	6,20358(-7)
3p6p	3D_2	2,00194(-6)	2,03872(-6)	2,07271(-6)	2,09173(-6)	2,17415(-6)
3p6p	3D_2	9,21005(-7)	8,53551(-7)	6,92858(-7)	4,52032(-7)	1,84525(-7)
3p7p	3D_2	4,43388(-6)	4,76876(-6)	5,26998(-6)	5,72102(-6)	5,86205(-6)
3p6p	3P_2	1,55588(-6)	1,25092(-6)	1,18824(-6)	1,13940(-6)	1,12842(-6)
3p8p	3D_2	1,39436(-5)	1,47089(-5)	1,44701(-5)	1,48104(-5)	1,51530(-5)
3p7p	3D_2	2,41253(-6)	2,23666(-6)	2,09586(-6)	1,95632(-6)	1,63904(-6)
3p7p	3P_2	2,29178(-6)	2,22826(-6)	2,20640(-6)	2,20221(-6)	2,00999(-6)
3p9p	3D_2	1,34441(-4)	1,37033(-4)	1,38130(-4)	1,37917(-4)	1,40677(-4)
4p ²	1D_2	2,37528(-7)	2,96346(-7)	3,55890(-7)	4,06128(-7)	4,33843(-7)
3p8p	3D_2	9,71888(-6)	9,89723(-6)	9,84710(-6)	9,57944(-6)	1,01108(-5)
3p8p	3P_2	7,81202(-6)	8,01028(-6)	7,97692(-6)	7,73284(-6)	8,27472(-6)
4p ²	3P_2	8,05957(-8)	8,11592(-8)	8,69665(-8)	8,71103(-8)	8,78338(-8)
3p9p	3D_2	6,94569(-5)	6,88715(-5)	6,95702(-5)	7,05730(-5)	6,80216(-5)
3p9p	3P_2	7,60691(-5)	7,53920(-5)	7,60882(-5)	7,70774(-5)	7,43441(-5)
4p5p	3D_2	3,19525(-7)	3,30233(-7)	3,35700(-7)	3,24499(-7)	3,41658(-7)

Tablo 3.4. (Devamı)

Seviye	$Es^{97+}(Z=99)$	$Fm^{98+}(Z=100)$	$Md^{99+}(Z=101)$	$No^{100+}(Z=102)$	$Lr^{101+}(Z=103)$
4p5p	1D_2	9,64502(-7)	1,00571(-6)	1,01407(-6)	1,04397(-6)
4p5p	3P_2	4,06650(-7)	4,23751(-7)	4,11399(-7)	4,28466(-7)
4p6p	3D_2	8,58257(-7)	8,63696(-7)	8,42567(-7)	8,95530(-7)
4p6p	3D_2	8,51621(-7)	8,40386(-7)	8,43951(-7)	8,72471(-7)
4p6p	3P_2	5,67925(-7)	5,51964(-7)	5,52510(-7)	5,66396(-7)
4p7p	3D_2	1,61176(-6)	1,75580(-6)	1,76625(-6)	1,80491(-6)
4p7p	3D_2	1,26377(-6)	1,27692(-6)	1,28546(-6)	1,27671(-6)
4p7p	3P_2	1,02301(-6)	1,02753(-6)	1,03605(-6)	1,02268(-6)
4p8p	3D_2	5,73101(-6)	5,41474(-6)	5,69925(-6)	5,89465(-6)
4p8p	3D_2	3,43696(-6)	3,50237(-6)	3,62656(-6)	3,52344(-6)
4p8p	3P_2	3,20805(-6)	3,30264(-6)	3,43562(-6)	3,31935(-6)
4p9p	3D_2	4,69449(-5)	4,77314(-5)	8,24994(-8)	4,67971(-5)
4p9p	3D_2	2,71392(-5)	2,60932(-5)	2,62562(-5)	2,59469(-5)
4p9p	3P_2	3,04063(-5)	2,91710(-5)	2,93343(-5)	2,89581(-5)
M1 Geçişleri					
2p ²	3P_1	1,17676(-9)	1,22508(-9)	1,27531(-9)	1,32699(-9)
2p3p	3P_1	2,76551(-10)	2,90947(-10)	3,04329(-10)	3,17671(-10)
2p3p	3P_1	1,81491(-10)	1,86742(-10)	1,92130(-10)	1,97534(-10)
2p4p	3P_1	1,02804(-10)	1,06272(-10)	1,10245(-10)	1,13851(-10)
M2 Geçişleri					
1s2p	3P_2	3,03100(-3)	3,13197(-3)	3,23435(-3)	3,33806(-3)
1s2p	3P_2	4,78922(-4)	4,85456(-4)	4,91430(-4)	4,96798(-4)
1s4p	3P_2	6,45452(-5)	6,16556(-5)	5,85476(-5)	5,52381(-5)
1s5p	3P_2	3,60641(-7)	5,81705(-8)	1,92490(-8)	2,91960(-7)
1s6p	3P_2	2,12244(-5)	2,60436(-5)	3,16125(-5)	3,80126(-5)
1s7p	3P_2	9,05442(-5)	1,03332(-4)	1,17548(-4)	1,33311(-4)
1s8p	3P_2	2,59736(-4)	2,89117(-4)	3,21232(-4)	3,56303(-4)
1s7f	3F_2	_____	_____	_____	4,22328(-10)
1s9p	3P_2	1,03666(-3)	1,13575(-3)	1,24298(-3)	1,35879(-3)
2s2p	3P_2	3,52477(-8)	3,53838(-8)	3,54670(-8)	3,55652(-8)
2s3p	3P_2	3,13999(-10)	4,71606(-10)	6,66851(-10)	9,08981(-10)
2p3s	3P_2	1,63856(-8)	1,65094(-8)	1,66630(-8)	1,67984(-8)
2p4d	3P_2	2,45867(-10)	2,58132(-10)	2,59453(-10)	2,65113(-10)
2s5p	3P_2	2,01721(-9)	2,21578(-9)	2,33970(-9)	2,55552(-9)
2p4s	3P_2	1,04337(-8)	1,04935(-8)	1,04445(-8)	1,04752(-8)
2s6p	3P_2	9,57987(-9)	1,01942(-8)	1,11044(-8)	1,18841(-8)
2p5d	3P_2	9,61375(-10)	9,69420(-10)	9,88357(-10)	9,96198(-10)
2s7p	3P_2	1,59366(-8)	1,67699(-8)	1,75075(-8)	1,84795(-8)

Tablo 3.4. (Devami)

Seviyeler		Es ⁹⁷⁺ (Z=99)	Fm ⁹⁸⁺ (Z=100)	Md ⁹⁹⁺ (Z=101)	No ¹⁰⁰⁺ (Z=102)	Lr ¹⁰¹⁺ (Z=103)
2s8p	³ P ₂	3,11162(-8)	3,23793(-8)	3,36814(-8)	3,51004(-8)	3,63328(-8)
2p6d	³ P ₂	1,72816(-9)	1,73900(-9)	1,74206(-9)	1,71887(-9)	1,67909(-9)
2s9p	³ P ₂	1,15948(-7)	1,21002(-7)	1,26610(-7)	1,32692(-7)	1,37283(-7)
2p5s	³ P ₂	1,15799(-8)	1,14704(-8)	1,15249(-8)	1,15336(-8)	1,16768(-8)
2p6s	³ P ₂	1,20062(-8)	1,22027(-8)	1,23130(-8)	1,24813(-8)	1,26158(-8)
2p7s	³ P ₂	1,45944(-8)	1,48435(-8)	1,49376(-8)	1,51487(-8)	1,54897(-8)
2p8s	³ P ₂	2,07896(-8)	2,10553(-8)	2,16169(-8)	2,18355(-8)	2,19439(-8)
2p9s	³ P ₂	4,74516(-8)	4,80447(-8)	4,85160(-8)	4,90269(-8)	4,98870(-8)
3s3p	³ P ₂	1,11913(-10)	_____	_____	_____	_____
3s4p	³ P ₂	2,50009(-10)	2,38306(-10)	2,36900(-10)	2,27840(-10)	2,31135(-10)
3s6p	³ P ₂	1,09486(-9)	1,19190(-9)	1,28478(-9)	1,36445(-9)	1,53535(-9)
3s7p	³ P ₂	2,08198(-9)	2,16175(-9)	2,28839(-9)	2,32670(-9)	2,40148(-9)
3s8p	³ P ₂	4,36428(-9)	4,50347(-9)	2,28839(-9)	4,79021(-9)	4,87361(-9)
3s9p	³ P ₂	1,79517(-8)	1,88163(-8)	2,28839(-9)	1,99769(-8)	2,11342(-8)
4s4p	³ P ₂	3,53586(-10)	3,52952(-10)	2,28839(-9)	3,34848(-10)	3,17945(-10)
4p5s	³ P ₂	7,42093(-10)	7,36337(-10)	2,28839(-9)	7,26039(-10)	7,41081(-10)
4s6p	³ P ₂	1,72639(-10)	2,01181(-10)	2,28839(-9)	2,56992(-10)	2,94380(-10)
4p6s	³ P ₂	9,81764(-10)	9,59601(-10)	2,28839(-9)	9,62418(-10)	2,94380(-10)
4s7p	³ P ₂	4,46682(-10)	4,61907(-10)	2,28839(-9)	5,00784(-10)	5,96844(-10)
4p7s	³ P ₂	1,41690(-9)	1,42873(-9)	2,28839(-9)	1,45483(-9)	1,45964(-9)
5s5p	³ P ₂	1,29693(-10)	1,18968(-10)	2,28839(-9)	1,39626(-10)	1,18522(-10)
4s8p	³ P ₂	1,11976(-9)	1,16606(-9)	2,28839(-9)	1,28276(-9)	1,23161(-9)
4p8s	³ P ₂	2,26433(-9)	2,32469(-9)	2,28839(-9)	2,36351(-9)	2,40007(-9)
4d8p	³ P ₂	_____	_____	_____	1,07020(-10)	1,09247(-9)
4s9p	³ P ₂	4,99563(-9)	5,17897(-9)	5,48797(-9)	5,36433(-9)	4,81445(-9)
4p9s	³ P ₂	5,71363(-9)	5,58853(-9)	5,70953(-9)	5,77888(-9)	5,76743(-9)
5p6s	³ P ₂	2,35948(-10)	2,31827(-10)	2,20836(-10)	2,12849(-10)	2,11679(-10)
5p7s	³ P ₂	4,333768(-10)	4,55619(-10)	4,61518(-10)	4,50213(-10)	4,72358(-10)
5s8p	³ P ₂	2,83991(-10)	3,34376(-10)	3,65422(-10)	3,71541(-10)	3,78779(-10)
5p8s	³ P ₂	8,61312(-10)	8,75922(-10)	8,30576(-10)	8,10770(-10)	8,50152(-10)
5s9p	³ P ₂	1,21280(-9)	1,10494(-9)	1,20768(-9)	1,19283(-10)	1,10826(-9)
5p9s	³ P ₂	2,28261(-9)	2,36987(-9)	2,38284(-9)	2,44161(-9)	2,46054(-9)
6p7s	³ P ₂	1,44871(-10)	1,42698(-10)	1,43386(-10)	1,43476(-11)	1,46531(-10)
6p8s	³ P ₂	2,82802(-10)	3,00025(-10)	2,91519(-10)	3,07606(-11)	3,09591(-10)
6s9p	³ P ₂	7,58602(-10)	7,91251(-10)	8,96377(-10)	8,42101(-11)	9,66837(-10)
6p9s	³ P ₂	8,07852(-10)	7,92102(-10)	7,30422(-10)	7,46380(-10)	7,42138(-10)
7s9p	³ P ₂	1,05463(-10)	1,28497(-10)	1,52392(-10)	1,654228(-10)	1,77642(-10)
7p9s	³ P ₂	2,64813(-10)	2,31772(-10)	2,48393(-10)	2,28896(-10)	2,45445(-10)
8s9p	³ P ₂	1,81547(-9)	1,78476(-9)	1,76883(-9)	1,785758(-9)	1,84194(-9)
8p9s	³ P ₂	1,49807(-9)	1,61621(-9)	1,71169(-9)	1,874078(-9)	2,07346(-9)

Tablo 3.5. Helyum benzeri Aynştaynyum, Fermiyum, Mendelevyum, Nobelyum, Lavrensiyum'um taban hale yapılan geçişlerinin geçiş olasılıkları.

Seviye		Es ⁹⁷⁺ (Z=99)	Fm ⁹⁸⁺ (Z=100)	Md ⁹⁹⁺ (Z=101)	No ¹⁰⁰⁺ (Z=102)	Lr ¹⁰¹⁺ (Z=103)
E1 Geçişleri						
1s2p	³ P ₁	2,75169(16)	2,83374(16) 4,339(16) ^a	2,91598(16)	2,99832(16)	3,08061(16)
1s2p	¹ P ₁	6,15731D(16)	6,36076(16) 6,848(16) ^a	6,56705(16)	6,77605(16)	6,98761(16)
1s3p	³ P ₁	1,95575(15)	1,90922(15) 4,254(14) ^a	1,85718(15)	1,79968(15)	1,73682(15)
1s3p	¹ P ₁	9,93074(15)	1,00671(16)	1,01921(16)	1,03050(16)	1,04048(16)
1s4p	³ P ₁	3,26744(13)	1,99572(13)	9,91920(12)	3,10403(12)	9,10286(10)
1s4p	¹ P ₁	1,38141(15)	1,32230(15)	1,25859(15)	1,19061(15)	1,11854(15)
1s5p	³ P ₁	1,65052(14)	2,08354(14)	2,58926(14)	3,17565(14)	3,85058(14)
1s5p	¹ P ₁	1,21775(13)	3,55209(12)	3,51921(10)	2,58106(12)	1,22469(13)
1s6p	³ P ₁	6,61440(14)	7,61190(14)	8,72270(14)	9,95671(14)	1,13244(15)
1s6p	¹ P ₁	4,04992(14)	4,99418(14)	6,08788(14)	7,34736(14)	8,78993(14)
1s7p	³ P ₁	1,47156(15)	1,64857(15)	1,84279(15)	2,05549(15)	2,28805(15)
1s7p	¹ P ₁	1,79517(15)	2,05071(15)	2,33493(15)	2,65021(15)	2,99918(15)
1s8p	³ P ₁	3,15709(15)	3,48776(15)	3,84706(15)	4,23714(15)	4,66051(15)
1s8p	¹ P ₁	5,22125(15)	5,81301(15)	6,45988(15)	7,16633(15)	7,93742(15)
1s9p	³ P ₁	1,00762(16)	1,10170(16)	1,20335(16)	1,31298(16)	1,43118(16)
1s9p	¹ P ₁	2,10504(16)	2,30579(16)	2,52298(16)	2,75753(16)	3,01075(16)
2s2p	³ P ₁	4,91117(9)	7,69117(9)	1,12961(10)	1,56921(10)	2,10685(10)
2s2p	¹ P ₁	4,35204(10)	3,91204(10)	3,46802(10)	3,04764(10)	2,62941(10)
2p3s	³ P ₁	1,54271(11)	1,66285(11)	1,79227(11)	1,93160(11)	2,07590(11)
2s3p	³ P ₁	1,09935(11)	1,20446(11)	1,31653(119)	1,43781(11)	1,56322(11)
2s3p	¹ P ₁	1,18198(11)	1,33149(11)	1,48981(11)	1,66970(11)	1,85516(11)
2p3d	¹ P ₁	1,08784(10)	1,09065(10)	1,09913(10)	1,10968(10)	1,11211(10)
2p3s	¹ P ₁	7,32843(10)	7,87324(10)	8,46174(10)	9,09729(10)	9,74156(10)
2p3d	³ P ₁	4,86978(9)	4,77423(9)	4,72144(9)	4,68479(9)	4,58385(9)
2p4s	³ P ₁	4,06795(11)	4,35784(11)	4,66727(11)	4,98556(11)	5,34756(11)
2s4p	³ P ₁	4,98459(10)	5,24887(10)	5,58111(10)	5,83737(10)	6,19017(10)
2s4p	¹ P ₁	6,62396(10)	7,03326(10)	7,53687(10)	7,92153(10)	8,47274(10)
2p4d	¹ P ₁	2,23522(10)	2,29345(10)	2,31871(10)	2,34510(10)	2,41656(10)
2p5s	³ P ₁	3,31389(11)	3,51484(11)	3,71532(11)	3,92782(11)	4,13165(11)
2s5p	³ P ₁	1,00893(11)	1,07217(11)	1,11915(11)	1,18730(11)	1,24089(11)
2s5p	¹ P ₁	1,34520(11)	1,43304(11)	1,49241(11)	1,58398(11)	1,65612(11)
2p4s	¹ P ₁	1,75392(11)	1,84266(11)	1,92158(11)	1,99786(11)	1,95920(11)
2p6s	³ P ₁	3,40655(11)	3,57681(11)	3,77857(11)	3,97009(11)	4,32983(11)
2p4d	³ P ₁	7,64281(9)	6,78040(9)	6,18379(9)	5,80428(9)	5,37631(9)
2s6p	³ P ₁	1,91142(11)	2,01696(11)	2,16547(11)	2,29786(11)	2,43878(11)

Tablo 3.5. (Devami)

Seviye		$Es^{97+}(Z=99)$	$Fm^{98+}(Z=100)$	$Md^{99+}(Z=101)$	$No^{100+}(Z=102)$	$Lr^{101+}(Z=103)$
2s6p	1P_1	3,09278(11)	3,26386(11)	3,50511(11)	3,71496(11)	3,93254(11)
2p5d	1P_1	4,43306(10)	4,45520(10)	4,52355(10)	4,58620(10)	4,70426(10)
2p7s	3P_1	3,95566(11)	4,13651(11)	4,28153(11)	4,47041(11)	4,67630(11)
2s7p	3P_1	2,48088(11)	2,65762(11)	2,95675(11)	7,60628(9)	2,43763(11)
2s7p	1P_1	4,00664(11)	3,25652(11)	4,89454(11)	5,21922(11)	5,39326(11)
2p8s	3P_1	5,65198(11)	6,75584(11)	5,36362(11)	8,51229(11)	6,61243(11)
2p9s	3P_1	1,12858(12)	1,17104(12)	1,21277(12)	1,25578(12)	1,28891(12)
2s8p	3P_1	3,75522(11)	3,89337(11)	4,03993(11)	4,19647(11)	4,32474(11)
2s8p	1P_1	7,56187(11)	7,83483(11)	8,12383(11)	8,43620(11)	8,70227(11)
2p6d	1P_1	5,34657(10)	5,37408(10)	5,44738(10)	5,41984(10)	5,45751(10)
2s9p	3P_1	1,16845(12)	1,21754(12)	1,27221(12)	1,33145(12)	1,37573(12)
2s9p	1P_1	2,52406(12)	2,63117(12)	2,74850(12)	2,87500(12)	2,97168(12)
2p5s	1P_1	2,12991(11)	2,14486(11)	2,19401(11)	2,25118(11)	2,33130(11)
2p5d	3P_1	1,83514(10)	1,79854(10)	1,79666(10)	1,77157(10)	1,80288(10)
2p6s	1P_1	2,25749(11)	2,33270(11)	2,40114(11)	2,47845(11)	2,54746(11)
2p6d	3P_1	2,08810(10)	2,12878(10)	2,14376(10)	2,18070(10)	2,18702(10)
2p7s	1P_1	2,79638(11)	2,87690(11)	2,92535(11)	3,00577(11)	3,11437(11)
2p8s	1P_1	4,05240(11)	4,13099(11)	4,27428(11)	4,34933(11)	4,40051(11)
2p9s	1P_1	9,27782(11)	9,41363(11)	9,53794(11)	9,66757(11)	9,84150(11)
3s3p	3P_1	8,26424(10)	8,79968(10)	9,37306(10)	9,98497(10)	1,06155(11)
3s3p	1P_1	9,53333(10)	1,01157(11)	1,08261(11)	1,15155(11)	1,22969(11)
3s4p	3P_1	4,41139(10)	4,61529(10)	4,80290(10)	5,05451(10)	5,21435(10)
3s4p	1P_1	4,88383(10)	5,07955(10)	5,27209(10)	5,52215(10)	5,68559(10)
3d4p	3P_1	5,39335(8)	5,29384(8)	5,40238(8)	5,81399(8)	5,68722(8)
3d4p	1P_1	5,84752(8)	5,54717(8)	5,76484(8)	5,98291(8)	5,95540(8)
3s5p	3P_1	3,91676(10)	4,01942(10)	4,21852(10)	4,33418(10)	4,51940(10)
3s5p	1P_1	5,25032(10)	5,36413(10)	5,62578(10)	5,74986(10)	5,96941(10)
3d5p	1P_1	1,63117(8)	1,55298(8)	1,63809(8)	1,51136(8)	1,48124(8)
3s6p	3P_1	5,20520(10)	5,49814(10)	5,78011(10)	5,98940(10)	6,42607(10)
3s6p	1P_1	8,40564(10)	8,93592(10)	9,38908(10)	9,70976(10)	1,04313(11)
3s7p	3P_1	5,45212(10)	5,60528(10)	4,60259(-8)	5,98959(10)	6,10426(10)
3s7p	1P_1	9,76015(10)	1,00559(11)	1,05064(11)	1,07036(11)	1,09476(11)
3d6p	1P_1	1,32418(8)	1,34244(8)	1,35761(8)	_____	_____
3s8p	3P_1	7,35276(10)	7,61867(10)	7,75424(10)	8,02565(10)	8,21167(10)
3s8p	1P_1	1,42857(11)	1,47224(11)	1,50388(11)	1,54989(11)	1,58455(11)
4s4p	3P_1	8,02841(10)	8,45287(10)	8,90958(10)	9,55633(10)	1,00720(11)
3s9p	3P_1	1,98401(11)	2,07687(11)	2,11294(11)	2,19760(11)	2,31096(11)
3s9p	1P_1	4,47511(11)	4,67724(11)	4,76837(11)	4,96713(11)	5,20832(11)

Tablo 3.5. (Devamı)

Seviye		Es ⁹⁷⁺ (Z=99)	Fm ⁹⁸⁺ (Z=100)	Md ⁹⁹⁺ (Z=101)	No ¹⁰⁰⁺ (Z=102)	Lr ¹⁰¹⁺ (Z=103)
3d7p	¹ P ₁	1,44249(8)	1,31576(8)	1,30139(8)	_____	_____
4s4p	¹ P ₁	4,56293(10)	4,49323(10)	4,52443(10)	4,53232(11)	4,37256(10)
4p4d	³ P ₁	2,59353(10)	2,82461(10)	3,16566(10)	3,59452(10)	3,97349(10)
4p4d	³ P ₁	3,50047(9)	3,44808(9)	3,64593(9)	3,72980(9)	3,60058(9)
4p5s	³ P ₁	5,68631(10)	6,08761(10)	6,40349(10)	6,65164(10)	7,04783(10)
4s5p	³ P ₁	3,25620(10)	3,50452(10)	3,62633(10)	3,79493(10)	3,93498(10)
4s5p	¹ P ₁	2,48966(10)	2,22462(10)	1,59568(10)	3,64714(10)	4,40112(10)
4p5d	¹ P ₁	1,46710(10)	2,04765(10)	2,74621(10)	9,05322(9)	3,12507(9)
4p5s	¹ P ₁	5,86869(10)	6,23787(10)	6,34622(10)	6,66124(10)	6,86674(10)
4d5p	³ P ₁	3,38633(9)	3,56525(9)	3,46214(9)	3,56273(9)	3,61176(9)
4p5d	³ P ₁	2,87932(9)	3,10056(9)	2,92575(9)	3,09628(9)	3,23467(9)
4d5p	¹ P ₁	2,29128(9)	2,38664(9)	2,22038(9)	2,34840(9)	2,35848(9)
4p6s	³ P ₁	5,64086810)	5,91940(10)	6,10792(10)	6,49142(10)	6,69653(10)
4s6p	³ P ₁	3,10508(10)	3,27235(10)	3,43670(10)	3,63955(10)	3,80044(10)
4s6p	¹ P ₁	4,78213(10)	4,97211(10)	5,23823(10)	5,48697(10)	5,76738(10)
4p6s	¹ P ₁	5,36391(10)	5,51240(10)	5,70725(10)	5,91911(10)	6,13948(10)
4d6p	³ P ₁	7,38679(8)	7,30468(8)	6,80390(8)	7,37968(8)	6,78259(8)
4d6p	¹ P ₁	8,68497(8)	8,04072(8)	7,92646(8)	8,41191(8)	8,11408(8)
4p7s	³ P ₁	5,75506(10)	6,10907(10)	6,40158(10)	6,67816(10)	6,98612(10)
4s7p	³ P ₁	2,62044(10)	2,69679(10)	2,85706(10)	2,86303(10)	3,11492(10)
4s7p	¹ P ₁	4,56019(10)	4,63209(10)	4,94277(10)	4,86195(10)	5,33349(10)
4p7s	¹ P ₁	5,34846(10)	5,48440(10)	5,73594(10)	5,76802(10)	6,10461(10)
4p8s	³ P ₁	7,27104(10)	7,36583(10)	7,74116(10)	8,11656(10)	8,21244(10)
5s5p	³ P ₁	2,29251(10)	2,37951(10)	2,41281(10)	2,46929(10)	2,60432(10)
4d7p	¹ P ₁	3,44683(8)	3,35069(8)	3,40271(8)	3,09729(8)	3,82820(8)
5s5p	¹ P ₁	2,26976(10)	2,27485(10)	2,29499(10)	2,32781(10)	2,35825(10)
4s8p	³ P ₁	3,12167(10)	3,19345(10)	3,21824(10)	3,48154(10)	3,39971(10)
4s8p	¹ P ₁	5,27498(10)	5,53512(10)	5,65388(10)	6,13400(10)	5,97157(10)
5p5d	³ P ₁	1,71601(10)	1,59895(10)	1,56964(10)	1,51933(10)	1,46216(10)
4p9s	³ P ₁	1,34452(11)	1,40414(11)	1,45411(11)	1,45649(11)	1,57234(11)
5p5d	¹ P ₁	3,60573(9)	3,06831(9)	3,26351(9)	3,09345(9)	2,77418(9)
4p8s	¹ P ₁	6,89353(10)	7,12165(10)	7,41603(10)	7,47826(10)	7,57968(10)
4d8p	³ P ₁	3,78302(8)	3,22175(8)	3,31390(8)	3,13894(8)	2,81485(8)
4s9p	³ P ₁	7,38185(10)	7,63323(10)	8,07846(10)	7,94437(10)	8,57681(10)
4d8p	¹ P ₁	9,53047(8)	1,35564(11)	1,61558(11)	2,00999(9)	1,40204(9)
4s9p	¹ P ₁	1,52832(11)	2,10784(10)	3,80607(9)	1,60801(11)	1,72298(11)
4p9s	¹ P ₁	1,45549(11)	1,44242(11)	1,49401(11)	1,50378(11)	1,53762(11)
4d9p	³ P ₁	1,67410(8)	1,58170(8)	1,61858(8)	1,41987(8)	1,69592(8)

Tablo 3.5. (Devamı)

Seviye		$E_{\text{S}}^{97+}(Z=99)$	$F_{\text{m}}^{98+}(Z=100)$	$M_{\text{d}}^{99+}(Z=101)$	$N_{\text{o}}^{100+}(Z=102)$	$L_{\text{r}}^{101+}(Z=103)$
4d9p	$^1\text{P}_1$	3,97529(8)	3,50598(8)	3,64626(8)	3,28361(8)	3,49724(8)
5p6s	$^3\text{P}_1$	1,96623(10)	2,03627(10)	2,10010(10)	2,17344(10)	2,36052(10)
5s6p	$^3\text{P}_1$	1,59291(10)	1,66371(10)	1,76330(10)	1,82461(10)	2,00227(10)
5s6p	$^1\text{P}_1$	2,42267(10)	2,46524(10)	2,62832(10)	2,76442(10)	2,96689(10)
5p6s	$^1\text{P}_1$	3,56532(10)	3,62449(10)	3,74844(10)	3,93249(10)	4,16849(10)
5d6p	$^3\text{P}_1$	3,75113(9)	3,82944(9)	3,80941(9)	3,71553(9)	4,19782(9)
5d6p	$^1\text{P}_1$	2,04471(9)	1,99353(9)	2,00272(9)	1,99815(9)	2,14419(9)
5p7s	$^3\text{P}_1$	1,97683(10)	2,07612(10)	2,19431(10)	2,22611(10)	2,26177(10)
5s7p	$^3\text{P}_1$	1,31246(10)	1,33072(10)	1,40801(10)	1,42526(10)	1,45483(10)
5s7p	$^1\text{P}_1$	2,64910(10)	2,60362(10)	2,77817(10)	2,84350(10)	2,94577(10)
5p7s	$^1\text{P}_1$	3,05580(10)	3,06126(10)	3,27745(10)	3,33465(10)	3,47025(10)
5d7p	$^3\text{P}_1$	1,03143(9)	1,10115(9)	1,14825(9)	1,03696(9)	1,04509(9)
5d7p	$^1\text{P}_1$	1,02751(9)	1,04569(9)	1,11926(9)	1,07009(9)	1,12804(9)
5p8s	$^3\text{P}_1$	2,16180(10)	2,22307(10)	2,42189(10)	2,37399(10)	2,40471(10)
5s8p	$^3\text{P}_1$	1,30558(10)	1,42252(10)	1,50809(10)	1,49826(10)	1,50834(10)
6s6p	$^3\text{P}_1$	7,53229(9)	7,44324(9)	8,23728(9)	8,44612(9)	8,50942(9)
5s8p	$^1\text{P}_1$	3,40188(10)	3,66583(10)	3,72756(10)	3,68964(10)	3,71242(10)
5p8s	$^1\text{P}_1$	8,12271(9)	9,87079(9)	1,02802(10)	1,09779(10)	1,25713(10)
6s6p	$^1\text{P}_1$	4,73500(10)	4,72145(10)	4,81363(10)	4,68328(10)	4,64526(10)
5d8p	$^3\text{P}_1$	7,36271(8)	7,31637(8)	7,70121(8)	6,76694(8)	6,56209(8)
5d8p	$^1\text{P}_1$	8,73276(8)	9,19256(8)	8,48889(8)	7,88224(8)	7,85661(8)
5p9s	$^3\text{P}_1$	3,42325(10)	3,37537(10)	3,39149(10)	3,48828(10)	3,60610(10)
5s9p	$^3\text{P}_1$	2,85173(10)	2,69122(10)	2,83462(10)	2,85099(10)	2,73929(10)
5s9p	$^1\text{P}_1$	5,61025(10)	5,32226(10)	5,64182(10)	5,62487(10)	5,24358(10)
5p9s	$^1\text{P}_1$	5,98139(10)	5,97148(10)	6,14935(10)	6,30692(10)	5,97364(10)
5d9p	$^3\text{P}_1$	5,36781(8)	5,15996(8)	4,83480(8)	5,07482(8)	5,02002(8)
5d9p	$^1\text{P}_1$	8,56711(8)	8,91920(8)	8,75321(8)	9,10281(8)	8,08038(8)
6p7s	$^3\text{P}_1$	9,32090(9)	9,60763(9)	1,03845(10)	1,07508(10)	1,09784(10)
6s7p	$^3\text{P}_1$	7,19891(9)	7,76296(9)	7,81071(9)	8,39324(9)	8,24493(9)
6s7p	$^1\text{P}_1$	1,22678(10)	1,35938(10)	1,26406(10)	1,38037(10)	1,36378(10)
6p7s	$^1\text{P}_1$	2,71070(10)	2,88142(10)	2,76154(10)	2,89415(10)	2,85348(10)
6p8s	$^3\text{P}_1$	1,05710(10)	1,05093(10)	1,04307(10)	1,02837(10)	1,15128(10)
6s8p	$^3\text{P}_1$	8,61688(9)	8,30872(9)	8,76220(9)	8,65009(9)	9,82688(9)
6s8p	$^1\text{P}_1$	1,96620(10)	1,88391(10)	2,03322(10)	2,01483(10)	2,27913(10)
6p8s	$^1\text{P}_1$	2,34897(10)	2,27741(10)	2,40809(10)	2,36299(10)	2,68428(10)
7s7p	$^3\text{P}_1$	6,17293(9)	6,20314(9)	6,06125(9)	6,02420(9)	7,67026(9)
7s7p	$^1\text{P}_1$	1,47073(10)	1,48061(10)	1,50980(10)	1,49387(10)	1,59443(10)
6p9s	$^3\text{P}_1$	1,18934(10)	1,18369(10)	1,29840(10)	1,27848(10)	1,36199(10)

Tablo 3.5. (Devamı)

Seviye		$Es^{97+}(Z=99)$	$Fm^{98+}(Z=100)$	$Md^{99+}(Z=101)$	$No^{100+}(Z=102)$	$Lr^{101+}(Z=103)$
6s9p	3P_1	2,60833(10)	2,66603(10)	2,89615(10)	2,79412(10)	3,08265(10)
6s9p	1P_1	4,98559(10)	5,06397(10)	5,22282(10)	4,98037(10)	5,56103(10)
6p9s	1P_1	4,69271(10)	4,72504(10)	4,62509(10)	4,45653(10)	4,94204(10)
7p8s	3P_1	5,07796(9)	5,56444(9)	5,98679(9)	6,26726(9)	6,08630(9)
7s8p	3P_1	6,44158(9)	6,81720(9)	7,21617(9)	7,62912(9)	7,56413(9)
7s8p	1P_1	1,07326(10)	1,15044(10)	1,12448(10)	1,19766(10)	1,20562(10)
7p8s	1P_1	2,72441(10)	2,94460(10)	2,67426(10)	2,80829(10)	2,86165(10)
7p9s	3P_1	5,17810(8)	4,57797(8)	3,99536(8)	3,87901(8)	3,16098(8)
7s9p	3P_1	1,99442(10)	2,04037(10)	2,19196(10)	2,21054(10)	2,29443(10)
7s9p	1P_1	2,73127(10)	2,79037(10)	3,07559(10)	3,06876(10)	3,21464(10)
7p9s	1P_1	3,46729(10)	3,48632(10)	3,90747(10)	3,90949(10)	4,08136(10)
8s8p	3P_1	5,19548(9)	5,03330(9)	6,20208(9)	5,97625(9)	6,18809(9)
8s8p	1P_1	2,22412(10)	2,14730(10)	2,23568(10)	2,13792(10)	2,19023(10)
8p9s	3P_1	9,26119(9)	9,36784(9)	1,01212(10)	1,03015(10)	1,10812(10)
8s9p	3P_1	1,75655(10)	1,82984(10)	2,03440(10)	2,05394(10)	2,14234(10)
8s9p	1P_1	4,18089(8)	4,22661(8)	3,01393(-10)	5,02785(8)	6,21386(8)
8p9s	1P_1	1,65358(10)	1,64896(10)	1,73264(10)	1,61402(10)	1,62756(10)
E2 Geçişleri						
1s3d	3D_2	1,18207(15)	1,29409(15)	1,41655(15)	1,55045(15)	1,69685(15)
1s3d	1D_2	1,40373(15)	1,52613(15)	1,65887(15)	1,80284(15)	1,95898(15)
1s4d	3D_2	1,99331(15)	2,21364(15)	2,45751(15)	2,72715(15)	3,02541(15)
1s4d	1D_2	2,50182(15)	2,76650(15)	3,05827(15)	3,37950(15)	3,73339(15)
1s5d	3D_2	3,99452(15)	4,46345(15)	4,98381(15)	5,56165(15)	6,20229(15)
1s5d	1D_2	5,37816(15)	5,99793(15)	6,68450(15)	7,44572(15)	8,28839(15)
1s6d	3D_2	8,98713(15)	1,00481(16)	1,12247(16)	1,25288(16)	1,39734(16)
1s6d	1D_2	1,30689(16)	1,46060(16)	1,63103(16)	1,81991(16)	2,02912(16)
1s7d	3D_2	2,39208(16)	2,66752(16)	2,97240(16)	3,30932(16)	3,68125(16)
1s7d	1D_2	3,83416(16)	4,27816(16)	4,76992(16)	5,31377(16)	5,91455(16)
2p ²	1D_2	3,40889(11)	3,67071(11)	3,95081(11)	4,24647(11)	4,56795(11)
2p ²	3P_2	3,11357(10)	3,27192(10)	3,43897(10)	3,60825(10)	3,79084(10)
2p3p	3D_2	7,26110(11)	7,88199(11)	8,56144(11)	9,30141(11)	1,00517(12)
2p3p	3D_2	6,32566(11)	6,76767(11)	7,24363(11)	7,73998(11)	8,27311(11)
2p3p	3P_2	2,32292(11)	2,47335(11)	2,64205(11)	2,81865(11)	2,99733(11)
2p4p	3D_2	1,33101(12)	1,44032(12)	1,55898(12)	1,68468(12)	1,82867(12)
2p4f	3F_2	1,69855(10)	1,79458(10)	1,88979(10)	1,94723(10)	2,12752(10)
2p5p	3D_2	2,37710(12)	2,59247(12)	2,81251(12)	3,05130(12)	3,27461(12)
2p4p	3D_2	5,01681(12)	8,53266(11)	7,16819(11)	3,63077(12)	6,49485(12)
2p6p	3D_2	8,54841(11)	5,46947(12)	6,14827(12)	3,74899(12)	1,52296(12)

Tablo 3.5. (Devami)

Seviye		Es ⁹⁷⁺ (Z=99)	Fm ⁹⁸⁺ (Z=100)	Md ⁹⁹⁺ (Z=101)	No ¹⁰⁰⁺ (Z=102)	Lr ¹⁰¹⁺ (Z=103)
2p4p	³ P ₂	5,21558(11)	5,30674(11)	5,52211(11)	5,82469(11)	6,13492(11)
2p4f	³ F ₂	1,89922(9)	2,09210(9)	2,10821(9)	2,22114(9)	2,33801(9)
2p4f	¹ D ₂	1,13900(10)	1,28218(10)	1,33533(10)	1,47847(10)	1,75352(10)
2p7p	³ D ₂	1,21919(13)	1,31428(13)	1,39170(13)	1,50262(13)	1,62249(13)
2p8p	³ D ₂	4,18494(13)	4,49051(13)	4,87346(13)	5,21852(13)	5,58621(13)
2p9p	³ D ₂	4,19766(14)	4,47382(14)	4,75495(14)	5,05353(14)	5,33483(14)
2p5p	³ D ₂	2,54013(12)	2,64696(12)	2,77989(12)	2,90605(12)	3,07161(12)
2p5p	³ P ₂	9,37377(11)	9,91444(11)	1,05736(12)	1,11602(12)	1,19647(12)
2p6p	³ D ₂	3,22942(12)	3,44097(12)	3,64263(12)	3,87040(12)	4,08217(12)
2p6p	³ P ₂	1,91143(12)	2,04084(12)	2,16108(1)	2,30030(12)	2,42362(12)
2p7p	³ D ₂	6,56149(12)	6,96379(12)	7,25773(12)	7,69037(12)	8,25249(12)
2p7p	³ P ₂	4,70693(12)	5,00660(12)	5,20032(12)	5,52377(12)	5,95803(12)
2p8p	³ D ₂	1,90851(13)	2,00444(13)	2,15177(13)	2,25130(13)	2,33603(13)
2p8p	³ P ₂	1,61450(13)	1,69721(13)	1,82665(13)	1,91253(13)	1,98381(13)
2p9p	³ D ₂	1,54812(14)	1,61587(14)	1,68150(14)	1,75304(14)	1,83643(14)
2p9p	³ P ₂	1,67188(14)	1,74444(14)	1,81528(14)	1,89174(14)	1,98075(14)
3p ²	¹ D ₂	5,29888(11)	5,68575(11)	6,10744(11)	6,54101(11)	6,98843(11)
3p ²	³ P ₂	1,26353(11)	1,34241(11)	1,43722(11)	1,52732(11)	1,62439(11)
3p4p	³ D ₂	5,36461(11)	5,75360(11)	6,14793(11)	6,66830(11)	7,10337(11)
3p4p	³ D ₂	5,14307(11)	5,44515(11)	5,81291(11)	6,24074(11)	6,61106(11)
3p4p	³ P ₂	2,83715(11)	2,98270(11)	3,17978(11)	3,41204(11)	3,61764(11)
3p5p	³ D ₂	7,01535(11)	7,55734(11)	8,16342(11)	8,55820(11)	9,32657(11)
3p5p	³ D ₂	6,42130(11)	6,77768(11)	7,25072(11)	7,64334(11)	8,11910(11)
3p5p	³ P ₂	3,99991(11)	4,22605(11)	4,53933(11)	4,79731(11)	5,11611(11)
3p6p	³ D ₂	1,38209(12)	1,47353(12)	1,56786(12)	1,65535(12)	1,79948(12)
3p6p	³ D ₂	6,40449(11)	6,21455(11)	5,27994(11)	3,60419(11)	1,53883(11)
3p7p	³ D ₂	3,08295(12)	3,47133(12)	4,01479(12)	4,55979(12)	4,88658(12)
3p6p	³ P ₂	1,08254(12)	9,11296(11)	9,06031(11)	9,09024(11)	9,41647(11)
3p8p	³ D ₂	9,74016(12)	1,07567(13)	1,10745(13)	1,18585(13)	1,26889(13)
3p7p	³ D ₂	1,69000(12)	1,64047(12)	1,60891(12)	1,57131(12)	1,37696(12)
3p7p	³ P ₂	1,60592(12)	1,63482(12)	1,69430(12)	1,76937(12)	1,68914(12)
3p9p	³ D ₂	9,42133(13)	1,00533(14)	1,06054(14)	1,10780(14)	1,18176(14)
4p ²	¹ D ₂	1,67177(11)	2,18373(11)	2,74477(11)	3,27712(11)	3,66149(11)
3p8p	³ D ₂	6,84032(12)	7,29329(12)	7,59480(12)	7,73034(12)	8,53390(12)
3p8p	³ P ₂	5,49924(12)	5,90387(12)	6,15351(12)	6,24133(12)	6,98549(12)
4p ²	³ P ₂	5,68710(10)	5,99607(10)	6,72479(10)	7,04768(10)	7,43266(10)
3p9p	³ D ₂	4,90418(13)	5,09140(13)	5,38291813)	5,71321(13)	5,75959(13)
3p9p	³ P ₂	5,37168(13)	5,57409(13)	5,88792(13)	6,24050(13)	6,29566(13)

Tablo 3.5. (Devamı)

Seviye		$Es^{97+}(Z=99)$	$Fm^{98+}(Z=100)$	$Md^{99+}(Z=101)$	$No^{100+}(Z=102)$	$Lr^{101+}(Z=103)$
4p5p	3D_2	2,29876(11)	2,48733(11)	2,64629(11)	2,67624(11)	2,94703(11)
4p5p	1D_2	6,94784(11)	7,58488(11)	8,00419(11)	8,62122(11)	9,36127(11)
4p5p	3P_2	2,93279(11)	3,19965(11)	3,25115(11)	3,54260(11)	3,79352(11)
4p6p	3D_2	6,24652(11)	6,58104(11)	6,71894(11)	7,47121(11)	7,62393(11)
4p6p	3D_2	6,21034(11)	6,41607(11)	6,74339(11)	7,29347(11)	7,57152(11)
4p6p	3P_2	4,14381(11)	4,21641(11)	4,41716(11)	4,73748(11)	4,95878(11)
4p7p	3D_2	1,18124(12)	1,34717(12)	1,41826(12)	1,51623(12)	1,63386(12)
4p7p	3D_2	9,28233(11)	9,81905(11)	1,03450(12)	1,07493(12)	1,15613(12)
4p7p	3P_2	7,51621(11)	7,90370(11)	8,34031(11)	8,61309(11)	9,32667(11)
4p8p	3D_2	4,21919(12)	4,17331(12)	4,59699(12)	4,97414(12)	4,97449(12)
4p8p	3D_2	2,53609(12)	2,70562(12)	2,93198(12)	2,98020(12)	3,06517(12)
4p8p	3P_2	2,36760(12)	2,55177(12)	2,77810(12)	2,80807(12)	2,89916(12)
4p9p	3D_2	3,46679(13)	3,69016(13)	2,52319(10)	3,96107(13)	4,39081(13)
4p9p	3D_2	2,00885(13)	2,02204(13)	2,12937(13)	2,20149(13)	2,29197(13)
4p9p	3P_2	2,25093(13)	2,26079(13)	2,37927(13)	2,45724(13)	2,55238(13)
M1 Geçişleri						
2p ²	3P_1	8,91257(8)	9,71527(8)	1,05859(9)	1,15254(9)	1,25417(9)
2p3p	3P_1	2,45259(8)	2,70082(8)	2,95601(8)	3,22753(8)	3,51316(8)
2p3p	3P_1	1,66109(8)	1,79022(8)	1,92858(8)	2,07547(8)	2,23172(8)
2p4p	3P_1	9,61772(7)	1,04058(8)	1,12943(8)	1,21991(8)	1,32262(8)
M2 Geçişleri						
1s2p	3P_2	3,55706(14)	3,85216(14)	4,16777(14)	4,50502(14)	4,86502(14)
1s3p	3P_2	7,60317(13)	8,07261(13)	8,55676(13)	9,05450(13)	9,56455(13)
1s4p	3P_2	1,12447(13)	1,12476(13)	1,11800(13)	1,10376(13)	1,08142(13)
1s5p	3P_2	6,56018(10)	1,10793(10)	3,83736(9)	6,08996(10)	2,02741(11)
1s6p	3P_2	3,95049(12)	5,07534(12)	6,44794(12)	8,11217(12)	1,01181(13)
1s7p	3P_2	1,70846(13)	2,04134(13)	2,43044(13)	2,88384(13)	3,41080(13)
1s8p	3P_2	4,94411(13)	5,76183(13)	6,70013(13)	7,77520(13)	9,00556(13)
1s7f	3F_2	_____	_____	_____	_____	9,63989(7)
1s9p	3P_2	1,98541(14)	2,27732(14)	2,60841(14)	2,98326(14)	3,40725(14)
2s2p	3P_2	1,61497(10)	1,69814(10)	1,78231(10)	1,87080(10)	1,95973(10)
2s3p	3P_2	1,68848(8)	2,65552(8)	3,93055(8)	5,60646(8)	7,66434(8)
2p3s	3P_2	9,01286(9)	9,51225(9)	1,00533(10)	1,06092(10)	1,11771(10)
2p4d	3P_2	1,41248(8)	1,55285(8)	1,63381(8)	1,74695(8)	1,90118(8)
2s5p	3P_2	1,16959(9)	1,34502(9)	1,48639(9)	1,69854(9)	1,87832(9)
2p4s	3P_2	6,07845(9)	6,40337(9)	6,67359(9)	7,00601(9)	7,31238(9)
2s6p	3P_2	5,62666(9)	6,26838(9)	7,14590(99)	8,00092(9)	8,94887(9)
2p5d	3P_2	5,65305(8)	5,96879(8)	6,36972(8)	6,71797(8)	7,20732(8)
2s7p	3P_2	9,43263(9)	1,03913(10)	1,13532(10)	1,25369(10)	1,38956(10)

Tablo 3.5. (Devami)

Seviye		$E_{\text{S}}^{97+}(Z=99)$	$F_{\text{m}}^{98+}(Z=100)$	$M_{\text{d}}^{99+}(Z=101)$	$N_{\text{o}}^{100+}(Z=102)$	$L_{\text{r}}^{101+}(Z=103)$
2s8p	3P_2	1,85089(10)	2,01633(10)	2,19499(10)	2,39308(10)	2,59062(10)
2p6d	3P_2	1,03005(9)	1,08533(9)	1,13805(9)	1,17498(9)	1,20062(9)
2s9p	3P_2	6,92082(10)	7,56113(10)	8,27956(10)	9,07788(10)	9,82236(10)
2p5s	3P_2	6,91762(9)	7,17711(9)	7,55051(9)	7,90903(9)	8,37834(9)
2p6s	3P_2	7,26773(9)	7,73670(9)	8,17372(9)	8,67218(9)	9,17168(9)
2p7s	3P_2	8,90376(9)	9,48470(9)	9,99351(9)	1,06076(10)	1,13486(10)
2p8s	3P_2	1,27470(10)	1,35213(10)	1,45344(10)	1,53661(10)	1,61572(10)
2p9s	3P_2	2,91939(10)	3,09585(10)	3,27311(10)	3,46182(10)	3,68560(109)
3s3p	3P_2	7,12738(7)	_____	_____	_____	_____
3s4p	3P_2	1,67058(8)	1,66729(8)	1,73482(8)	1,74577(8)	1,85244(8)
3s6p	3P_2	7,57067(8)	8,62882(8)	9,73481(8)	1,08167(9)	1,27303(9)
3s7p	3P_2	1,44992(9)	1,57617(9)	1,74625(9)	1,85759(9)	2,00529(9)
3s8p	3P_2	3,05330(9)	3,29860(9)	3,53664(9)	3,84186(9)	4,08811(9)
3s9p	3P_2	1,25991(10)	1,38259(10)	1,47483(10)	1,60725(10)	1,77838(10)
4s4p	3P_2	2,48891(8)	2,60119(8)	2,76848(8)	2,70233(8)	2,68374(9)
4p5s	3P_2	5,34580(8)	5,55339(8)	5,66918(8)	5,99579(8)	6,40082(8)
4s6p	3P_2	1,25702(8)	1,53359(8)	1,85202(8)	2,14501(8)	2,56975(8)
4p6s	3P_2	7,15834(8)	7,32513(8)	7,63641(8)	8,04405(8)	2,56975(8)
4s7p	3P_2	3,27512(8)	3,54565(8)	4,15588(8)	4,20888(8)	5,24621(8)
4p7s	3P_2	1,04051(9)	1,09842(9)	1,16321(9)	1,22464(9)	1,28502(9)
5s5p	3P_2	9,54807(7)	9,16946(7)	1,17356(8)	1,17830(8)	1,04606(8)
4s8p	3P_2	8,24710(8)	8,99093(8)	9,18445(8)	1,08292(9)	1,08740(9)
4p8s	3P_2	1,67045(9)	1,79543(9)	1,96273(9)	1,99860(9)	2,12255(9)
4d8p	3P_2	_____	_____	_____	9,06214(7)	9,67502(8)
4s9p	3P_2	3,69067(9)	4,00558(9)	4,44210(9)	4,54254(9)	4,26376(9)
4p9s	3P_2	4,22824(9)	4,32964(9)	4,62924(9)	4,90184(9)	5,11633(9)
5p6s	3P_2	1,75819(8)	1,80849(8)	1,80291(8)	1,81795(8)	1,89081(8)
5p7s	3P_2	3,25230(8)	3,57954(8)	3,79456(8)	3,87249(8)	4,24910(8)
5s8p	3P_2	2,13950(8)	2,63717(8)	3,01607(8)	3,20810(8)	3,42040(8)
5p8s	3P_2	6,49315(8)	6,91281(8)	6,85982(8)	7,00528(8)	7,68200(8)
5s9p	3P_2	9,16479(8)	8,74105(8)	9,99809(8)	1,03309(10)	1,00380(9)
5p9s	3P_2	1,72610(9)	1,87608(9)	1,97407(9)	2,11611(9)	2,23017(9)
6p7s	3P_2	1,09985(8)	1,13412(8)	1,19258(8)	1,24839(9)	1,33335(8)
6p8s	3P_2	2,15673(8)	2,39528(8)	2,43556(8)	2,68852(9)	2,82974(8)
6s9p	3P_2	5,80131(8)	6,33447(8)	7,50963(8)	7,38032(9)	8,86140(8)
6p9s	3P_2	6,17985(8)	6,34323(8)	6,12118(8)	6,54341(9)	6,80404(8)
7s9p	3P_2	8,12228(7)	1,03597(8)	1,28571(8)	1,45999(9)	1,63960(8)
7p9s	3P_2	2,03973(8)	1,86885(8)	2,09593(8)	2,02047(9)	2,26569(8)
8s9p	3P_2	1,40453(9)	1,44542(9)	1,49908(9)	1,58319(9)	1,70771(9)
8p9s	3P_2	1,15902(9)	1,30897(9)	1,45071(9)	1,66155(9)	1,92243(9)

3.3. Tartışma

Bu çalışma hidrojen, helyum ve lityum benzeri aktinit atomlarının atomik yapılarının incelenmesine yönelik bir çalışmanın parçası olarak gerçekleştirilmiştir. Seviye yapıları ilk defa belirlenen helyum benzeri aynşaynum (Es^{97+} , $Z=99$), fermiyum (Fm^{98+} , $Z=100$), mendelevyum (Md^{99+} , $Z=101$), nobelyum (No^{100+} , $Z=102$) ve lavrensiyumin (Lr^{101+}) izinli (E1) ve yasaklı (E2, M1 ve M2) geçişleri de incelenmiştir. Taban hale yapılan geçişlerin dalga boyları, salınıcı şiddetleri ve geçiş olasılıkları tablolaştırılmıştır. Geçiş verilerinin bir stisna hariç hiçbir için ne teorik ne de deneysel bir karşılaştırma değeri ulaşılabilir kaynaklarda yoktur.

Hemen hemen tüm verileri kaynaklarda ilk defa yer alacak bu çalışmanın gelecekte yapılacak olan teorik ve deneysel tüm çalışmalarla faydalı olacağını düşünmektedir.

KAYNAKLAR

- Cheng, K.T., Chen, M.H., Jonhson, W.R. Sapirstein, J., Relativistic configuration-interaction calculations for the ground state and n=2 singlet state of heliumlike ions, Phys. Rev. A, 50, 247-255, (1994).
- Drake, G.W.F., Theoretical energies for the n=1 and n= 2 states of the helium isoelectronic sequence up to Z=100, Can. J. Phys., 66, 586-611, (1988).
- Drake G.W., Unified relativistic theory for $1s2p\ ^3P_1-1s^2\ ^1S_0$ and $1s2p\ ^3P_1-1s^2\ ^1S_0$ frequencies and transition rates in helium like ions, Phys. Rev. A, 19, 1387-1397, (1979).
- Fischer, C.F, Brage, T., Johnson, P., Computational atomin structure-an MCHF approach, Bristol and Philadelphia, Institute of Physics Publishing, (1997).
- Fischer, C.F, The MCHF atomic-structure Package , Computer Physics Communications, (1991)
- <http://physics.nist.gov/asd>, Erişim Tarihi: 19.07.2017.
- Ivanov, L.N., Ivanova, E.P., Safronova, U.I., Relativistic calculation of the spectra of the two-elektron atomic ions-I, J. Quant. Spectrosc. Radiat. Transfer, 15, 553-559, (1975).
- Johnson, W.R., Plante, D.R., Sapirstein J, Relativistic calculations of transition amplitudes in the helium like sequence, Advences in Atomic, Molecular, and Optical Physics, 35, 255-329, (2011).
- Johnson, W.R., Lin, C.D. Relativistic random phase approximation applied to atoms of the helium isoemectronic sequence, Phys. Rev. A, 14, 565-575, (1976).
- Krause, J., Relativistic variational theory for the two electron atoms, (1986)
- Lupton, J.H., Dietrich, D.D., Hailey, J.C., Stewrrt, R.E., Ziock, K.P., Measurement of the ground state lamb shift and electron-correlation effect in hydrogenlike and helium uranium, Phys. Rev. Lett., 50, 2150-2154, (1994).
- Nahar S., K α transition probabilities for platinum and uranium ions for poxsible x-ray biomedical applications. Can. J. Phys. 89, 483-494, 2 (2011)

Natarajan, L., Single-photon emission from simultaneous two-electron transitions in the he-like ions, Phys. Rev. A, 90, 032509, (2014).

Watanabe, Y., Tatewaki, H., Correlation energies for He isoelectronic sequence with Z=2-116 from four-component relativistic configuration interactions. (2005).

Plate, D.R., Johnson, W.R., Sapirstein J., Relativistic all-order many-body calculations of the n=1 and n=2 states of heliumlike ions, Phys. Rev. A, 49,3519-3530 (1994).

Ürer, G., Arslan M., Balkaya, E., Keçeli, A., A calculation for radial expectation values of helium like actinide ions (Z=89-93) AIP Conf. Proc.,1722, 190002, (2016).

Zhang, D., H., Dong C. Z., Koike, F., Theoretical investigation of decay process in a doubly excited $2s^2 \ ^1S_0$ state of he-like ions, Chin. Phys. Lett., 23, 2059-2062 (2006).

ÖZGEÇMİŞ

Eda BALKAYA 15.09.1988'de Sakarya'da doğdu. İlk, orta ve lise eğitimini Sakarya'nın Sapanca ilçesinde tamamladı. 2006 yılında başladığı Abant İzzet Baysal Üniversitesi Fen-Edebiyat Fakültesi Fizik bölümünü 2012 yılında tamamladı. Aynı yıl Zafer BALKAYA ile evlendi. 2013 yılında Sakarya Üniversitesi Fen Bilimleri Enstitüsü'nde başladığı yüksek lisans eğitimi hala devam etmektedir. 2017 yılında Zeynep Eylül adında 1 kız çocuğu oldu.